

MEMÒRIA DE LA EXCAVACIÓ ARQUEOLÒGICA

A LA COVA DEL GEGANT (Sitges, Garraf)

Campanya 4/2010 – 5/2011

(1 al 30 de juny de 2010)

(1 al 30 de juny de 2011)

Joan Daura Luján*
Montserrat Sanz Borràs*



*GRQ –Grup de Recerca del Quaternari
SERP. Departament de Prehistòria, Història Antiga i Arqueologia
Universitat de Barcelona

| | |
|---------------------------------------------------------------|-----------|
| 6.1.11.1 Secció I/H | 41 |
| 6.1.11.2 Descripció del Quadre I25 | 42 |
| 6.1.12 Resum dels individus determinats i mostres preses..... | 43 |
| 6.2 CAMPANYA DEL 2011 | 44 |
| 6.2.1 Sector X-W1 | 44 |
| 6.2.1.1 Nivell XXV | 45 |
| 6.2.1.2 Nivell Ib ₂ b | 46 |
| 6.2.1.3 Nivell Ic | 46 |
| 6.2.1.4 Seccions E-W i N-S(X-W1) | 47 |
| 6.2.1.5 Nivell II | 48 |
| 6.2.1.6 Nivell IIIa (Quadres F22) | 49 |
| 6.2.2 Quadre G25 | 50 |
| 6.2.2.1 Nivell XXIV | 50 |
| 6.2.2.2 EC4 (Estructura de Combustió 4)..... | 51 |
| 6.2.2.3 Mostres EC4 | 52 |
| 6.2.3 Nivell IV | 53 |
| 6.2.4 Nivell V | 54 |
| 6.2.4.1 Nivell V- Redefinició | 54 |
| 6.2.4.1.A Subnivell Va..... | 55 |
| 6.2.4.1.B Subnivell Vf | 55 |
| 6.2.4.1.C Subnivell Vf ₄ | 56 |
| 6.2.4.1.D Subnivell Vg | 56 |
| 6.2.4.2 Nivell V- Excavació | 57 |
| 6.2.4.2.A Subnivell Va..... | 57 |
| 6.2.4.2.B Subnivell Vf | 59 |
| 6.2.5 Retall 4..... | 62 |
| 6.2.6 Quadre H25 Vf/Vg | 63 |
| 6.2.7 Nivell XXIX | 64 |
| 6.2.8 Nivell XVI..... | 65 |
| 6.2.9 Quadre I24-I25 | 65 |
| 6.2.9.1 Testimoni superior..... | 65 |
| 6.2.9.2 Testimoni inferior..... | 66 |
| 6.2.9.2.A Nivell II..... | 66 |
| 6.2.9.2.B Nivell IIIb | 67 |
| 6.2.9.2.C Nivell IIIa | 67 |

| | |
|----------------------------------------------------------|-----------|
| 6.2.9.2.D Nivell XXIV | 68 |
| 6.2.9.2.E Nivell XXVII..... | 68 |
| 6.2.9.2.F Nivell IVa | 68 |
| 6.2.9.2.G Nivell Va ₂ i Vf ₅ | 69 |
| 6.2.10 Conilleres..... | 71 |
| 6.2.10.1 Conillera 1 (núm. 3620)..... | 72 |
| 6.2.10.2 Conillera 2 (núm. 3629)..... | 72 |
| 6.2.10.3 Conillera 3 (núm. 3779)..... | 72 |
| 6.2.10.4 Conillera 4 (núm. 3768)..... | 73 |
| 6.2.10.5 Conillera 5 (núm. 3824)..... | 73 |
| 6.2.10.6 Conillera 6 (núm. 3862)..... | 74 |
| 6.2.11 Mostres Preses | 75 |
| 7. ESTAT FINAL BIENNI 2010-2011 | 77 |
| 8. BIBLIOGRAFIA | 79 |
| 9. ÍNDEX DE FIGURES I TAULES | 80 |
| 10. ANNEX: Inventaris 2010-2011..... | 82 |

11. ARTICLES 2010-2011

Daura, J., Sanz, M., Pike, A. W. G., Zilhão, J., Subirà, M.E., Fornós, J.J., Fullola, J. M^a, Julià, R. 2010. Stratigraphic context and direct dating of the Neanderthal mandible from Cova del Gegant (Sitges, Barcelona). *Journal of Human Evolution* 59, 102-122

Arsuaga, J. L., Quam, R., Daura, J., Sanz, M., Subirà, E., Dalén, L., Götherström, A. 2011. Neanderthal mtDNA from an Upper Pleistocene human mandible from the cova del Gegant (Spain). En: Condemi, S., Weniger, Gerd-Ch. (Eds.). *Neandertals: Their ancestors and contemporaries. Continuity and Discontinuity in the Peopling of Europe. Proceedings of the international congress to commemorate "150 Years of Neanderthal discoveries, 1856-2006"*. In Delson, E. and Sargis, E. (Eds) *Vertebrate Paleobiology and Paleoanthropology series XXI*, Chapter 19, pp. 213-219.

López-García, J., Blain, H.A, Sanz, M., Daura, J. 2012. A coastal reservoir of terrestrial resources for neanderthal populations in north-eastern Iberia: palaeoenvironmental data inferred from the small-vertebrate assemblage of Cova del Gegant, Sitges, Barcelona. *Journal of Quaternary Science* (DOI: 10.1002/jqs.1515).

Rodríguez, L., García-González, R., Sanz, M., Daura, J., Quam, R., Fullola, J. M., Arsuaga, J. L. 2011. A Neanderthal Lower Incisor from Cova del Gegant (Sitges, Barcelona, Spain). *Bol. R. Soc. Esp. Hist. Nat. Sec. Geol.* 105(1-4): 25-30

1. INTRODUCCIÓ

La intervenció arqueològica programada a la Cova del Gegant de Sitges (Garraf), s'ha realitzat amb tota normalitat durant el bienni 2010-2011 durant el mes de juny del 2010 i del 2011, tal i com havíem programat en la sol·licitud d'intervenció efectuada davant la Direcció General de Patrimoni Cultural (Servei d'Arqueologia i Paleontologia).

Durant aquest bienni s'ha treballat amb l'objectiu de continuar les excavacions a la Galeria Principal (GP), les quals tenen per objectiu determinar la potència estratigràfica de la cavitat, la integritat del rebliment i l'estudi de les restes arqueològiques, especialment en els nivells plistocens. La zona d'intervenció ha estat en la part final de la GP, on es conserva, encara ara, bona part del rebliment sedimentari de la cavitat.

La direcció de la intervenció i la redacció del present informe l'han duta a terme Joan Daura Luján i Montserrat Sanz Borràs, membres del Grup de Recerca del Quaternari del SERP del Dept. de Prehistòria de la Universitat de Barcelona. En la intervenció hem comptat també amb la col·laboració dels diferents especialistes tan en el treball de camp com en el de laboratori, que es troben especificats en els projectes marc d'investigació sobre els *Primers pobladors al massís del Garraf-Ordal i eix del Llobregat* (anys 2004-2009) i *Humans, carnívors i medi natural durant el Plistocè al massís del Garraf-Ordal i curs baix del riu Llobregat* (anys 2010-2016). Recerca que se centra en l'estudi i coneixement entorn a aspectes que fan referència al medi natural, paleontologia i vegetació, al llarg del Plistocè, així com al comportament dels primers grups humans.

Econòmicament la intervenció ha estat sufragada pel Servei d'Arqueologia i Paleontologia de la Generalitat de Catalunya, el Grup de Recerca del Quaternari, la Universitat de Barcelona i l'Ajuntament de Sitges.

2. SITUACIÓ DE LA CAVITAT

La Cova del Gegant es troba ubicada en el paratge conegut com a la Punta de les Coves, dins del terme municipi de Sitges, en l'extrem occidental de la localitat just on conflueix amb els terme de Sant Pere de Ribes i Vilanova i la Geltrú. La cavitat es troba concretament en un petit promontori situat dins la serra dels Colls-Miralpeix, un petita cadena muntanyosa de poca alçada desenvolupada entre el mar i la plana de Ribes. El promontori en el qual hi ha la cavitat té una façana marítima allargassada, d'uns 200 m de longitud i uns 30 m d'altitud, en la qual si localitzen un total de 7 cavitats conegudes d'antic, entre les quals hi ha la Cova del Gegant, la del Musclo i la Verda (Figura 1).

La Cova del Gegant és de totes elles la cavitat més important a causa de l'estat de preservació dels seus sediments i de les restes que s'hi han recuperat. Se situa exactament entre la Cova del Musclo i la Cova Llarga. Actualment el seu accés s'acostuma a realitzar a través d'un avenc de 18m de profunditat obert just sobre la Galeria Principal (GP) de la Cova. Tot i aquesta entrada, la cavitat disposa també de dues boques situades a escassos metres sobre el nivell actual del mar i que permeten accedir a la Cova del Gegant també des d'aquest punt, especialment en els moments de mar calmada (Figura 2).

L'entorn més immediat del jaciment està format per un paisatge típicament mediterrani amb el domini propi de la fauna i flora d'aquesta regió però amb els matisos característics de les serres calcàries. Dels relleus geogràfics més propers, cal destacar que a l'est de la cavitat s'ha desenvolupat el delta de la riera de Ribes, un dels cursos fluvials més importants que travesses el massís del Garraf i gairebé dels pocs amb cabdals significatius entre el Foix i el Llobregat. Aquest curs travessa tot el cor del massís i té instal·lada la seva capçalera a la plana del pòlie de Begues, a partir de la riera de Begues i Olesa.

A l'oest, s'estén la serra dels Colls-Miralpeix, de relleus suaus, fins a la zona de la Farola a Vilanova i la Geltrú, on s'obre la plana en la qual ha crescut aquest municipi. Travessada la serra en direcció nord, el paisatge esdevé encara molt més suau, especialment per la presència de la plana de Ribes.

Així doncs, l'aspecte general del medi que engloba l'entorn més immediat de la cova del Gegant és el de planes relativament àmplies desenvolupades al peu d'unes serres

suaus i poc abruptes, paisatge que contrasta amb un interior del massís del Garraf extremadament inhòspit.



Figura 1. Situació de la Cova del Gegant. Vista des del mar.

3. DESCRIPCIÓ DE LA CAVITAT

La Cova del Gegant, és una cavitat d'origen càrstic, formada en realitat per dues coves, la pròpia Cova del Gegant i la Cova Llarga, a la qual es troba unida per un conducte molt estret disposat de manera perpendicular a les galeries principals de les dues cavitats. La Cova del Gegant és la més important d'ambdues, i també la que té unes dimensions més grans, amb un recorregut en la Galeria Principal de 22 m (Figura 3). Aquesta cavitat té el seu origen en una diàclasi orientada N-S que es pot resseguir des de la superfície del turó i que és on hi ha la boca de l'avenc i també la Galeria Principal (GP).

La Galeria Principal de la Cova del Gegant (GP) està formada per dos espais ben diferenciats: el primer (GP1) és de dimensions més àmplies i està format pel vestíbul d'entrada i les dues boques d'accés des del mar (Figura 2). El segon dels espais (GP2) és la part terminal de la Galeria i es troba a una cota més elevada, fet que ha permès que es conservi una part del rebliment sedimentari.

En la part final de la Galeria Principal (GP2) és on hi ha la boca d'accés al conducte transversal (GL-T), que connecta la Cova del Gegant amb la Cova Llarga. Aquest conducte és de mides molt petites i està format també per una sèrie de ramificacions laterals gairebé impenetrables de petites esquerdes disposades de manera perpendicular.

La Galeria Principal de la Cova del Gegant té dues Galeries Laterals disposades de manera gairebé paral·lela i estructurades per dues diàclasis menors orientades lleugerament més cap al NE que la galeria principal. La primera de les Galeries Laterals (GL1) és la que es troba més propera al mar, té un recorregut molt curt, aproximat de 7 m, dels quals la part terminal es gairebé impenetrable. Alhora, aquesta galeria està separada per un envà rocós que la divideix en dos. Just a l'entrada d'aquesta galeria hi ha un dels *bufador* i dos petits espais diferenciats per la morfologia de la cavitat, que han estat anomenats sectors S i SG (Mora, 1988). Aquesta part de la Cova del Gegant és on s'han realitzat el major nombre d'intervencions arqueològiques i d'on també procedeix el nombre més elevat de restes.

La segona de les Galeries Laterals (GL2) es troba en la sala principal, més a l'interior que la primera galeria, i té gairebé la mateixa orientació que l'anterior, amb unes dimensions lleugerament majors i amb la part final dividida en dos conductes de menors

dimensions. En aquesta galeria, anomenada també galeria B, es va realitzar un sondeig arqueològic en el qual es varen recuperar restes arqueològiques.

La Cova Llarga (vegeu planta de la Figura 3), es troba situada a 20 m en direcció a l'oest de la Cova del Gegant, i té la mateixa orientació ja que les dues cavitats són gairebé paral·leles. L'accés a aquesta cavitat es pot realitzar també des del mar a través d'una de les boques o bé, també, a través d'un conducte superior situat en el mateix turó de l'avenc de la Cova del Gegant. Com en el cas anterior, la Cova Llarga està estructurada al llarg d'una diàclasi, i, tot i que el recorregut és major que la Cova del Gegant, és de menors dimensions, amb una amplada i alçada dels conductes que disminueixen fins al punt de convertir-se gairebé en impenetrables.

La zona d'entrada està formada per un vestíbul relativament ampli que forma la part més transitable de la cavitat, aquest es va estrenyent cap a l'interior fins a convertir-se en Conductes Horitzontals molt estrets –CL1, CL2 i CL3-. En la part final de la cova Llarga hi ha el Conduite Transversal (GL-T) que uneix aquesta cavitat amb la Cova del Gegant.

En la Cova Llarga encara es preserva una part del rebliment sedimentari que el mar no ha destruït en trobar-se a una cota més elevada, tot i que desconeixem si en aquesta part es conserven encara restes arqueològiques.



Figura 2. Galeria Principal de la Cova del Gegant (Sitges) amb les dues entrades pròximes al mar. Vegis com el mar entra en l'interior de la cavitat en moments de mar calmada.

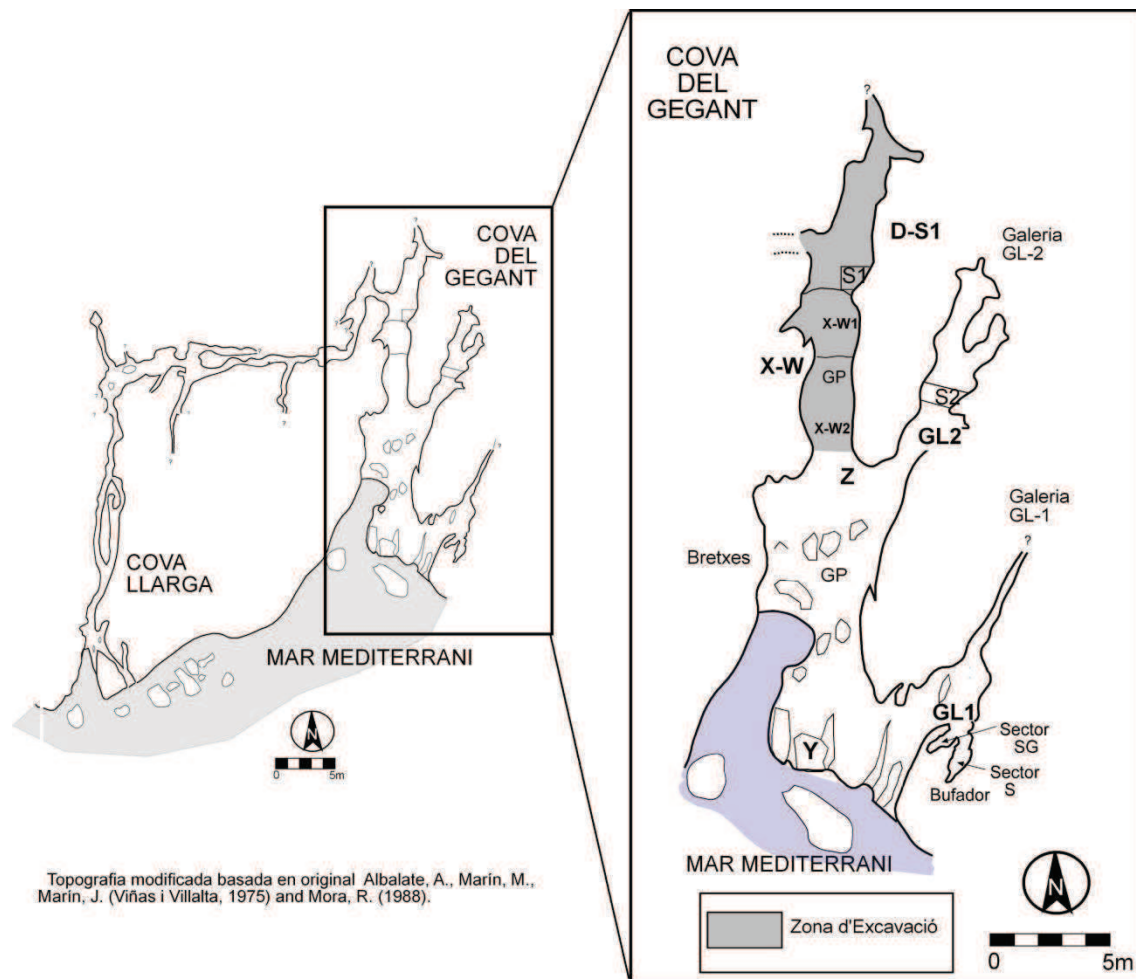


Figura 3. Planta de la Cova del Gegant amb la nomenclatura utilitzada. Topografia modificada basada en l'original d'Albalate, A., Marín, M., Marín, J. (Viñas i Villalta, 1975) i sectors S i SG segons Mora (1988) afegit a la topografia general.

4. ANTECEDENTS DE LA INTERVENCIÓ ARQUEOLÒGICA

La primera intervenció arqueològica al jaciment, de la que en tinguem constància, va ser efectuada a principis dels anys cinquanta per l'Agrupació Muntanyenca (Amunt) de Sitges i dirigida pel Mn. Santiago Casanova Giner, que varen intervenir en la Galeria Lateral de la cavitat més propera al mar, la GL1.

Després d'aquesta intervenció, membres del Museu Víctor Balaguer de Vilanova i la Geltrú varen tornar a excavar al conjunt de la punta de les coves de Sitges (Bellmunt, 1957-1958). Posteriorment, a principis dels anys setanta, Ramon Viñas des de la Biblioteca Museu Víctor Balaguer de Vilanova i la Geltrú (Garraf) va realitzar una intervenció a la part central de la cavitat. L'interès en la Cova del Gegant per al coneixement del Quaternari van motivar, un any després, una nova intervenció des de l'Institut d'Ecologia del Quaternari, dirigida pel Dr. Villalta (Viñas, 1972; Viñas i Villalta, 1975). Als anys vuitanta, un equip del Centre de Recerques Paleosocials de Girona i de la Universitat Autònoma de Barcelona dirigit per R. Mora, J. Martínez, I. Muro i J. Miret va dur a terme dues intervencions. La primera com a excavació d'urgència sufragada pel Servei d'Arqueologia de la Generalitat l'any 1985 (Mora, 1988) i una darrera com a excavació de recerca l'any 1989.

Finalment, l'any 2003, el Grup de Recerca del Quaternari incorpora l'excavació de la Cova del Gegant en el seu pla de recerca. L'any 2007 s'inicien els primers treballs a la cavitat amb un estudi estratigràfic i cronològic del jaciment que servirà de base per les excavacions que s'inicien l'any 2008. Aquesta excavació es troba en l'actualitat en el marc del projecte de recerca *Humans, carnívors i medi natural durant el Plistocè al massís del Garraf-Ordal i curs baix del riu Llobregat* (anys 2010-2016), lliurat a la Direcció General del Patrimoni Cultural.

De la Cova del Gegant se n'han fet també nombrosos articles científics i bona part dels materials han estat tractats en tesis doctorals com les de J. Estévez (1979), R. Mora (1988) o A. Sánchez (2005) o J. Daura (2008), entre d'altres. Destaquen de manera recent l'estudi de la mandíbula de Neandertal (Daura et al., 2005) i de les restes de microfauna (López-García et al., 2008).

Finalment el darrer estudi del jaciment ha estat la datació de la mandíbula i la descripció estratigràfica del jaciment (Daura et al., 2010), l'estudi del DNA de la mandíbula

(Arsuaga et al., 2011), així com un estudi de les restes de micromamífers procedents de les excavacions actuals (López-García et al., 2012).

5. ESTAT INICIAL DEL JACIMENT

Com ja és habitual en el jaciment de la Cova del Gegant, abans l'inici de cada intervenció, una part del jaciment es troba destruït, especialment per l'acció dels temporals, i, en ocasions, també per l'activitat d'espeleòlegs, que quan visiten la cavitat, trepitgen part dels talls o del rebliment de la cavitat.

Per aquest motiu, a la fi de la campanya del 2009, es va alçar un mur realitzat amb sacs omplerts amb còdols i sorra que se situa a l'entrada de la GP de la Cova del Gegant per tal d'amortir els efectes dels temporals (Figura 4). Al inici de la campanya del 2010 es va trobar que aquest estava parcialment destrossat com a conseqüència dels diferents temporals que durant l'hivern del 2009-2010 varen afectar el litoral català. Afortunadament els sacs no es van fracturar i així s'han pogut tornar a col·locar en la seva posició original a l'espera de poder construir un mur de formigó que posi fi de manera definitiva a les destrosses que el mar ocasiona. Enguany, durant la present campanya, hem observat que els temporals no han afectat a la integritat del jaciment, probablement mercès al fet que durant aquest hivern els temporals han estat pràcticament escassos.

En l'informe de la campanya del 2009 així com en la memòria dels anys 2007-2009 ja s'ha fet esment reiteradament d'aquesta problemàtica. Doncs considerem que caldria prendre una proposta ferma per part del Departament de Cultura per tal de poder excavar en la seva totalitat els sediments que reomplen la cavitat per tal d'evitar-ne la seva desaparició. Enguany, amb la visita efectuada per l'arqueòleg territorial el sr. Magí Miret s'ha acordat de buscar finançament per tal de poder realitzar l'esmentat mur. Per aquest motiu s'ha contactat amb l'empresa de treballs verticals Inaccés, ja que les condicions d'accés al jaciment són complicades.

En el tall de la secció on va finalitzar l'excavació de la campanya del 2009 els temporals han aportat sediments a base de palets i sorres de platja. La protecció dels talls realitzada durant la campanya del 2009 ha evitat que en aquesta ocasió s'hagin incrustat els palets. Així doncs, enguany la destrossa efectuada pel mar ha estat inferior a la de la campanya del 2009, mercès a què el jaciment va ser protegit. Tot i això, en el quadre G24, s'ha produït una fissura en el sediment, fins al punt que part del perfil amenaça en caure en qualsevol moment com a conseqüència de l'impacte de les ones.

També en les mateixes condicions es troba el tall de la secció comprès entre els G24 i el G25 a l'alçada del nivell II, com a conseqüència de la textura més suau del nivell. És també el cas de la secció d'H24 i H25, que ha sofert l'impacte de les ones, en el perfil de la Sitja s'ha pogut observar un metàpode de cavall totalment fracturat.

La pèrdua més important que s'ha de lamentar és la produïda pels temporals succeïts entre les campanyes del 2009 i del 2010 en la platja fòssil de la secció del X-W2, entre el punt 13,50m i el mar, i que correspon al nivell X i en certa mesura també en el nivell de base o Vc₁. El nivell X formava part del testimoni de la platja fòssil més proper al mar que es preservava, ha estat completament destrossat i per tant en l'actualitat ja no es conserva res d'aquest important testimoni. Aquest nivell X havia estat punt de referència per tots els autors precedents (Viñas, 1972; Viñas i Villalta 1975; Mora, 1988) i va ser datat per primera vegada per nosaltres (Daura et al., 2010), desmentint-ne la seva atribució pliocena. En aquesta ocasió hem de lamentar també que la seva destrucció significa també la pèrdua d'un dels pocs testimonis de platges fòssils del massís del Garraf que encara es preservava.

Pel que fa als spitz i ancoratges d'accés al jaciment aquest els hem trobat tots ells coberts amb morter, tal i com els varem deixar la campanya anterior ha excepció d'uns dels parabols de seguretat exterior, dels quals el ciment havia estat llevat probablement per a la pràctica de l'espeleologia. Aquest fet ha produït que part de l'ancoratge s'hagi malmès per causa de l'òxid.



Figura 4. Estat inicial del jaciment durant el bienni 2010-2009. 1-2: Estat de la protecció del jaciment durant la campanya del 2009 a l'inici de les excavacions durant el 2010. 3-4: Estat del jaciment al inici de la campanya del 2010. 5-6: Estat de la protecció del jaciment durant la campanya del 2011. 7: Esquema on es mostra els sediments destruïts a la Cova del Gegant en el període 1989-2007.

6. TREBALLS REALITZATS

Durant la campanya del 2010 els treballs d'excavació arqueològica a la Cova del Gegant s'han centrat en la GP, per aquest motiu s'ha començat la neteja i excavació dels nivells superficials en el seu tram final, especialment a partir de la línia dels H. En aquesta part de la cavitat s'ha traçat un eix entre el cap de l'anella del tram mig de la GP i el final de la GP, que coincideix amb la cota de profunditat 0 cm. Es tracta de l'eix principal entre el final de la GP i la bretxa del punt Y.

En el quadre H26 s'ha començat a excavar el nivell Ia, que s'excava de sud a nord seguint el talús natural N-S de la GP en el seu tram final, probablement com a conseqüència de l'acumulació de sediment procedent de l'obertura de la GL-T entre la CG i la CLL.

Els treballs realitzats durant la campanya del 2011 a la Cova del Gegant de Sitges s'han centrat també en exclusiva en la part final de la GP, on des de la primera campanya iniciada per part del GRQ s'està realitzant intervencions arqueològiques de forma continuada. Enguany la zona d'intervenció ha estat en el testimoni X-W1, en el quadre G25 i part del quadre H25 i també en el quadre I24/I25, tant en el testimoni superior com en l'inferior.

6.1. CAMPANYA DEL 2010

6.1.1 Nivell I

El nivell I correspon a la unitat superior formada per diferents subunitats i es caracteritza essencialment per ser un nivell format per una matriu lutítica amb presència de palets arrodonits procedents de les platges pròximes. Enguany la intervenció en el nivell I ha consistit en la intervenció en la zona de la Sitja-3/Retall-3.

6.1.1.1 Sitja-3 i Retall-3

La intervenció del 2010 s'ha centrat especialment en el sector del quadre H25 i també de forma general en els quadres G/H/I-25/26.

En el quadre H25 s'ha iniciat l'excavació del nivell Ia. En un primer moment l'estructura del sediment semblava que podria formar part de la Sitja-3 però a mesura que l'excavació ha avançat hem pogut documentar que tot el sostre del nivell I en realitat està caracteritzat per la presència d'un gran Retall que s'ha anomenat Retall-3 en

contraposició al terme Sitja. Aquest gran retall correspon a l'obertura de la GL-T per part d'espeleòlegs que han provocat la mixturació dels sediments en la part superior del nivell I. Per aquest motiu, les restes d'aquesta part s'han considerat dins del Retall-3. En aquest Retall-3 els materials són d'època moderna i contemporània.

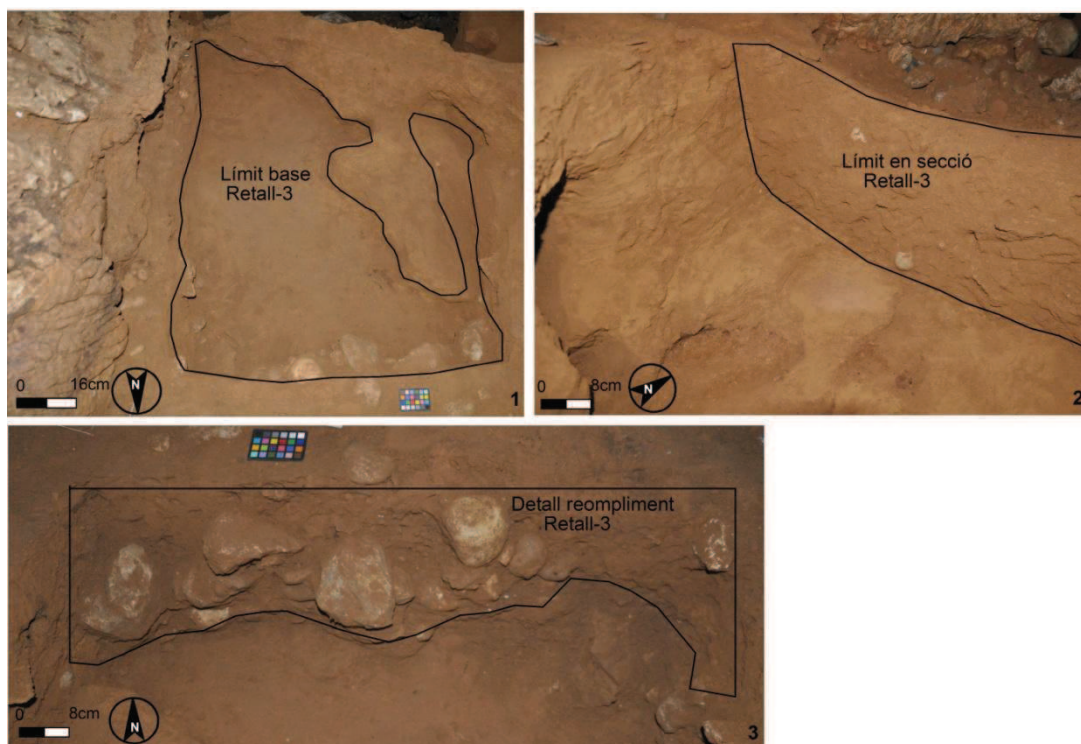


Figura 5. Retall 3. 1: Límit en planta del Retall-3 en la GP. 2: Secció del reompliment del Retall-3 de la GP. 3: Detall del reompliment del Retall-3 de la GP.

6.1.2 Nivell II

El nivell II correspon als llims amb colades horitzontals. Subjacent al nivell I, el nivell II té una potència entorn als 50cm (-67cm /-107cm aprox.). Està format per materials fins (lutites) que són els que dominen el nivell, mentre que la fracció grossa és gairebé inexistent. Hi ha presència de colades al llarg de tot el nivell, en la part més interna del tram X-W1 aquestes colades són totalment horitzontals, mentre que en les zones més externes esdevenen amb certes pendents.

Enguany la intervenció en el nivell II ha consistit en la seva excavació en el quadre I23 i en la presa de mostres de la part més pura del nivell, mercès que quedava protegit sota la fornícula del quadre I23/24.

| Campanya | Nivell | Quadre | Color |
|----------|--------|--------|------------|
| CG'10 | IIB | I23 | 7.5 YR 4/6 |

Taula 1. Mostres preses en el nivell IIB, color en humit.

6.1.3 Nivell III

El nivell III, que correspon al que es troba subjacent al nivell II, de les colades que segellen els nivells plistocens, està format per diferents unitats que han estat diferenciades ja durant les campanyes anteriors. La campanya del 2010 s'ha centrat en l'excavació dunes zones concretes del nivell III.

6.1.3.1 Subnivell IIIa – Estructura 3 (EC3)

El subnivell IIIa correspon a la primera fase de lutites vermelloses amb restes de fauna i carbons i es correspon amb el nivell ja definit durant el 2007. El nivell IIIa es correspon al que hi ha al tall principal de la GP X-W i S1-X. El nivell IIIa₂ correspon a l'altra banda de la Sitja, amb el que cal considerar-los com a un sol subnivell.

Enguany s'ha excavat també aquest nivell que ha permès algunes apreciacions. Hem determinat una estructura de combustió anomenada EC3 que es troba al sostre del nivell IIIa a la zona del quadre G/H-25 format per terra cremada, cendres i carbons. Es tracta d'una capa molt fina de menys de 1cm de potència i que es troba alhora alterada per conilleres. Té una morfologia ovalada amb un diàmetre màxim d'uns 120cm per 80cm. Alhora, aquesta EC3 es troba tallada per la Sitja-1 i les diferents conilleres i retalls. La cota de profunditat oscil·la com a resultat de que el sediment es molt esponjós, però té un cert cabussament cap al N de la GP, amb cotes que oscil·len com a màxim entre els -140cm i -150cm. Aquesta EC1 ha estat dibuixada en planta i s'han pres diferents mostres.

| Núm. | Nivell | Estructura | Quadre | Tipus | X | Y | Z |
|------|--------|------------|--------|----------|----|----|-----------|
| 2910 | IIIa | EC3 | H25 | Sediment | 30 | 80 | -135/-140 |
| 2911 | IIIa | EC3 | H24 | Sediment | 50 | 25 | -136/-141 |
| 2912 | IIIa | EC3 | H25 | Sediment | 18 | 60 | -139/-145 |
| 2913 | IIIa | EC3 | H25 | Sediment | 22 | 38 | -137/-145 |
| 2918 | IIIa | EC3 | H25 | Carbó | | | |

Taula 2. Mostres preses de la EC3. Aquestes mostres es troben consolidades amb Paraloid B-72 dissolt amb acetona i la mostra 2911 s'ha extret reforçada amb un llit de gases de guix.

De la EC3 s'han recuperat diferents carbons, alguns dels quals han estat separats per datar, com el carbó 2918-H25, de mides grans. Aquest es troba subjacent al copròlit 29117. Aquest copròlit ha estat consolidat amb Paraloid B-72 dissolt amb acetona, fet pel qual part del carbó potser ha estat lleugerament afectat pel consolidant.

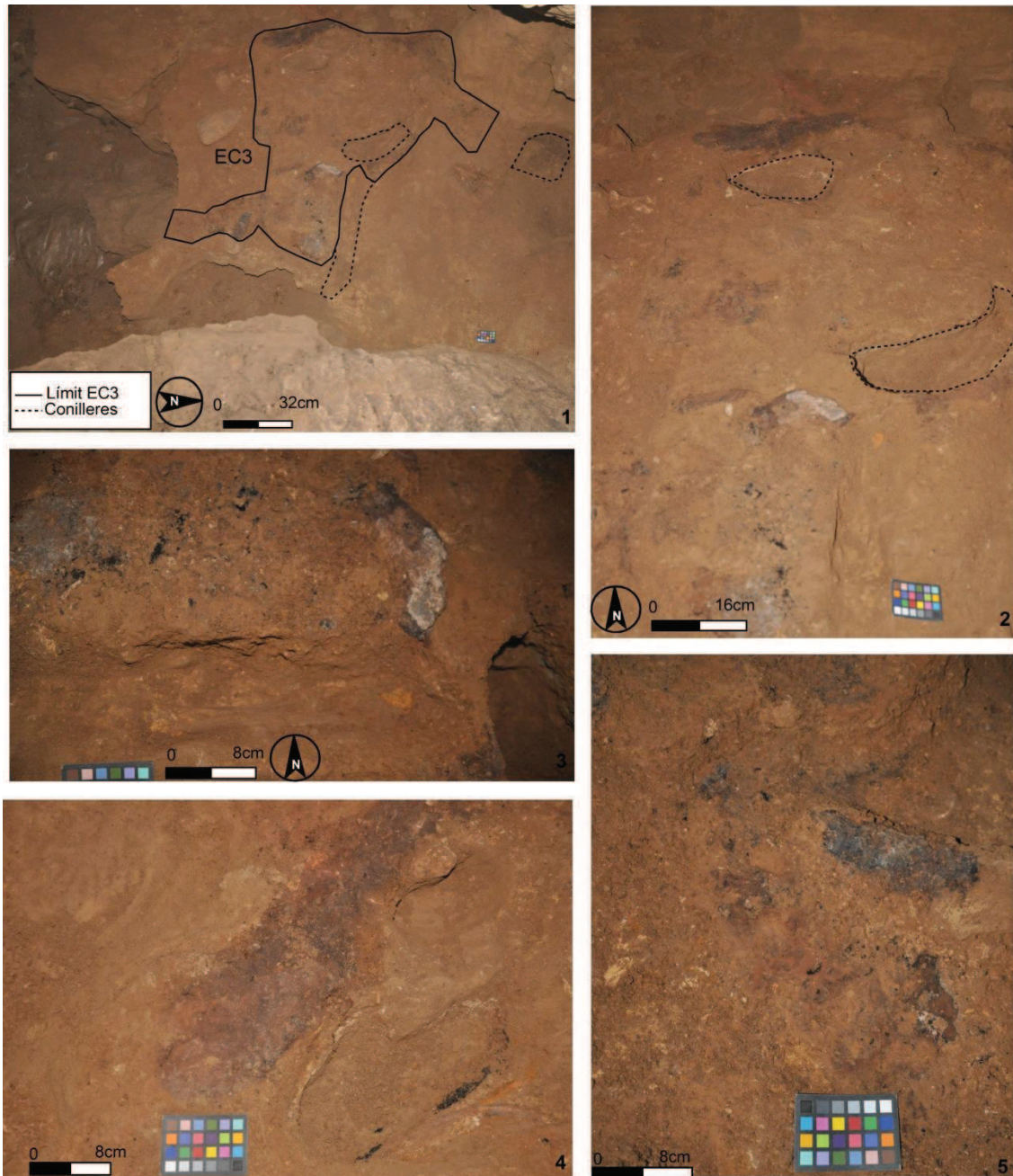


Figura 6. Estructura EC-3. 1: EC3 en planta. 2: EC3 en vista sagital. 3-4-5: Detalls de les zones cremades EC3.

Fora del perímetre de la EC3 en l'excavació del nivell IIIa s'han recuperat també restes de carbons que han estat recollits per quadres a excepció dels carbons més grans per datar que si que han estat coordinats de manera individualitzada. Alguns dels carbons es troben molt fragmentats, fet que ens ha comportat haver de consolidar-los durant l'excavació. El nivell presenta també una gran quantitat de copròlits, alguns dels quals són de dimensions reduïdes i, en general, es fragmenten durant l'excavació. D'altres han pogut ser recuperats ja que són de mides més grans i es troben més sencers, també, però, amb prèvia consolidació.

Pel que fa a les restes de fauna, sembla que les més grans s'acumulen a la base del nivell i al sostre de la colada.

| Categories | Núm. Restes Coordenades | % |
|------------------------|----------------------------|------------|
| Carnívor no det. | 45 | 30,8 |
| <i>Cervus elaphus?</i> | 1 | 0,7 |
| Copròlits | 62 | 42,5 |
| <i>Equus caballus</i> | 1 | 0,7 |
| Lepòrids | 12 | 8,2 |
| <i>Lynx</i> sp. | 9 | 6,2 |
| Macrofauna no det. | 16 | 11 |
| Total | 146 | 100 |

Taula 3. Principals restes recuperades en el nivell IIIa.

6.1.3.2 Subnivell IIIa - Individu 2 (*Felis* sp.)

En el quadre G25, just en el límit amb el F25 s'ha recuperat restes d'un felí de talla petita que podria correspondre a *Felis* sp. Aquestes restes no es troben en l'interior de la EC3 sinó fora de l'estructura i per tant en el nivell IIIa, tot i que en algunes zones es troben molt properes de l'aflorament del subjacent. De les restes d'aquest individu només s'han coordinat les mandíbules i l'acumulació s'ha embossat junta sota la sigla G25-IIIa-*Felis*.

6.1.3.3 Subnivell IIIc – Estructura 2 (EC2)

El nivell IIIc és el nivell que es troba subjacent al nivell IIIId, ja descrit en la campanya del 2009 i per damunt del nivell IIIe. Segons les descripcions de la campanya del 2009 aquest nivell correspon a una línia de carbons dins del nivell III, amb matriu lutítica

ocre i lleugerament vermella, segons formi o no part de l'estructura. A aquest nivell durant la campanya del 2008 va proporcionar fauna cremada i carbons coordinats.

En aquest subnivell es va delimitar una acumulació de carbons que vàrem anomenar EC-1 i que se situava a unes cotes compreses entre els -124cm i -128cm. S'observava una gran acumulació de carbons especialment en el costat sud-oest del quadre G23, amb escasses restes de fauna a excepció d'un fragment cremat de lepòrid i restes d'un copròlit (2426).

Enguany s'ha definit de nou el color en humit que es segons la carta Munsell és HUE 7.5 YR 4/4 i que correspondria a un marró clar. Es tracta d'un sediment molt llimós en el que hi ha una gran concentració de carbons, als que hem anomenat com a Estructura 2 (EC2).

Els carbons es troben situats fonamentalment en la zona inferior del quadre G24 ($y=0$, a 25cm) i la zona superior del quadre G23 ($y=90\text{cm}$ -100cm), encara que apareixen en tot el quadre, disminuint de S a N amb carbons esporàdics en la zona superior del quadre G24 ($y=50\text{cm}$ -85cm). En aquest nivell IIIc-EC2 les restes de materials són escasses, fins al moment només hem pogut documentar restes d'òssos corresponents a una estella de macrofauna (2536) i un fragment de mesofauna (2537) i una estella (2550).

Les cotes del nivell es troben entre -120cm i -130cm amb un cabussament de SW-NE. S'ha dibuixat en planta part del quadre G23 y G24 com a EC2. Els carbons han estat recollits de manera individualitzada, dels quals 3 han estat separats per datar i han estat etiquetats com a CG10-G24-EC2-MCV, i una segona bossa per datar.

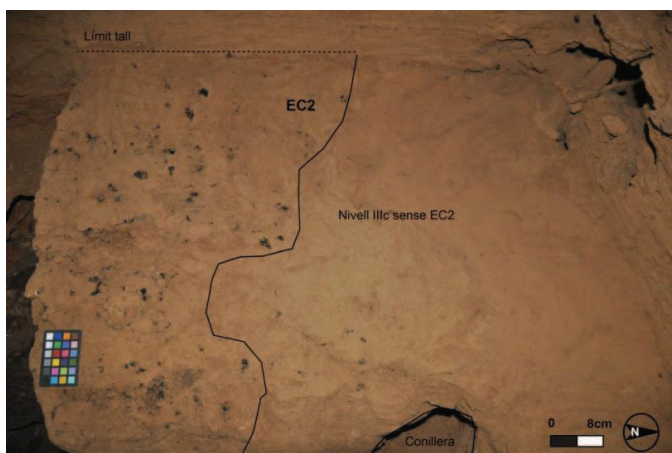


Figura 7. Planta de la EC2 del nivell IIIc.

6.1.3.4 Subnivell IIIc quadre I24

En quadre I24 s'ha realitzat l'excavació del nivell IIIc on també s'han documentat alguns carbons, si bé aquests no arriben a formar cap estructura, fet que ens ha portat a considerar-los simplement com a nivell IIIc. Dos dels carbons (2946 i 2947) són de mida considerable (4-5 cm de llarg per 2-3 cm de gruix) i es troben localitzat molt junts. Aquests carbons es fragmenten fàcilment i s'ha decidit consolidar-ne un i reservar l'altre per si es considera oportú datar-los. Els carbons se situen en el costat del tall oest i, pel nord amb el tall realitzat per fer el dibuix del tall estratigràfic W-E general. Es registra fotogràficament i en el dibuix del tall.

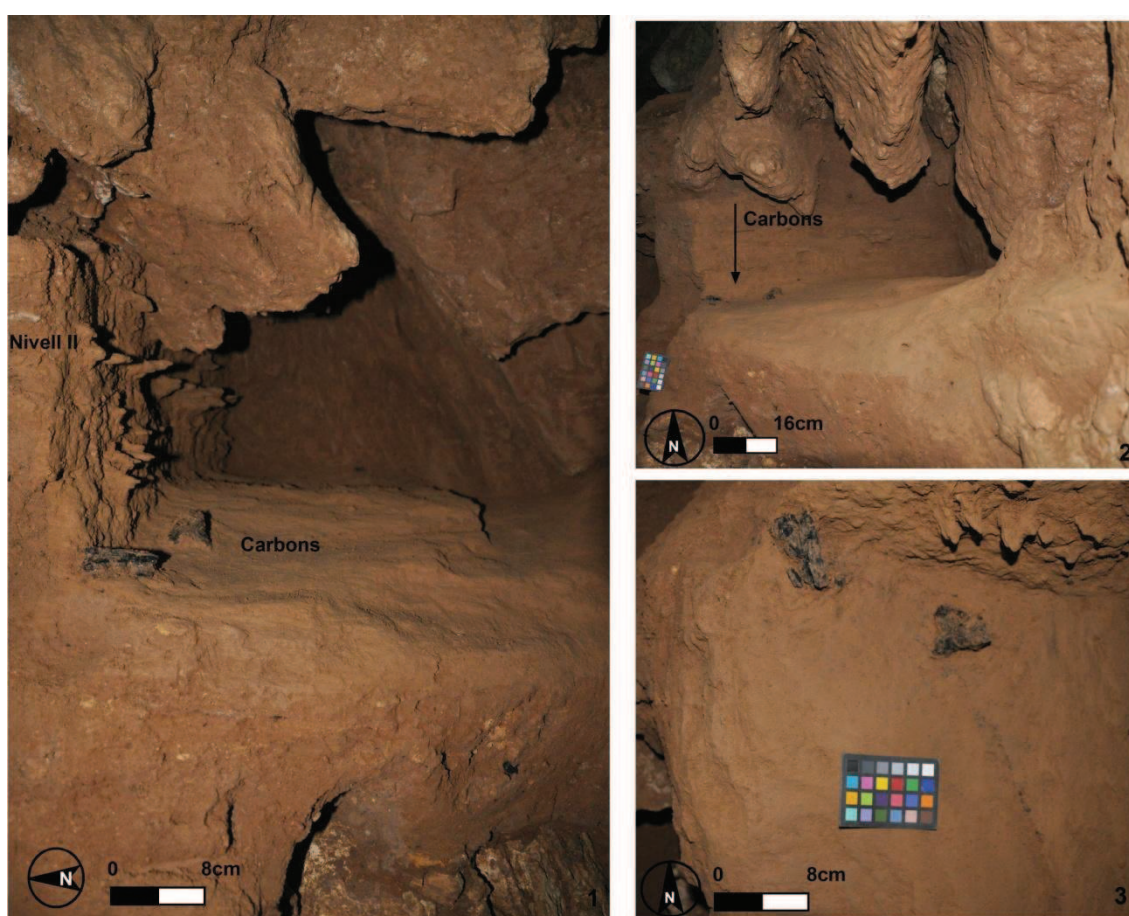


Figura 8. Carbons recuperats en el nivell IIIc del quadre I24.

6.1.3.5 Subnivell IIIe

El subnivell IIIe va ser excavat parcialment durant la campanya del 2009 i durant la campanya del 2010 s'ha continuat amb la seva excavació. Aquest nivell es troba subjacent al nivell IIIc, el de carbons, i està format per una matriu lutítica ocre i no

vermellosa. És un nivell molt fi, de 5cm, que es recolza sobre el nivell IIIa de color vermellós. No presenta fracció grossa i tampoc gairebé sorres. Se situa a una cota de \approx -110cm i té una potència d'entre 2cm i 5cm. En els sediments garbellats de IIIe hi ha moltes restes de microfauna.

Enguany les tasques desenvolupades en aquest nivell han consistit en la presa de mostres, que són les següents:

| Campanya | Nivell | Quadre | Núm./Referència | X | Y | Z | Color |
|----------|--------|--------|-----------------|----|----|------|----------|
| CG'10 | IIIe | G24 | 2966 (TL-13) | 42 | 47 | -130 | 10YR 4/6 |
| CG'10 | IIIe | G24 | UIB | 42 | 47 | -130 | 10YR 4/6 |
| CG'10 | IIIe | G24 | Paleobotànica | 42 | 47 | -130 | 10YR 4/6 |
| CG'10 | IIIe | G24 | Altres | 42 | 47 | -130 | 10YR 4/6 |

Taula 4. Mostres preses en el nivell IIIe de la Cova del Gegant (Sitges) durant la campanya del 2010, els colors són definits en humit.

6.1.4 Nivell IVa

Durant l'excavació del 2009 del subnivell IVa aquest va ser considerat en diferents subdivisions a base de petites bandes, en aquell moment varem considerar que caldria matissar les subdivisions. A l'iniciar l'excavació en planta del nivell IVa durant el 2010 en el quadre G24, hem posat en relació les dades de la campanya anterior sobre el nivell IVa i les seves subdivisions d'acord amb el que varem observar en aquest perfil (secció 24 x=0). Confirmem el que varem observar la campanya anterior i descrivim les subdivisions del IVa amb la carta de colors Munsell, per tal de poder delimitar i definir aquests subnivells en la planta del G24 ja que en la campanya anterior no varem apreciar en l'excavació en planta del G23

| Nivell | Color |
|------------------|---------|
| Iva ₁ | 5YR 4/6 |
| Iva ₂ | 5YR 3/3 |
| Iva ₃ | 5YR 4/6 |
| Iva ₄ | 5YR 3/4 |
| Iva ₅ | 5Y5 4/6 |

Taula 5. Descripció dels colors en humit segons la carta Munsell del subnivell IVa.

En el quadre H24 el nivell IV es troba força diferenciat en textura i color. Es diferencia el color, més vermell en el G24 i més marronós en el H24. A més presenta més graves, el de la zona del H24 que del G24. Aquest nivell en el H24 es veu afectat per nombroses conilleres així com per la paret de la Sitja-1. No s'han coordinat materials ni tampoc s'ha guardat la microfauna, tot i la proximitat de conilleres, que han estat excavades a part, en el nivell IV no han aparegut materials moderns.

La subdivisió dels nivells queda establerta de la següent forma:

- **IVa₁**. Aquest subnivell es troba subjacent al XXIVb i és el primer subnivell del IVa, cobreix tota la superfície del quadre G24 amb un gruix que oscil·la entre els 2cm i els 4cm aproximadament, depenent de la zona del quadre ($z=-155/-160$ cm) i que cabussa lleugerament de SW a NW amb una inclinació de 8 cm aproximadament. La textura i característiques d'aquest subnivell concorden amb el que varem descriure en la campanya del 2009, a la que hem definit el color segons la carta Munsell en 5YR 4/6.
- **IVa₂**. Correspon al següent subnivell vist en la secció, es troba delimitat en la cantonada SW, delimitant per l'esquerra amb la paret o perfil del quadre F24 i per la dreta amb una conillera que posa fi a aquest subnivell que també hem senyalitzat en planta. Aquest no presenta continuïtat amb la resta del quadre i es una petita capa de 2cm de gruix de terra cremada o rubefactada amb restes de petits carbons i sense material, la seva profunditat oscil·la entre els $z=-155\text{cm}/-157\text{cm}$.
- **IVa₃**. Aquest nivell es troba situat sota del nivell IVa₁ en gairebé tot el quadre i és subjacent al IVa₂ en el sector anteriorment descrit. Aquest subnivell té una coloració molt similar al IV₁, però que es caracteritza per disposar d'un nombre més elevat de graves de diferents mides (petites i mitjanes, entre 0,5cm i 5cm) encara que en la seva majoria continua sent un nivell argilós en un percentatge visual d'argiles del 50%, sorra el 30% i graves al 20%. Aquest subnivell gairebé no presenta material arqueològic, a excepció d'alguna resta de conill, probablement a causa de que es localitzen diferents conilleres que seccionen el nivell IVa. Les cotes aproximades es trobe entre $-159\text{cm}/-162$ cm.

- **IVa₄**. Immediatament sota del nivell IVa₃ es localitza en el quadre G24 un subnivell que ocupa tota la superfície del mateix i que hem anomenat IVa₄. Es tracta d'un nivell totalment estèril en quant a restes arqueològiques i es caracteritza per estar format en la seva majoria per palets angulosos de diferents mides que oscil·len entre 1cm i 20cm. La composició del nivell seria aproximadament i a nivell visual del 50% de palets, 30% argiles i 20% d'arenes amb una tonalitat més marronosa que el nivell general (Munsell 5YR 3/4). Es tracta d'un subnivell amb continuïtat en planta i sembla que no té cabussament marcat, les cotes entre les que oscil·la aquest nivell seria de -161cm/-165 cm. En aquest subnivell apareix en el extrem NW del quadre l'inici d'una conillera de grans dimensions que podria correspondre amb la que ha estat determinada en el perfil N-S dels H en x=0. A més, apareixen en la base d'aquest subnivell, en el següent (**IVa₅**) i en part en el V graves de mida gran en diferents parts del quadre, que podrien forma part de la paret de la cova.
- **IVa₅**. Aquest subnivell vist en el perfil dels 24 en y=0 no apareix gairebé en planta, excepte en la part inferior (sud) del quadre, amb una potència de 1'5cm aproximadament, però sense continuïtat lateral. Tant el nivell IVa₄ com IVa₅ es troben afectats per diferents conilleres que tallen el nivell en diferents punts.

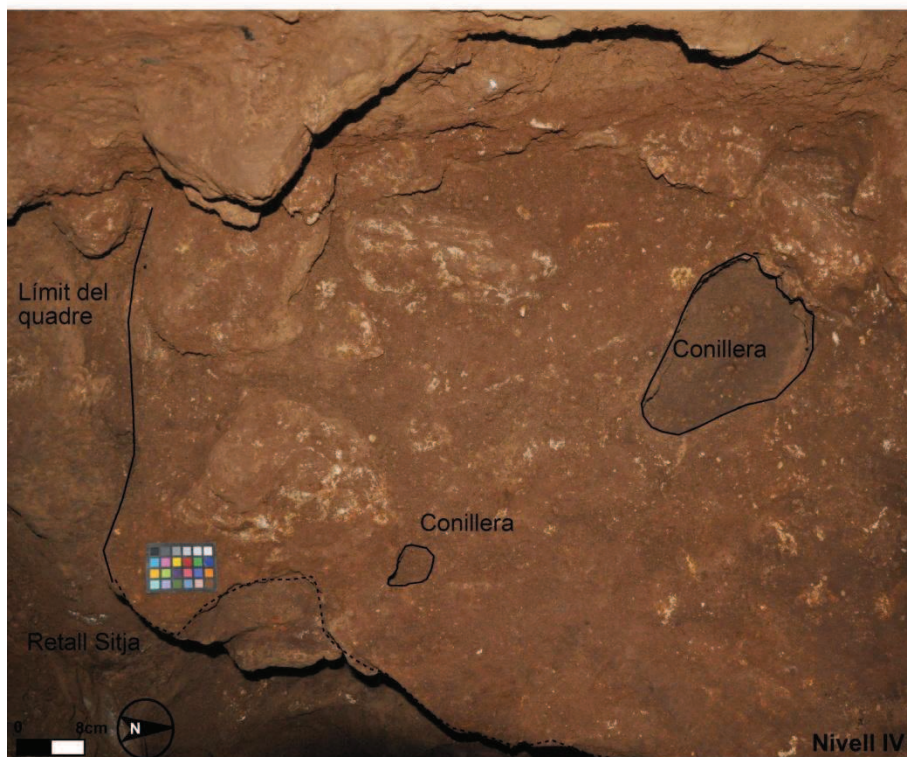


Figura 9. Planta del nivell IV de la Cova del Gegant.

6.1.4.1 Individu 3 (*Lynx* sp.)

En l'excavació en planta del quadre G24-IVa s'han trobat restes d'un carnívor de talla petita en la part superior (nord) i centrat en el quadre. Aquest conjunt consta de diferents restes esquelètiques que formen casi per completa i en posició anatòmica la part distal de una extremitat d'un carnívor que podria correspondre a un *Lynx* sp. El conjunt es troba format per 3 metàpodes els quals dos conserven varies falanges en posició anatòmica i el tercer els sesamoides, a més, es troben també els articulars en posició anatòmica i tres falanges lleugerament desplaçades de la seva posició.

Aquest conjunt ha estat denominat com a Individu 3 i les coordenades que el delimiten són: $x=35$; $y=77$; $z=-160$ i $x'=54$; $y'=87$, $z'=-162$. Tot el conjunt es troba dibuixat en planta i els números de coordenats es troben entre el 3032 i el 3052 juntament amb el 3055.

Probablement també del mateix linx s'ha recuperat en el quadre H25 restes de falanges i metàpodes (2923-2924-2925) algunes de les quals estan fragmentats per diverses

conilleres. Aquestes falanges i metàpodes corresponen al mateix linx, també en el garbell del G24 ha aparegut un fragment de mandíbula de linx.

Totes aquestes restes es troben orientades entre 150°-10°, és a dir gairebé N-S, possiblement la seva posició són el resultat de que es tracta d'un nivell d'inundació amb un lleuger desplaçament. Les restes de linx podrien correspondre a un mateix individu, de fet, tot i que no s'observa massa bé, l'ulna i el fèmur estan fracturats i s'han localitzat diversos fragments a uns 30cm de distància l'un de l'altre. Tot i que no es troben en connexió anatòmica estricta si que es troben força propers entre si (calcàni, astràgal, húmer, ulna, etc...).



Figura 10. Detall de la concentració de l'Individu-3 al nivell IVa.

6.1.5 Nivell V

El nivell V correspon a la gran unitat que forma la base de sedimentació de la Cova del Gegant, que està alhora format per diferents subnivells (Va a Vf), part dels quals han estat motiu de la intervenció durant la campanya del 2010 i que han estat definits durant la campanya del 2007 (Daura et al., 2010).

6.1.5.1 Subnivell Va (H24)

El nivell Va va ser definit durant les primeres campanyes d'excavació a la Cova del Gegant i es correspon a la primera unitat d'aquest nivell. Durant part de la campanya del

2009 va ser excavat per sota de la Sitja-1, especialment en els quadres G24 i H24. Anteriorment, part del nivell V en aquesta banda s'havia considerat com a Ve, però s'ha observat que aquest es troba més proper a Va, tant per la seva coloració com per la textura.

També, en un primer moment, en els quadres G24 i H24 s'havia considerat el nivell Ve, tot i que posteriorment va ser assignat a Va, mentre que el Ve resta pels quadres a partir dels 22.

Enguany, durant la campanya del 2010 hem excavat el nivell Va en el quadre H24. En aquesta part de la cavitat el nivell es troba afectat per l'activitat de conills, a diferents cotes. En l'excavació s'observen taques griseses que corresponen a conilleres, algunes de les quals podrien haver estat el reompliment de la conillera aixafat ja que en algunes zones encara es conserva la morfologia original. Aquest sediment presenta alguna graveta arrodonida així com elements vegetals que caracteritzen totes les conilleres. En aquestes conilleres del nivell Va s'han recuperat restes de fauna que han estat tractades apart del nivell.

En la part que s'ha excavat del nivell Va, que no es troba afectat per conilleres i per tant en estat pur, apareixen restes de copròlits molt malmesos i fauna, principalment estelles (3061, 3068, etc.) algunes de les quals es troben cremades (3067). Han aparegut restes lítiques com una ascla de (3065) que ens evidencia la presència humana en aquesta parta i en general en el nivell V (3075).

6.1.5.2 Subnivell Va/R

El subnivell Va/R ja ha estat considerat també en les campanyes anteriors, així en el 2009 en el quadre G23 es va excavar la seva totalitat en la secció W, fins a la paret de la cavitat assolint una cota -210cm on en el nivell apareix sense infiltracions, però a partir d'aquesta cota, en unes coordenades aproximades de $x=54-86$ i $y=2-50$, s'obre un forat en la part posterior de la paret de la cavitat que ha infiltrat sediments dels nivells superior a la base. Aquestes infiltracions estan presents i són visibles a partir de sediments de color marró clar. A una cota de -241cm, en canvi, no s'han detectat palets d'influència marina.

Enguany s'ha mantingut part d'aquesta nomenclatura, el que havíem considerat com a nivell Va/R correspon a la part mesclada del nivell V mentre que el Va és el que ocupa la base, format per lutites negres i sense la presència de carbonats.

6.1.5.3 Subnivell Vf

Durant la campanya del 2009 es va considerar com a subnivell Vf la base dels quadres G23 i H23, especialment la zona situada al nord del S1 com a nivell Vf. Es va definir aquest subnivell per tal de diferenciar-lo dels altres subnivells de V que han estat determinats en les seccions dels quadres G22 i H22 així com de la resta de quadres en la base de la GP i en altres indrets de la Cova del Gegant.

Es tracta d'un nivell que és molt similar a tot el V però que es diferencia per la presència de punts blancs de textura granulosa que donen un aspecte diferent de la resta V. De moment, davant l'espera de les analítiques desconexim a que es deu aquesta textura especial, si correspon a la presència de carbonats o a un altre factor. En aquest nivell, tot i que es troba afectat per conilleres i que hem excavat degudament separades, no han aparegut elements que indiquin la seva modernitat.

En aquest nivell, durant la campanya del 2010 les restes recuperades van ser bastant escasses, de les quals en destaca diferents restes d'una extremitat anterior i de la mandíbula probablement d'un mateix individu humà infantil.

Per sota del Va s'ha determinat un encrostament (del qual hem recollit una mostra) força semblant a la que s'ha documentat en el XXVII, aquest presenta un clara pendent cap a W. Per sota hem excavat el Vf, fet doncs que indicaria que l'encrostament separaria els dos subnivells.

6.1.5.4 Seqüència del nivell V i Vg

A la base de la GP en els quadres G/H-24/25 s'ha pogut observar que el nivell V presenta algunes diferències de color i textura, motiu pel qual s'ha decidit subdividir-lo de nou amb la seqüència que descrivim a continuació:

- **Va.** Al sostre de la seqüència hi hauria el nivell Va, que correspondria al nivell Va "clàssic" definit fins al moment per fangs obscurs o lutites negres. Aquest

nivell es troba en la seva posició estratigràfica i presenta algunes restes, si bé aquestes són escasses i a base d'algun copròlit i restes molt fragmentades de fauna, en canvi no presenta carbons. El nivell té una potència molt irregular en la secció N-S, així per exemple en el 0,0 dels 24 assoleix aproximadament uns 2-5cm, mentre que en els 25 assoleix uns 10-15cm. Les seves cotes absolutes es troben entre -160cm i -162cm i entre -162cm i -170cm en els 25. El nivell presenta algunes graves anguloses però no té palets arrodonits fet que indica l'absència d'influència marina, d'intrusions o remocions del nivell.

- **Vf.** Subjacent al Va hi ha el nivell Vf, aquest nivell, especialment en la secció N-S, correspon al Vf ja definit en la secció E-W dels 23/24. Es tracta d'un nivell de color obscur negre/marró però amb presència de taques blanques o punts blancs ("nivell nevat"). El nivell presenta una textura relativament semblant al Va, d'aspecte lleugerament més compacte que el Vf però relativament solt. Les cotes es troben compreses entre -170cm i -178cm en els talls dels 24 i 25, zona on el nivell assoleix més potència, ja que en el tall dels 23-24 és menys potent. Aquest nivell Vf correspon al Vf excavat l'any 2009 i es diferencia únicament del Va per aquesta presència de punts blancs. El material arqueològic és escàs, presenta algun copròlit i restes de fauna a base d'estelles molt petites.
- **XXVIII.** Subjacent al nivell Vf, s'ha diferenciat el nivell XXVIII per tal de definir una gran conillera que es presenta a base d'una cicatriu que travessa tota la secció dels G/H 24 i dels 24-25. Està formada per un reompliment a base de lutites ocres com a fons dominants i palets arrodonits com a fracció grossa. Dins d'aquesta conillera s'han documentat alguns filaments propis de les conilleres, així com també una ceràmica vidriada. Probablement aquesta conillera podria correspondre a la conillera de la secció dels 23/24 prop de la obertura de la CLL. Les cotes aproximades són entre -178cm a -191cm. Aquest nivell presenta palets arrodonits com el nivell I, fet doncs que indicaria la seva modernitat i que probablement el sediment es trobi infiltrat des d'aquesta part.
- **Vg.** Finalment, a la base d'aquesta secció lleugerament transversal s'ha determinat el nivell Vg, per tal de diferenciar-lo de la resta de nivells V de la

GP. Aquest nivell es troba separat dels superiors del V(a/f) per la cicatriu que representa la conillera o el nivell XXVIII. La seva característica és la d'una textura més solta que el Va i el Vf, gairebé sense graves o lleugerament menys que el Va/Vf. Correspondria també al sediment filtrat entre els blocs de la base. El material arqueològic és escàs, com la resta del V amb algun copròlit i fragments molt estellats de fauna.

| Nivell | Color |
|--------|--------------|
| Va | 7.5 YR 3/4 |
| Vf | 7.5 YR 3/3 |
| Vg | 7.5 YR 2.5/3 |

Taula 6. Color en humit a la secció N-S dels 24.

En l'estat actual de l'excavació es fa difícil determinar la continuïtat entre els nivells Vf i Vg degut a la cicatriu de la conillera. Tot i això en la secció W-E dels 24-25 sembla que ambdós subnivells podrien ser el mateix ja que gairebé en la part pròxima a la paret s'uneixen. Aquesta tasca queda per determinar en la propera campanya.

Per altra banda també, roman per determinar la relació del BG amb el Ve que varem delimitar en la campanya del 2007 en la base de la GP entre els 20 i 24 ja que podria ser el mateix, si bé en aquesta part es trobava lleugerament contaminat per l'estat en què ens varem trobar el jaciment després d'anys d'abandonament.

| Núm. | Ref. | Nivell | Quadre | Cota (cm) | Descripció |
|------|-------|--------|--------|-----------|--------------|
| 3094 | OLS18 | Va | H25 | -160/-170 | |
| 3111 | OSL19 | Va | H25 | -160/-170 | Part sup. |
| 3130 | OSL20 | Vf | H25 | | Envolta 3131 |

Taula 7. Mostres preses en el nivell Va.

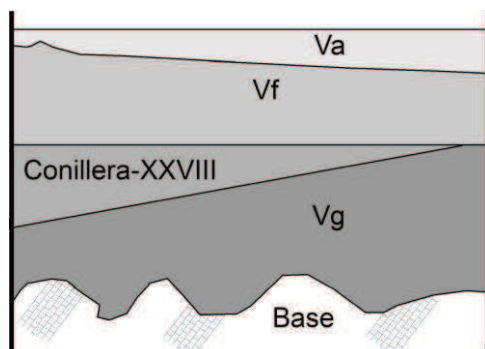


Figura 11. Esquema idealitzat de la seqüència del nivell V.

6.1.5.5 Nivell V - Quadre G-24

L'excavació del quadre G24 aporta alguns aclariments en la determinació de les característiques del nivell V de la Cova del Gegant. La cota superior del nivell es localitza en cotes compreses entre -163cm i -165cm aproximadament, immediatament subjacent al nivell IVa₄ i IVa₅.

En la secció de les H (x=0) s'aprecia i dibuixa una subdivisió de nivells dins del V que també s'observa en el quadre H25. En primer lloc, una part important del nivell V es troba rebentat per la conillera XXVIII, dins la qual hi ha materials moderns.

A part de l'activitat de conills, el nivell V es troba diferenciat en diversos subnivell, el primer d'ells correspon amb el nivell Va i que en secció sembla tenir poc reompliment, però en planta s'estén en tota la meitat oest del quadre, amb un gruix de 2cm a 5cm aproximadament. En el Va s'ha recuperat algun fragment de material que ha estat coordinat com estelles de macrofauna i un fragment de dent, probablement de *Bos* sp.

Després d'aquest subnivell tan irregular hi ha el Vf, que té una potència major, entre 5cm i 15cm i és més regular i homogeni en planta i secció. La característica més clara d'aquest subnivell es la presència d'una concentració alta de copròlits en la part NE del quadre, en una cota aproximada de -170cm i -185cm que hem anomenat latrina.

Just per sobre de la latrina hem localitzat una ascla de sílex (3137) en una cota de -175cm i més pròxim de la latrina, a una cota de -177cm un fragment de falange (3136).

En aquesta part de la Cova del Gegant el nivell Vf es troba també afectat en algunes zones per la gran conillera (XXVIII) que divideix el nivell V en el que s'ha de dominat Vf i Vg, que esta sent diferenciats a priori però que segurament corresponen al mateix subnivell.

La conillera (XXVIII) es troba en una cotes aproximades de -175cm i -195cm, tant la conillera com el nivell IVa i tot el nivell V es troba ocupat per una gran concentració de blocs i l'aflorament del que sembla ser la paret oest de la cavitat, concentració que ha estat dibuixada en planta i perfil. Aquest blocs sembla que es recolzen a la base de la GP, encara que en no en la seva totalitat, ja que entre el final de XXVIII i la base, trobem el subnivell Vg entre els blocs des d'una cota aproximada de -195cm fins a la

base de la cavitat. Els blocs oscil·len en unes mides entre els 20cm i 50cm i una potència de 10cm a 40cm.

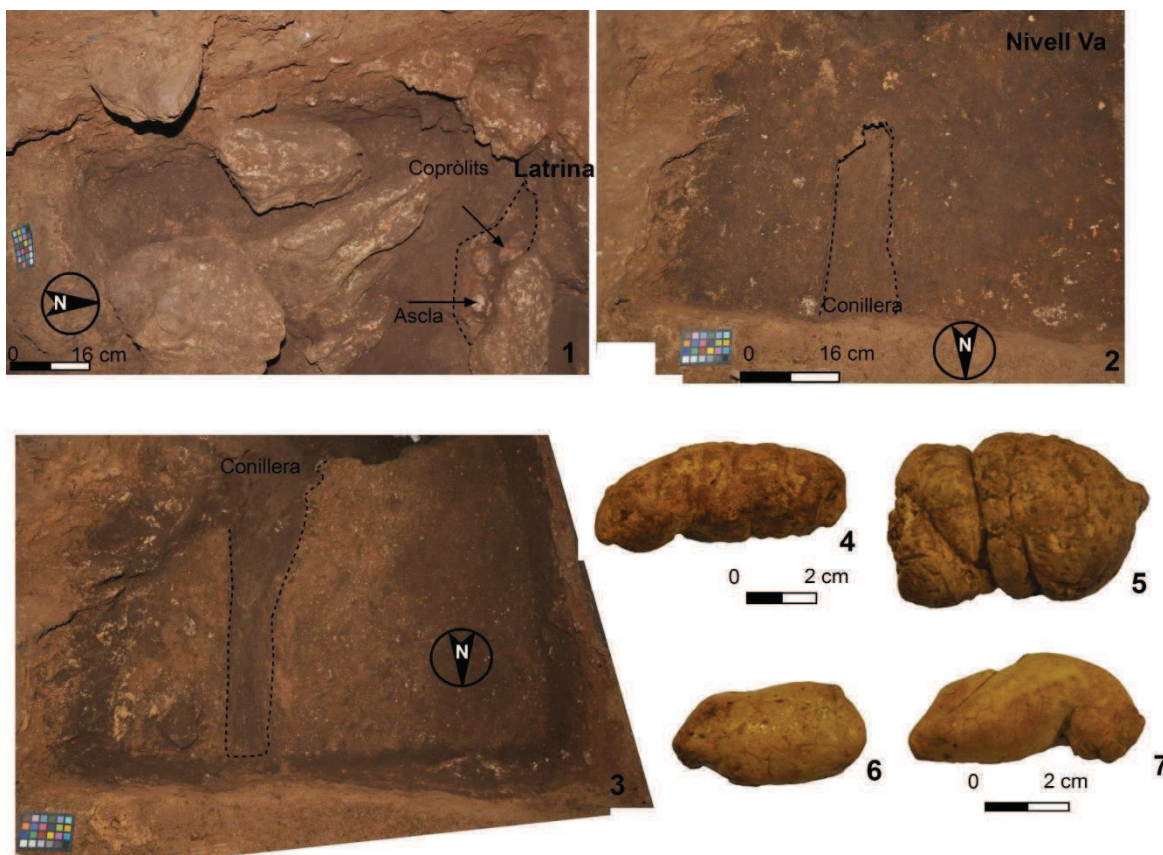


Figura 12. Nivell V. 1: Planta del nivell V amb l'acumulació de la latrina documentada i els blocs que ocupen la base de la seqüència. 2: Nivell Va en planta. 3: Nivell Vf en planta. 4-7: Copròlits recuperats en el nivell V.

6.1.5.6 Mostra U-Th del nivell V

En el nivell Va hem pres una mostra d'una colada en la bretxa X-W2 de la GP. Es tracta d'un espeleotema que es recolza sobre la base del nivell V. Aquest espeleotema sembla provenir de la colada de la paret i que formaria una repisa. Per tant l'edat obtinguda correspondre a l'edat mínima del nivell V (Figura 13).

Per damunt del Va, el que havíem anomenat nivell VIII o almenys la seva base correspon a un llims de coloració semblant al nivell XXIV, tot i que queda per confirmar. La colada es troba a una cota de -171 cm. El sostre del nivell VIII presenta més blocs i és més gravós.

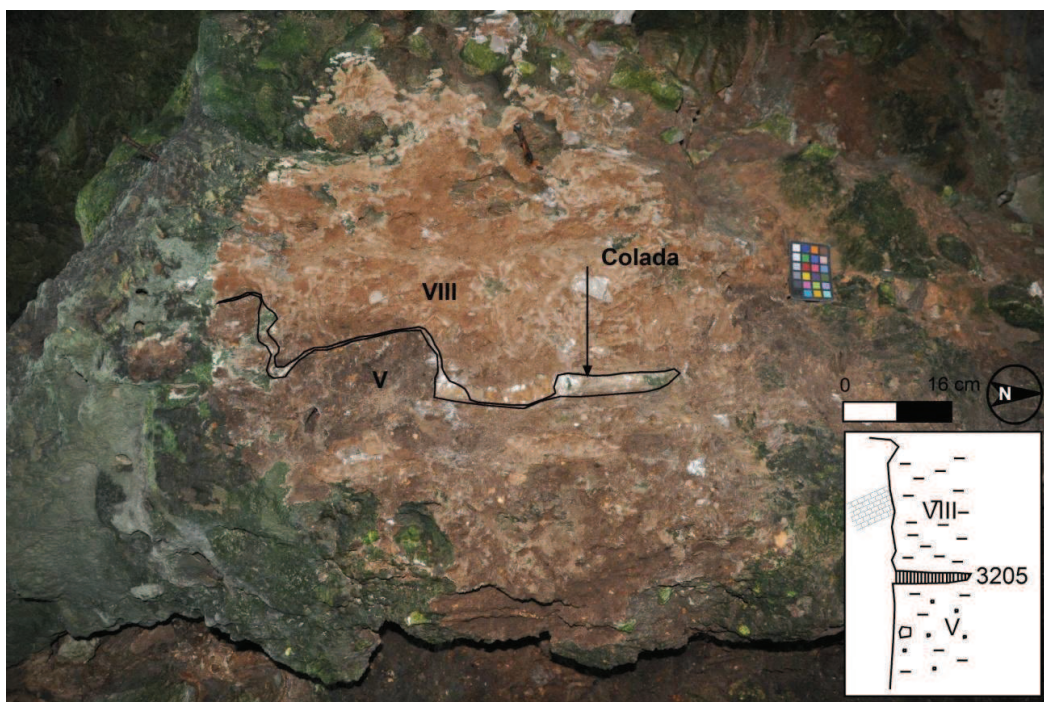


Figura 13. Nivell V en el tal X-W2 on ha estat presa la mostra de U-Th.

6.1.6 Nivell XXIV – Individu 1

Aquest nivell va ser definit durant la campanya del 2009 i va ser utilitzat per diferenciar les dues unitats vermelloses. Es tracta d'un sediment ocre lutític subjacent al nivell III i suprajacent al IV a l'oest de la cicatriu de la Sitja-1 i al nivell V a l'est de la Sitja-1.

La cicatriu de la Sitja-1 va provocar que durant l'excavació del 2009 aquest es diferenciés en dues unitats, el XXIVa i XXIVb en funció de localitzar-se a una o altra banda de la Sitja.

Durant la campanya del 2010 s'ha excavat en els quadres G24/25-H24/25 on s'ha recuperat les restes d'un cavall (*Equus ferus*) que corresponen a un sol individu, anomenat Individu 1, en connexió anatòmica. L'eix de l'Individu està orientat 10°-190° (N-S), mentre que les extremitats es troben orientades W-E.

| Núm. | Tipus | X | Y | Z |
|------|-------|----|----|------|
| 2950 | OSL17 | 30 | 45 | -150 |
| | UIB | 30 | 45 | -150 |
| | POL | 30 | 45 | -150 |
| | ALT | 30 | 45 | -150 |

Taula 8. Mostres prees en el nivell XXIV.

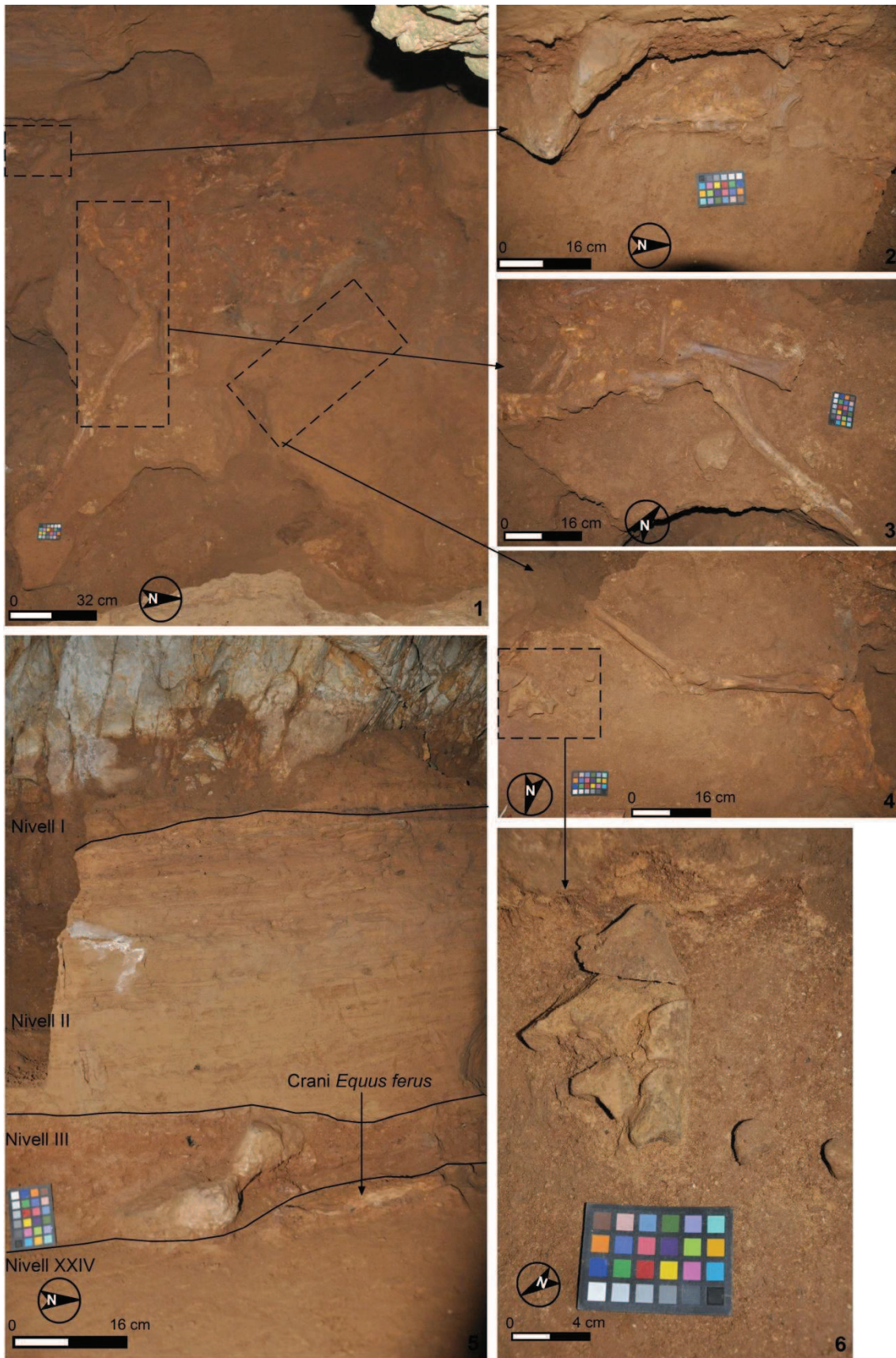


Figura 14. Individu 1 del nivell XXIV.

6.1.7 Nivell XXV

El nivell XXV es troba situat en unes cotes absolutes de -60cm fins a -70cm. Es tracta d'un nivell de color negrós molt orgànic amb presència d'argiles i carbons. El nivell es caracteritza per aquesta tonalitat obscura que es diferencia clarament de la resta de nivells I, II, III de color ocre i llimós compactat. El nivell presenta alguna grava intercalada i sembla que es trobaria situat per damunt del nivell I i que per tant correspondria, probablement a l'acumulació de sediment fruit de la utilització actual de la cavitat (tipus guano).

El nivell, de moment s'ha pogut delimitar entre l'eix del I23 fins al I25 però sembla que s'estén fins al final de la GP. En la part més testimonial de la GP, sembla que una segona línia de còdols es trobaria per damunt d'aquest nivell però roman per determinar. El nivell es troba molt solt i és esponjós, fet que en dificulta la seva preservació.

En aquest nivell XXV ha aparegut una resta de tap de cartutx de perdigó de caça (2593) que ens indica que es tracta d'un nivell modern tal i com ens ho demostra l'estratigrafia. Aquesta resta no ha estat coordinada en el nivell, tot i que és significativa de què es tracta d'un nivell modern. També dins d'aquest nivell hem recuperat un fragment de ceràmica epicampaniforme decorada (2594).

| Nivell | Quadre | X | Y | Z | Color |
|--------|--------|---|---|------|------------|
| XXV | I23 | | | -130 | 10YR 4/6 |
| XXV | I23 | | | -130 | 7.5 YR 3/4 |

Taula 9. Mostres preses en el nivell IIIe de la Cova del Gegant (Sitges) durant la campanya del 2010, mostres en humit.

6.1.8 Nivell XXVI

El nivell XXVI és una fina capa de lutites arenoses de color ocre situades per damunt del nivell XXV. Es troben situades en la secció N-S dels H/I. El nivell és un reducte que forma la fornícula de la roca, pel que no es pot considerar com a nivell continu de la cavitat, sinó com a reducte del mateix. La seva cota superior és de -60cm mentre que la inferior és de -64cm. No presenta sorres gruixudes ni palets de mides grans, si en canvi algun palet de mida mitjana.

| Nivell | Quadre | Color |
|--------|--------|----------|
| XXVI | I24 | 10YR 3/6 |

Taula 10. Mostra presa en el nivell XXVI

6.1.9 Nivell XXVII

Correspon a un nivell d'encrostament que es troba situat en unes cotes d'entre \approx -143cm i \approx -147cm al sostre del nivell XXIV. Es tracta d'un nivell detrític amb presència de palets angulars i arenes que constitueixen l'encrostament. Part de la fauna del nivell XXIV es troba coberta per aquest encrostament. El grau de puresa de la colada és baix, només algunes zones mostren algun aspecte més cristal·lí.



Figura 15. Nivell XXVII. 1: Planta del nivell XXVII. 2-3: Detalls del nivell

6.1.10 Nivell XXVIII

El nivell XXVIII ha estat utilitzat per definir el reompliment de la gran conillera que es presenta a base d'una cicatriu que travessa tota la secció dels G/H 24 i dels 24-25. Està formada per un reompliment a base de lutites ocre amb fins dominants i palets

arrodonits coma fracció grossa. Dins d'aquesta conillera s'han documentat alguns filaments propis de les conilleres, també una ceràmica vidriada. Probablement aquesta conillera podria correspondre a la conillera de la secció dels 23/24 prop de la obertura de la Cova Llarga. Les cotes aproximades son entre -178cm a -191cm. Aquest nivell presenta palets arrodonits com el nivell I, fet doncs que indicaria la seva modernitat.

6.1.11 Quadre I25

6.1.11.1 Secció I/H

Durant la campanya del 2010 s'ha decidit dibuixar la secció del H-I del tram final de la GP per tal de poder enllaçar el testimoni de la GL2 amb el tram final.

En el quadre I22 hi ha un petit testimoni molt residual de reducte d'aquesta secció, i per tant, podem considerar que realment, aquesta part de la secció s'inicia en la línia dels 23 i s'estén fins al tram final de la GP. En realitat, però, la secció no correspon exactament amb el tall de la vertical ja que aquesta es conserva adossada a la paret i just a l'altre costat del S1. Per aquest motiu hem decidit dibuixar l'estratigrafia original deixant de banda el S1, que no correspon amb la realitat de la cavitat.

En aquesta part s'ha identificat, adossat a la paret de la cavitat, un nou nivell (XXV) i hem definit de nou el nivell II. La seqüència quedaria d'aquesta manera:

XXV. Aquest nivell es troba situat en unes cotes absolutes de -60cm fins a -70cm. Es tracta d'un nivell de color negrós molt orgànica amb presència d'argiles i carbons. El nivell es caracteritza per aquesta tonalitat obscura que es diferencia clarament de la resta de nivells I, II, III de color ocre i llimós compactat. El nivell presenta alguna grava intercalada i sembla que es trobaria situat per damunt del nivell I i que per tant correspondria, probablement a l'acumulació de sediment fruit de la utilització actual de la cavitat (tipus guano).

El nivell, de moment s'ha pogut delimitar entre l'eix del I23 fins al I25 però sembla que s'estén fins al final de la GP. En la part més testimonial de la GP, sembla que una segona línia de còdols es trobaria per damunt d'aquest nivell però roman per determinar. El nivell es troba molt solt i és esponjós, fet que en dificulta la seva preservació.

II/IIb. En aquesta part de la seqüència el nivell II el trobem delimitat com en la resta de la cavitat i està format per la presència de plaques o argiles laminades. La descripció

d'aquest nivell es la mateixa que la resta del nivell II de la cavitat. Per damunt d'ell, entre -100cm i -75cm i entre el nivell II "clàssic" i el nivell XXV s'ha definit el IIb, que es en realitat el mateix nivell que el II però gairebé sense presència de plaques i el sediment es troba menys laminat. En el nivell s'observen taques blanques de carbonatacions, però el nivell no es troba laminat.

La resta de la seqüència es l'habitual en el tram final de la GP de la Cova del Gegant. Ara bé, subjacent al nivell II, el nivell III_d que es la fina capa lutítica per damunt dels carbons, no ha pogut ser identificada fins al moment, així que el nivell III_d no es troba definit en aquesta part.

En canvi, el nivell III_c si que es troba definit per la presència de carbons, tot i que en la part més propera al I24 sembla que la taca de carbons desapareix, això podria correspondre al mateix que observem a la sèrie dels G.

El subnivell III_e si que es troba present en aquesta part de la GP, i fins i tot sembla que te una potència superior que en la secció dels G.

Subjacent al nivell III_e la successió entre els III_{a2} i el IV_b no testà tant clara com en la resta de la GP. El contacte entre el III_{a2} i el III_e és força clar però la resta de nivells no. La textura es força granulosa i la tonalitat és, en general, molt homogènia i de color vermellosa fet que dificulta la delimitació dels nivells.

La seqüència definida quedarà així: el nivell III_{a2} és clar, i amb les mateixes característiques que hem definit fins al moment, en canvi el límit entre el III_{a2} i el XXIV_a no està clar ja que a vegades apareix en forma de taques de llims que no semblen continues. A més, el IV_b, sofreix un aprimament important fins al punt que gairebé desapareix el nivell. Aquest fet comporta que entre el III_{a2} i el IV_b es confonguin els nivells.

La base de la GP continuaria estant dominada pel nivell V amb les seves variacions i amb les mateixes característiques del que s'ha definit fins al moment.

6.1.11.2 Descripció del Quadre I25

S'inicia amb el propòsit d'excavar el sediment adherit a la roca que tocava amb la cala del S1. De seguida el quadre s'endinsa en la paret, fent-se més gran del previst.

Al nivell superior, entre dues crestes, es registra el nivell XXV, amb còdols, ceràmica epicampaniforme (que sembla forma part amb la que s'ha trobat en aquest nivell però en el quadre I24). Aquest nivell té una potència d'uns 10cm. Els coordenats d'aquest nivell tenen dades relativament aproximades per la dificultat d'accés. Se situen les dues crestes dibuixades a la secció, que tenen una direcció NE-SW. Son obertures molt estretes i el nivell és a la part superior.

Just sota el nivell IIb, un nivell de llims amb taques blanques que sembla calç. És força granulós i no s'observa gaire material.

El nivell II es delimita per la part superior per la presència de plaques d'argila, just en el contacte amb el nivell IIb n'hi ha una que ocupa tot el quadre. En aquest nivell també s'acaben les crestes i es pot excavar el quadre en gairebé tota la seva extensió existent. En l'horitzontal, tocant amb I24 va dels 23cm als 84cm sent aquesta la màxima amplada documentada. En longitud fa un màxim de 60cm (corresponents al tall amb el S1 i es va reduint gairebé formant una diagonal).

El nivell III d fa pendent cap a la paret de la roca, situant-se en l'extrem est per sobre dels -115cm de profunditat. L'extrem oest se situa entorn els -120 cm.

El nivell IIIc es troba ben documentat amb la presència d'una gran quantitat de carbons, quatre d'ells de mides considerables. Dos d'ells se situen al costat NW del quadre i els altres dos al costat NE molt pròxim a la paret. En la part central del quadre es documenta una taca de carbons petits. Aquest nivell també presenta una pendent cap a la paret de la roca i té una potència aproximada de 3 cm.

La secció dibuixada del tall entre I24 i I23 s'inicia en el següent nivell, el IIIe, ja que la secció general G/I-24 se situa uns centímetres per darrere, per aquest motiu s'ha decidit dibuixar una nova secció perquè durant la campanya del 2010 no s'ha pogut finalitzar l'excavació del quadre I24 fins on hi ha el tall i el dibuix de la secció (I24 fins a aquest nivell).

6.1.12 Resum dels individus determinats i mostres preses

Durant la campanya del 2010 s'ha decidit numerar cada un dels individus del jaciment amb una numeració continuada, la descripció de cada un d'aquests individus es troba

detallada en els nivells corresponents. A continuació es resumeixen els principals individus de la campanya del 2010.

| Individu | Espècie | Nivell | Quadres | Coordenats |
|----------|----------------------|--------|--------------------|-----------------|
| 1 | <i>Equus ferus</i> | XXIV | G24; H24; G25; H25 | |
| 2 | <i>Felis sp.</i> | IIIa | G25 | 3007-3014, 2942 |
| 3 | <i>Lynx pardinus</i> | IVa | G24 | 3032-3051 |

Taula 11. Principals individus diferenciats durant la campanya del 2010.

6.2 CAMPANYA DEL 2011

6.2.1 Sector X-W1

El tram X-W es troba situat entre els 530 cm i 850 cm aproximadament de l'eix longitudinal de la GP, té una potencia aproximada de 110 cm i està format majoritàriament per una fina capa de sediment molt residual del que va ser el rebliment de la galeria GP. La part que actualment es preserva es troba adossada a la paret de la cavitat i està protegida per les irregularitats de la roca.

Aquest tram té una certa discontinuïtat en la part central a causa que manca el sediment, per aquest motiu hem individualitzat dues zones. La primera és el subtram X-W1, es troba adossat a la paret W de la GP i enguany s'ha decidit excavar-lo, millor manera de protegir-lo i garantir-ne la seva integritat. Aquest subtram alhora es troba subdividit en X-W1a: Correspon a la part sud del flan de la secció X-W1 i abraça dels quadres G21/F21/F20, mentre que el X-W1b: Correspon a la part nord de la secció.

Un cop realitzada aquesta divisió tècnica entre els diferents sectors del tram X-W1 hem procedit a netejar de manera superficial el sediment de restes de guano de color negrós que no han estat assignades a cap nivell les quals, tot que han estat garbellades no han estat guardades per contenir només restes d'avifauna actual i cap material arqueològic prehistòric o modern.

En aquesta zona, hem intervingut en els nivells XXV, I, II, i III, les actuacions sobre les quals les descrivim a continuació:

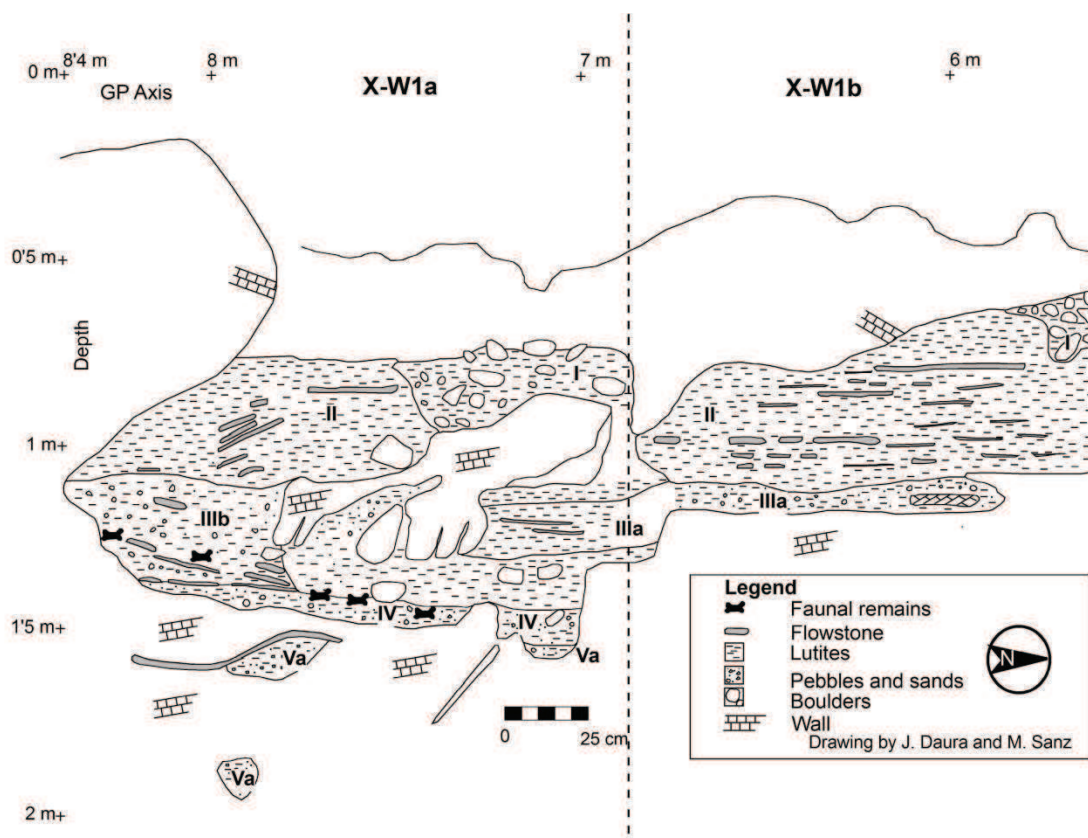


Figura 16. Secció X-W1 amb les subdivisions efectuades.

6.2.1.1 Nivell XXV

El nivell XXV ja va ser definit en les campanyes anteriors i es troba situat en unes cotes absolutes de -60 cm fins a -70 cm. Es tracta d'un nivell de color negrós molt orgànic amb presència d'argiles i carbons. El nivell es caracteritza per aquesta tonalitat obscura que es diferencia clarament de la resta de nivells I, II, III de color ocre i llimós compactat. El nivell presenta alguna grava intercalada i sembla que es trobaria situat per damunt del nivell I i que per tant correspondria, probablement a l'acumulació de sediment fruit de la utilització actual de la cavitat (tipus guano).

El nivell, de moment s'ha pogut delimitar entre l'eix del I23 fins al I25 però sembla que s'estén fins al final de la GP. En la part més testimonial de la GP, sembla que una segona línia de còdols es trobaria per damunt d'aquest nivell però roman per determinar. El nivell es troba molt solt i és esponjós, fet que en dificulta la seva preservació.

En aquest nivell XXV, durant la campanya del 2010 es va recuperar una resta de tap de cartutx de perdigó de caça (2593) i un fragment de ceràmica epicampaniforme decorada (2594).

Enguany, en el sector X-W1 s'han modificat algunes de les seccions ja realitzades, com la F22-H22, motiu pel qual cal modificar-les. En aquesta secció, s'ha documentat el nivell XXV, amb una gran acumulació de matèria orgànica, tot i que ha estat considerat com a XV/Remenat. La zona excavada correspon als quadres F21 i G21.

En el garbell del nivell XXV/Remenat dels quadres G21 i F21 corresponents al sector X-W1a han estat recuperades 3 dents humanes, una molar (3519), i dues canines (3520-3521). Es desconeix la procedència de les dents humanes. Probablement procedeixen del quadre F21, ja que del G21 la superfície excavada ha estat molt petita. En la llibreta de coordenats hem considerat aquestes restes com a F21.

6.2.1.2 Nivell Ib₂b

Subjacent al nivell XXV, ha estat documentada una línia blanca de carbonatació que hem definit com a Ib₂a, que correspon a una carbonatació que segella els còdols i que hem assimilat amb la resta de paviments que han estat excavats en les campanyes anteriors. Aquesta línia de carbonatació es troba a una cota de -73 cm de profunditat.

Aquest nivell presenta un lleuger cabussament cap al sud i es troba determinat en el quadre G21 i F21, amb unes dimensions màximes de 40 cm x 15 cm. Aquesta capa té aproximadament uns 2 mm de potència, és de color blanquinós. S'ha pres una mostra per analitzar (MMM-3426).

6.2.1.3 Nivell Ic

Subjacent al nivell Ib₂a hem considerat el nivell Ic que correspon als còdols subactuals i que ja ha estat definit en les campanyes anteriors. Es caracteritza per la presència de còdols i gravetes dins de matriu argilosa i de color marron. En aquest nivell apareixen materials ceràmics i en el sostre s'han documentat materials moderns (pila de petaca). Aquest nivell erosiona i rebenta el nivell II que en la secció dels 22 no s'ha documentat. Aquest nivell de graves es recolza en la paret calcària i també erosiona part del nivell III.

El nivell Ic, caracteritzat per la presència de graves, es troba erosionant el nivell II tant en el quadre F21 com en el G21, així com també es troba erosionat part del nivell III en la zona N del quadre F21 i en la zona sud del quadre F22.

El nivell I descansa, en la meitat sud dels quadres G21 i F21, sobre el nivell II i també sobre la roca calcària, la qual es troba situada a una cota de profunditat de -90 cm. En la meitat nord del quadre F21 el nivell Ic assoleix una profunditat major, reomplint els forats naturals de la roca encaixant, recolzant-se en la seva major part en la paret de la cavitat, a excepció de la zona de contacte amb el quadre F21-F22, en el qual rebenta també el nivell III. La cota màxima assoleix els -110 cm aproximadament.

Els materials localitzats en el nivell Ic (en XXV/Remenat no s'han coordinat materials) són moderns: quatre ceràmiques (2 modernes oxidants 3429 i 3430, una moderna vidriada 3422 i una teula 3422), un fragment informe de ferro (3432), una pila de petaca (3431), 2 fragments de vidre que semblen transparents però apareixen recoberts amb una capa d'òxid (3436 i 3443), dues petxines (3434, 3435), així com una resta de fauna de mesofauna i un fragment de pelvis (3428).

6.2.1.4 Seccions E-W i N-S(X-W1)

La secció E-W (F23-H23) ha estat iniciada en els nivells superiors durant la campanya d'enguany, ja que aquesta part no havia estat excavada fins al moment. El primer nivell documentat es el Ia, que està format per argiles de color marron amb palets i graves arrodonides de les platges pròximes, amb una potència de 10 cm i ubicat a una profunditat de -34 a -46 cm. Aquest nivell, en aquesta secció es troba recolzat en la paret calcària. El nivell II se situa entre els -70 cm i els -110 cm, caracteritzat per la presència de plaques de carbonatació amb una matriu argilosa de color marró obscur. Subjacent al nivell II, hi ha el nivell IIIa, amb una potència de uns 8 cm entre les cotes de -110 a -118 cm, de color vermellós, amb gravetes i algun carbó.

També ha estat dibuixada la secció W-E dels quadres F21-I21. De les campanyes anteriors estaven dibuixats els quadres H21 i G21, havent-se dibuixat en aquest darrer quadre la línia de la paret de la cavitat fins a una cota aproximada de -180 cm. A més a més ha estat dibuixat també el sediment que es troba adossat a la paret. En aquesta secció queden reflectits només els nivells II i XXV/Remenat. El nivell II es caracteritza per la presència, en aquesta secció, d'un gran nombre de plaques en una matriu argilosa de color ocre. En aquesta part de la cavitat el nivell presenta força potència, la qual oscil·la fins a un màxim de 80 cm. Les plaques, presents en tot el nivell, presenten una duresa i una potència majors a partir dels -80 cm aproximadament.

Per damunt del nivell II hem documentat el nivell XXV/Remenat, el qual l'hem considerat com a remenat per la presència de restes d'avifauna actual. En aquesta secció no es troba definit el nivell Ic (presència de palets arrodonits) que erosiona el nivell II en els quadres F21 i G21.

En el quadre F21 hem excavat en la seva totalitat el nivell II, el qual ha resultat pràcticament estèril com en la resta de la GP, a excepció d'algunes restes aïllades (2) de fauna que han estat coordinades. Els nivells superiors tant sols romanen en el reducte de l'esquerda de la paret W de la GP, on es pràcticament impossible excavar, en l'estat actual, el nivell. En aquesta part de la GP, el nivell II es troba completament cimentat a causa de la proximitat de la paret i de la gran quantitat de plaques horitzontals que hi ha. També hem pogut verificar que la part sud de l F21, que no estava assignada a cap nivell, correspon al nivell II i que fins al moment, sembla que en el F21, i en general, el X-W1a, la successió de nivells es la pròpia de la GP. L'excavació del X-W1a ens ha obligat també a modificar la secció original de la GP publicada al JHE, 2010.

6.2.1.5 Nivell II

Enguany, durant l'excavació dels quadres F21-F22, en el testimoni XW1a-XW1b, adossat a la paret, hem observat que la línia de carbons del nivell II que forma part de l'estructura de combustió desapareix lateralment. Les restes de carbons desapareixen gairebé completament a excepció d'algun carbó solt. Per aquest motiu hem considerat que en realitat el nivell IIIc (part del II) si que dal considerar-lo com a EC2 i que, per tant, és una estructura dins del nivell II i no pas un subnivell. Aquesta estructura quedaria definida on va ser descrita en la campanya precedent. D'aquesta manera, en la resta de zones excavades hem preservat el nivell IIIId/e per la base del II, tot i que en realitat sembla que en la base del G22 desapareix aquesta diferenciació. D'aquesta manera no hem mantingut com a IIIId/e en el G22 per la microfauna, tot i que el material que es recuperi caldrà considerar-lo com a IIb o de manera general com a II, que es el mateix.

6.2.1.6 Nivell IIIa (Quadres F22)

El quadre F22 s'ha finalitzat d'excavar enguany. Aquest quadre té la base ocupada només pel nivell IIIa en la zona en la qual ha pogut ser excavada i s'ha preservat sediment, ja que la resta del quadre que es troba a la base de la GP està erosionat. El nivell IIIa és molt pobre arqueològicament en aquesta part de la GP en comparació amb altres zones que ja han estat excavades.

El nivell IIIa està dominat per les restes de conill, de les quals hem coordinat només les mandíbules (3452, 3457, 3460) ja que les restes esquelètiques no aporten informació en quan a NMI en el registre de camp i la seva distribució en l'espai no és significativa. Tanmateix també hem recuperat alguns carbons de mides petites (inferiors als 0'5cm) a excepció d'un carbó de dimensions majors que hem decidit coordinar (3459) per possible datació o analítiques, en el cas que en el nivell no se'n recuperin mes. Tot i que el carbó té bones dimensions per datar, cal tenir present que tot el F22- IIIa es troba en una cornisa amb possibles problemes de percolació. Pel que fa a les restes de macrofauna aquestes són escasses i es troben en un estat de preservació gens òptim, molt desfetes i exfoliades, en un estat de weathering-5 (restes núm 3455-3458-3461).

D'aquest nivell, la poca potència que es disposa (2-8 cm) correspon amb la base estratigràfica del quadre, a una cota aproximada de -114 cm. Té la mateixa tonalitat vermellova que en la resta del nivell IIIa, tot i que es troba a una cota més elevada, que per exemple el I24. D'aquest nivell, alhora d'excavar-li-ho s'ha guardat mostra per rentar sediment al laboratori a causa de la gran quantitat de conills. En canvi, el contacte entre el IIb i el IIIa l'hem garbellat al jaciment i no ha esta guardada mostra per analitzar la microfauna.

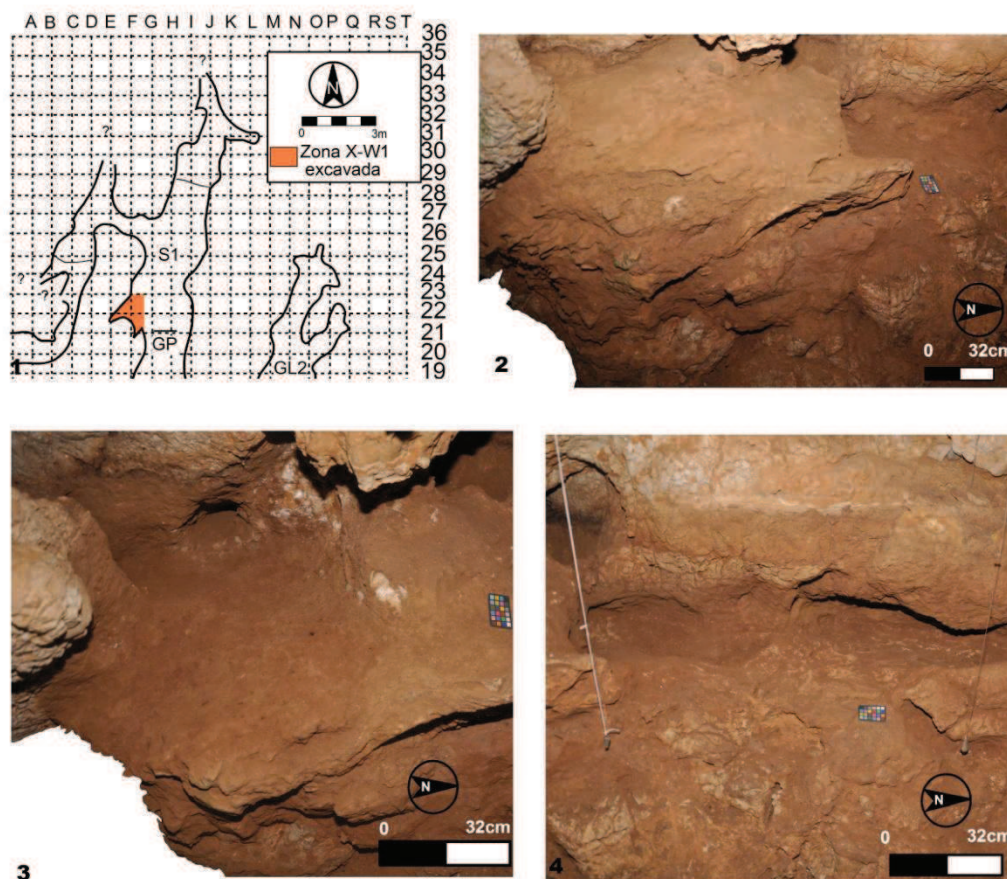


Figura 17. Treballs desenvolupats en el sector X-W1a. 1: Planta de la Cova del Gegant amb la zona intervinguda durant la campanya del 2011. 2: Estat inicial del quadre F21 en el nivell II. 3: Planta del nivell IIIa en el quadre F21. 4: Estat final del quadre F22.

6.2.2 Quadre G25

Enguany s'ha continuat l'excavació del quadre G25, on s'ha desenvolupat la intervenció més important de la campanya del 2011. L'objectiu en aquesta part de la cavitat ha estat el de la finalització dels nivells de la base de la GP, especialment del nivell IV i del V per tal de determinar les seves característiques i definir amb més precisió el nivell. Tot i això, el nivell V no ha estat finalitzat en aquesta campanya.

6.2.2.1 Nivell XXIV

De moment, en el quadre G25, encara es preservava residus del nivell superior (XXIV) en el qual durant la campanya del 2010 es varen recuperar restes d'un individu

pràcticament sencer d'*Equus (Individu 1)*. Enguany, durant l'excavació, en l'extrem nord del quadre s'han recuperat més restes de cavall del que formava part l'*Individu 1*. Aquestes restes han hagut de ser extretes abans de procedir a l'excavació del nivell IV. De la mateixa manera, en la secció nord del G25 amb el G26 ha romàs part de la pelvis que serà excavada quan es procedeixi a excavar aquest quadre.

En el garbell d'aigua d'aquest nivell s'ha recuperat una falange humana. Correspon al sediment del nivell XXIV, concretament al que es trobaria situat subjacent a l'individu 1. Desconeixem amb exactitud la procedència de la falange ni la zona exacte de procedència ja que varem excavar la totalitat del quadre. En aquest nivell, el sediment que es va recuperar de retalls i conilleres es va separar en el moment de la seva excavació. La coloració de la falange és força semblant a la del cavall.

6.2.2.2 EC4 (Estructura de Combustió 4)

En el quadre G25, s'ha documentat una zona amb terra cremada que es correspon a una estructura de combustió i que ha estat anomenada EC4, seguin la nomenclatura habitual en el jaciment. Aquesta estructura es troba per damunt del nivell IV, i s'inclou dins del XXIV. Tot i això, cal dir que la base de la EC4, tot i que es recolza dins del nivell XXIV, en algun indrets la separació amb el nivell IVa és pràcticament mil·limètrica.

La EC4 se situa, per una banda, en la part nord-oest del quadre G25 i per l'altra al nord de G25. Es podria tractar de la mateixa estructura en part erosionada en la part central, potser per una conillera, tot i que aquesta no ha estat documentada. La part que es desenvolupa paral·lela al tall F/G-25 té forma semicircular. A partir del registre del 2010 hem vist que les diferents conilleres rebenten l'acumulació de terra cremada. Aquesta és una capa molt fina que no supera 1 cm de potència. Presenta diferents coloracions vermelloses i negres, la fauna que s'ha documentat és fonamentalment conill que apareix cremat, algun copròlit força desfet i restes de carbó.

L'excavació de la part central i nord de la EC4 en contacte amb el quadre G26 presenta major potència, mentre que en la resta del G25, la EC4 presenta menor potència estratigràfica.

L'estructura ha estat registrada amb el procediment habitual en prehistòria (planta i secció) a més del registre fotogràfic. De la mateixa manera, per tal de poder registrar la EC4 i poder solapar les fotografies amb la part de la estructura que es troba en el tall del

F/G 25 en la Gatera de la Cova Llarga hem situat dues xinxetes que es troben ubicades en la planta del G25 per tal de superposar les dues fotografies.

Al delimitar la part visible de la EC4 en el quadre G25, en la part sud de la mateixa, es preserva un testimoni de textura similar al nivell XXIV encara que una mica més endurit i vermell, pel que ha estat considerat com a sediment que pertany a la part superior de la EC4, encara que es perd cap al nord (4065). Un cop delimitada la EC4 amb la taca negra de carbons en la seva extensió màxima i la zona de sediment rubefactat més vermellós, ha estat dibuixada la EC4 en planta i s'inclou en la secció dels F, a més de fotografiar-se. Posteriorment hem realitzat també una secció transversal de la EC4 a y=70 on s'observa l'estratigrafia.

Quan s'excava la EC4 un cop esgotat el nivell IVa en la resta del quadre, s'observa que el testimoni de terra cremada vermellosa del sector sud del quadre G25 de la EC4 es troba format en la seva part superior per una placa carbonatada del nivell XXIV que forma part també de la EC4. Aquesta placa ha estat recollida en la seva totalitat (núm 4066).

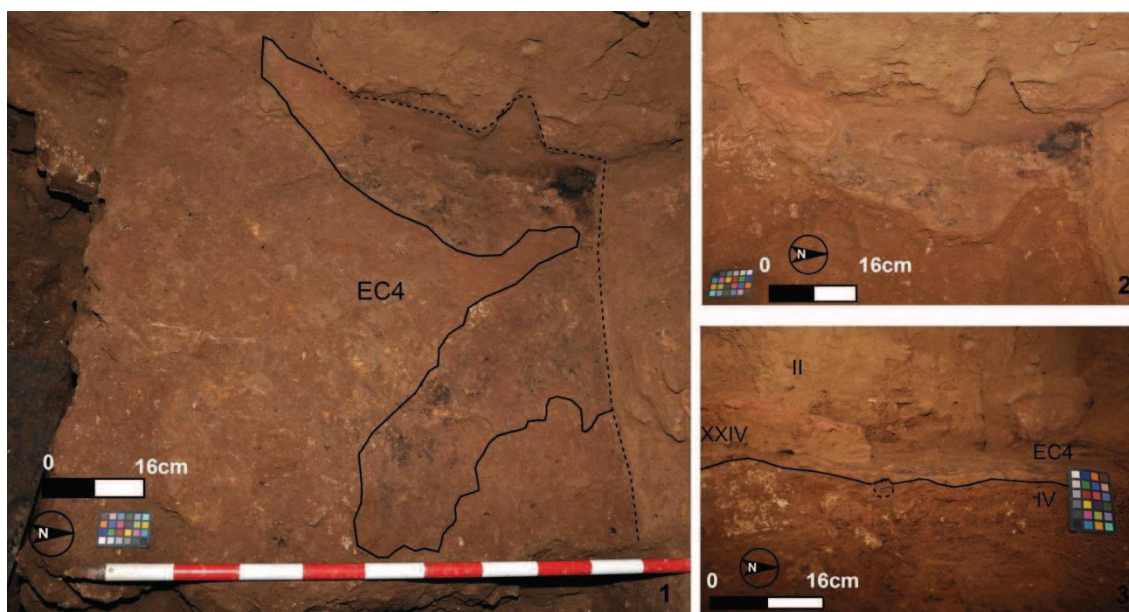


Figura 18. Estructura de Combustió 4 (EC4): 1: Planta general amb els límits de la EC4. 2: Detall de la EC4. 3: Secció N-S de la EC4.

6.2.2.3 Mostres EC4

En aquesta EC4 hem pres una mostra de terra cremada que correspon a la OSL-21 (núm. 3449). La EC4 té una potència de 1 cm, motiu pel qual les mostres de OSL poden

estar alterades per la presència de contaminació residual del sediment procedent del nivell XXIV on es troba la EC4 i on no hi ha combustió. També de la EC4 hem pres diferents mostres de sediment rubefectat (3450), donada l'escassa potència de sediment, aquestes mostres han estat consolidades amb sediment que no es troba rubefectat.

Del nivell IVa hem pres mostres de la EC4 (3581/2/3/4). De la EC4 han estat recollides també mostres de sediments a mode de columna sedimentaria en el quadre G25 dins de la EC4. Aquestes mostres contenen part de la EC4 i dels nivells XXIV i IVa-subjacentes, per realitzar analítiques. A causa de les condicions del jaciment les mostres han estat extretes mitjançant prèvia consolidació amb Paraloid B-72 per tots els costats en unes coordenades aproximades de X=20 Y=90 Z=-158/-163 cm (Núm. 3642).

6.2.3 Nivell IV

El nivell IV, en la primera excavació, hem documentat que es de color vermellós molt intens amb presència de zones rubefactades en el sector NW del quadre G25. En la part superior de l'excavació del nivell amb contacte amb el subjacent s'observen alguns fragments de fauna cremada molt petits, alguns dels quals corresponen a restes de lepòrids. També hi ha restes de fauna molt desfeta sense cremar i alguns fragments de copròlits.

En la subunitat IVa hem registrat diverses restes de carnívors, les quals podrien correspondre a un sol individu de *Lynx*. Han estat recuperades diferents falanges, situades molt pròximes entre si, i que podrien ser del mateix individu. Per una banda la F1/F2/F3 (3511, 3512, 3513), F2-F3 (3514-3515). Igualment hem recuperat diferents vertebres, molt properes, que podrien correspondre també a aquest mateix individu (3504-3487) i un astràgal (3587).

El subnivell IVc presenta un nombre elevat de graves i els materials es troben força malmesos, amb un alt grau d'exfoliació, alguns dels quals de difícil determinació. Hi ha també forces copròlits tot i que també força fragmentats i desfets.

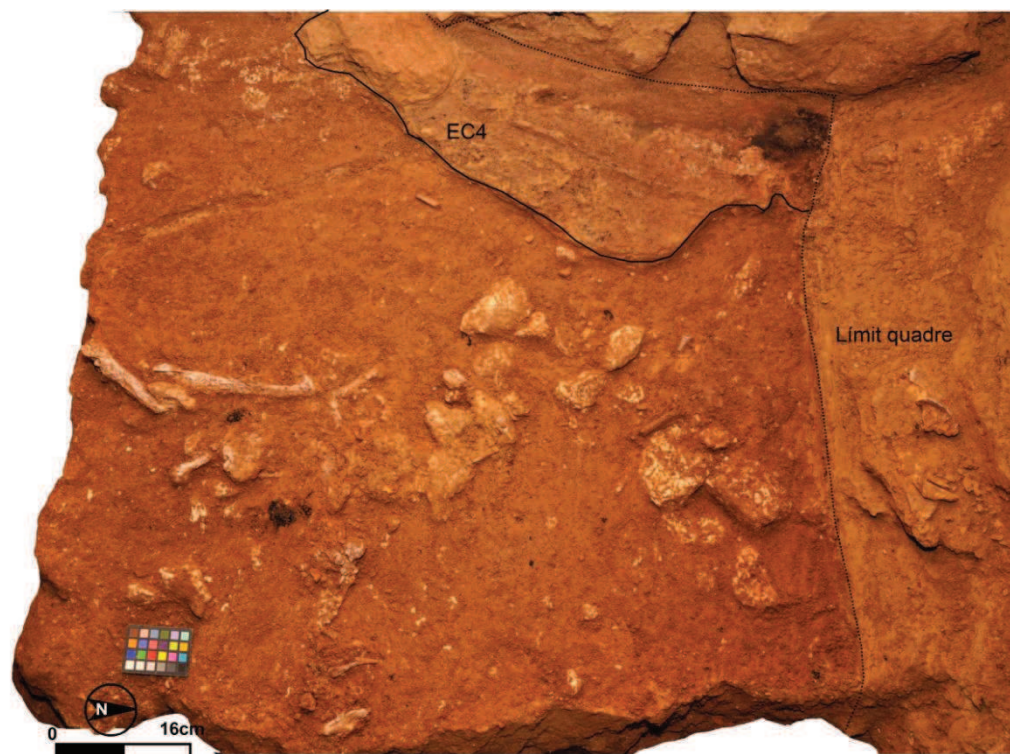


Figura 19. Planta de l'excavació del nivell IV en el quadre G25 de la Cova del Gegant durant la campanya del 2011.

6.2.4 Nivell V

Un cop finalitzada l'excavació del nivell IV en el quadre G25 s'ha observat que part d'aquest es troba en certa manera recolzat dins de les depressions que forma el sostre del nivell Va a causa de les conilleres subjacents i probablement també per l'erosió. Així que l'estat inicial del subnivell Va no és completament horitzontal per aquest fenomen.

El sediment de contacte entre el Va-IVa l'hem garbellat en el jaciment i no hem guardat mostra per a la microfauna de la mida de gra més fina. Tanmateix el contacte entre Va i IVa no ha proporcionat gairebé material. Del sostre del nivell Va, un cop delimitat s'ha fotografiat en el seu estat inicial.

6.2.4.1 Nivell V- Redefinició

El nivell V és molt difícil d'excavar i delimitar-ne les diferents subunitats que presenta, tot i que a nivell de restes de materials sembla molt homogeni i pot ser tractat pràcticament com la mateixa unitat.

A partir del tall W-E dels 25-26 que s'ha obtingut a la finalització de la campanya del 2011, es poden redefinir i precisar les característiques del nivell V en aquesta part de la Cova del Gegant, a partir de les quals caldrà basar-se en les futures excavacions.

Tota aquesta descripció dels subnivells del V no queda clara en la secció N-S dels 24/23 ja que la caiguda de blocs i les conilleres de la base no deixen veure el comportament N-S dels subnivells de V.

6.2.4.1.A Subnivell Va

El subnivell Va correspondria al sostre del nivell V, i en principi, no presenta cap tipus de confusió en la seva identificació. Aquest es troba en cotes, entre -169 cm /-174 cm aproximadament en funció del pendent. Aquest subnivell Va és el típic nivell V, de fangs obscurs pastosos i amb presència d'alguna grava depenent de la seva ubicació. Aquest subnivell es trobaria subjacent al IVa i sobrajacent al Vf.

Pel que fa les restes materials gairebé no presenta copròlits, si en canvi moltes restes de fauna d'uns 2 cm de longitud de mitjana i enguany hem recuperat alguna peça lítica en el quadre G25.

6.2.4.1.B Subnivell Vf

El subnivell Vf correspondria al nivell "nevat", al sostre del qual hi ha una línia vermella que s'ha considerat com a Vf₄ i que separaria el subnivell Vf del Va. Aquest subnivell Vf es caracteritza per la presència de punts blancs i en el costat W del quadre H25 es documenta una carbonatació o encrostatament fixat a la paret que marca aquest "nevat". Aquesta carbonatació lateralment desapareix en direcció W a causa del seu allunyament de la paret. El quadre G25, emmascara la successió dels subnivells del V a causa de la major acumulació diferencial de gaves, que sembla que es deu a un fenomen local i no a un canvi de nivell. Aquest subnivell es troba entre unes cotes de -174 cm i -182 cm de profunditat com a mitjana, tot i que el subnivell és molt irregular i el seu límit tant inferior com superior és difús, fet que comporta la seva confusió.

6.2.4.1.C Subnivell Vf₄

Com a subnivell Vf₄ es considera el nivell vermellós per sobre de la carbonatació del XXIXb i subjacent a Va, però no va ser definit en les campanyes anteriors. D'aquesta manera es decideix diferenciar el Vf₄, mentre que per sota d'aquest nivell, tant el quadre H25 com G25 apareix, el subnivell Vf "nevat".

6.2.4.1.D Subnivell Vg

El subnivell Vg, de moment el seguim utilitzant pel nivell V en la seva base de la Galeria Principal en la seva zona d'excavació. Aquest subnivell se situaria entre els -182 cm i la seva base, aproximadament a -195 i a -200 cm per al quadre H25 en la campanya del 2011. El límit superior és difús, ja que els punts blancs del nivell superior o Vf desapareixen gradualment. És un nivell irregular de textura compacta en algunes zones (majoritàriament) i més solt en altres. El nivell continua essent format per fangs obscurs, més negres que el Vf i molt similar al Va i presenta palets petits i angulosos. Dins el subnivell sembla que es podria definir una línia de copròlits que podria correspondre al XXIXc del quadre G25, tot i que roman per definir.

Aquest subnivell Vg, si que presenta força copròlits i fauna fragmentada a base d'estelles.

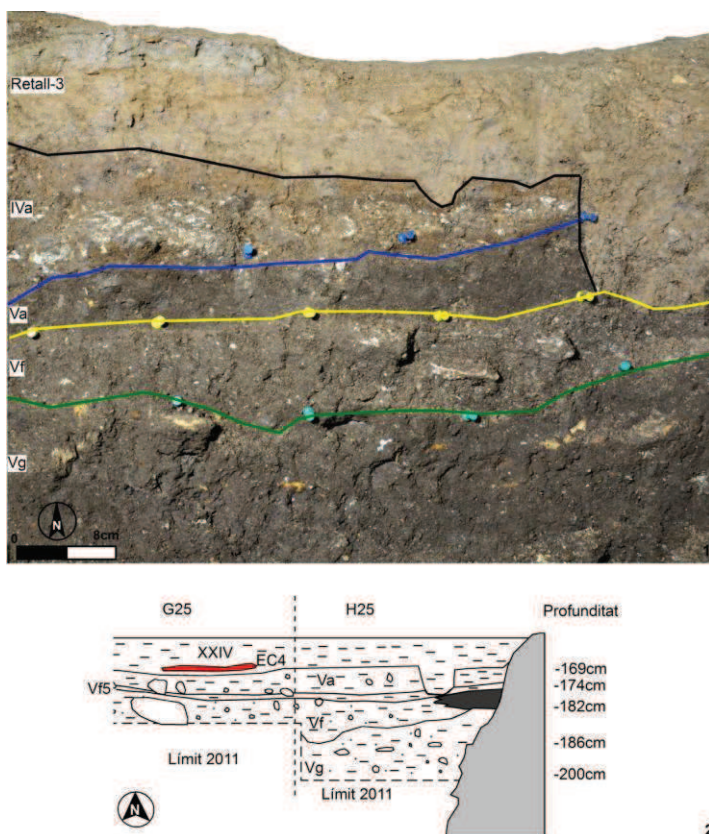


Figura 20. Tall Estratigràfic del nivell V: 1: imatge. 2: Croquis.

6.2.4.2 Nivell V- Excavació

6.2.4.2.A Subnivell Va

Durant la campanya del 2011 el nivell Va s'ha iniciat l'excavació del quadre G25 a una cota superior de -161 cm. El sediment d'aquest quadre i en general del nivell V ha estat guardat per garbellar al laboratori, tot i que en el jaciment s'ha realitzat un tamisat en sec per tal de poder situar les restes procedent del garbell.

El sediment del nivell Va en el quadre G25 es caracteritza pel color marró molt obscur típic i quasi negre, amb una textura argilosa i solta. En aquest nivell s'han documentat aproximadament un 10% de palets angulosos d'entre 3 i 10 cm similars als que han estat documentats també en el nivell IVa. A més, en el sector W del quadre, s'ha documentat també una sèrie de blocs i palets de grans mides que han estat dibuixats en planta.

En aquest nivell han estat documentades també la presència de conilleres i estructures negatives per animals excavadors. D'aquestes destaca la Conillera 1 (3620) que està formada per una conillera principal que travessa tot el quadre de N a S junt a una sèrie

de ramificacions de menor diàmetre, tot aquest sistema que forma la Conillera 1 ha estat dibuixat en planta. El sediment de la Conillera 1 (3620) ha estat guardat per separat i s'ha garbellat en el jaciment.

En el quadre G25 el límit inferior del subnivell Va s'aprecia clarament per la presència d'un sediment de tonalitat més vermellosa i amb una gran profusió de palets de mida petita, lleugerament majors que en el subnivell Va. Aquest subnivell correspondria al Vf definit en la campanya anterior. La divisòria entre el Va i l'inici del Vf estaria al voltant del -175 cm aproximadament ja que el nivell cabussa cap al NE.

El material recuperat en el quadre G25-Va es basa en la seva majoria en estelles de macrofauna indeterminables (3630/3634/3641/3652/3665/3673...) entre unes cotes de -165 fins a -172cm.

També s'han recuperat únicament 3 copròlits (3636/3664/3693), encara que excavant hem documentat en algunes ocasions fines làmines de color groc que tenen la mateixa coloració i textura que els copròlits, però que han resultat irrecuperables.

A una cota de -165 cm i en coordenades x=41 i y= 36 s'ha recuperat una resta d'indústria lítica realitzada sobre sílex amb unes dimensions de 5x3 cm.

També cal assenyalar que en aquest nivell Va s'han recuperat diferents restes que corresponen a dentició d'herbívor en mal estat de preservació (3640/3655/36656/3657/3658), a excepció d'un fragment de M/P inferior d'Equus (3637) que s'ha recuperat en un bon estat de preservació. La part superior està força fragmentada, pel que s'ha consolidat aquesta part. Per tant d'aquesta peça es poden extreure mostres per analítiques ja que en la part oclusal no s'ha consolidat. També s'ha recollit mostra de sediment de l'entorn per contrastar l'anàlisi.

Cal destacar també un fragment de crani (3660), un tibio-trars d'avifauna (3653), 2 fragments de closca de tortuga (3683/3686). Pel que fa als carbons, hem recuperat escasses restes de MCV, normalment de mida molt petita. Per altra banda, les restes de lepòrids són escasses en aquest subnivell.

En el nivell Va en el quadre G25, no hem observat canvis destacables a excepció de la presència de petits canals produïts per l'activitat de conills o rossegadors en la part superior i mitjana del subnivell així com la gran conillera del subnivell XXVIII (z=-174/177) que es considera com a Conillera-3 i l'assignem com a coordenada 3779.

Pel que fa al material recuperat en les cotes inferiors del subnivell Va, les restes segueixen la mateixa tònica que en les cotes superiors, una gran quantitat d'estelles de macrofauna i un augment considerable de fragments de dentició de macrofauna (3717, 3719, 3734) i de cèrvids (3718, 3731) així com algunes restes de vèrtebres de macrofauna (3751, 3713).

Per altra banda, cal destacar dos fragments d'ossos llargs que es troben en un millor estat de conservació, un fragment d'epífisis distal de fèmur de carnívor (3763), un fragment d'epífisi distal Mt/Mc d'Equus (3772).

6.2.4.2.B Subnivell Vf

En el quadre G25 hem excavat el subnivell Vf, subjacent al Va, i hem observat que entre els dos subnivells s'observa una lleugera línia ataronjada que els divideix. Aquesta separació sembla que lateralment es perd (sentit E) o es trobava més difusa, probablement en funció de la major o menor presència de carbonats dels nivells inferiors.

En el quadre G25, a l'excavar el subnivell subjacent al Va podem confirmar que es tracta del mateix subnivell que el Vf que es troba descrit en la campanya del 2009 i del 2010 en els quadres G24 i H24 en que es definia el nivell Vf com ataronjat.

Tot i això, el subnivell Vf, a diferència del subjacent Va, presenta una major acumulació de graves, encara que semblen ser de mida major en el sector N i W del quadre, precisament en la zona més propera a la paret. Hem recuperat 3 mostres de sediments del nivell Vf del quadre G25 per tal de definir el sediment i realitzar les analítiques pertinents (3786-3788). En el contacte entre el Vf i el Vg han aparegut clastes d'argila que hem recollit com a mostra (3793-3796).

Després de la redefinició del nivell V en el quadre G25, el nivell Vf el documentem a una cota de -178 cm aproximadament en el costat SE, caracteritzat per la seva coloració marró obscura, gairebé negra, i per la granulació de carbonats blancs. En la resta del quadre es segueix aquest nivell i apareix en cotes una mica més baixes (180 cm aprox.) pel que sembla que el nivell cabussa cap al N. A més, el canvi de color, en el sector central i NE es menys evident i s'emmarca amb el Vf₄, encara que texturalment desapareixen gairebé per complet les graves petites característiques de Vf₄.

Si observem la planta del Vf₄/Vf en el quadre G25, la característica del nivell Vf en aquest quadre, és que es troba subjacent a la línia ataronjada ja que la presència del “nevat” és molt difícil d’apreciar en planta. En el quadre G25, aquest nivell Vf presenta, a més, un conjunt de copròlits delimitat com XXIXc en el sector SE (x=45/80; y=-15/15), la Conillera 3 que uniria el quadre en el sector est, i el retall 4 en la cantonada NW.

El registre del nivell està format fonamentalment per fragments d’estelles (3827/3831/3844/3921/3922), diferents fragments de dentició de macrofauna que pel seu estat de preservació no poden ser determinades (3906/3958/3959), diferents copròlits que pertanyen al Vf o al XXIXc (4036/4037/4030/3987), així com dos fragments de pissarra que han estat recollits (3822/3986), i una dent superior d’*Equus* (4039). En el quadre H25 ha estat recuperat també una mandíbula humana infantil (3131) i diverses falanges.

La textura i la composició del Vf en aquest quadre es similar al del H25 de la campanya del 2010, color marró obscur, gairebé negre, “nevat” i sense graves.

A la base del G25-Vf hem documentat una placa de carbonatació bastant gruixuda (2 cm aproximadament), de color grisosa i molt dura. En un primer moment en la cantonada sud-est, en una cota de -193cm, però sembla que es ressegueix i que cabussa, des de -188 cm. En la resta del quadre es segueix rebaixant per tal de determinar aquesta carbonatació, la qual, en la zona nord, es delimita a una cota de -192, tot i que en el moment de finalitzar la campanya, sembla que aquest encrostament no es troba en la totalitat del quadre ja que encara es troba part del nivell Vf per excavar. Per tant, la placa gris de la base del Vf es irregular en la seva superfície, encara que pot ser a causa de l’enfonsament per les conilleres subjacents.

Al moment de tancar la campanya del 2011 el quadre G25 en el sector est es troba en la Conillera 3 (XXVII), buidada del reompliment i se situa en planta i secció, en el sector sud ja s’ha assolit la base del Vf (placa gris) i que es correspon probablement amb el Vg.

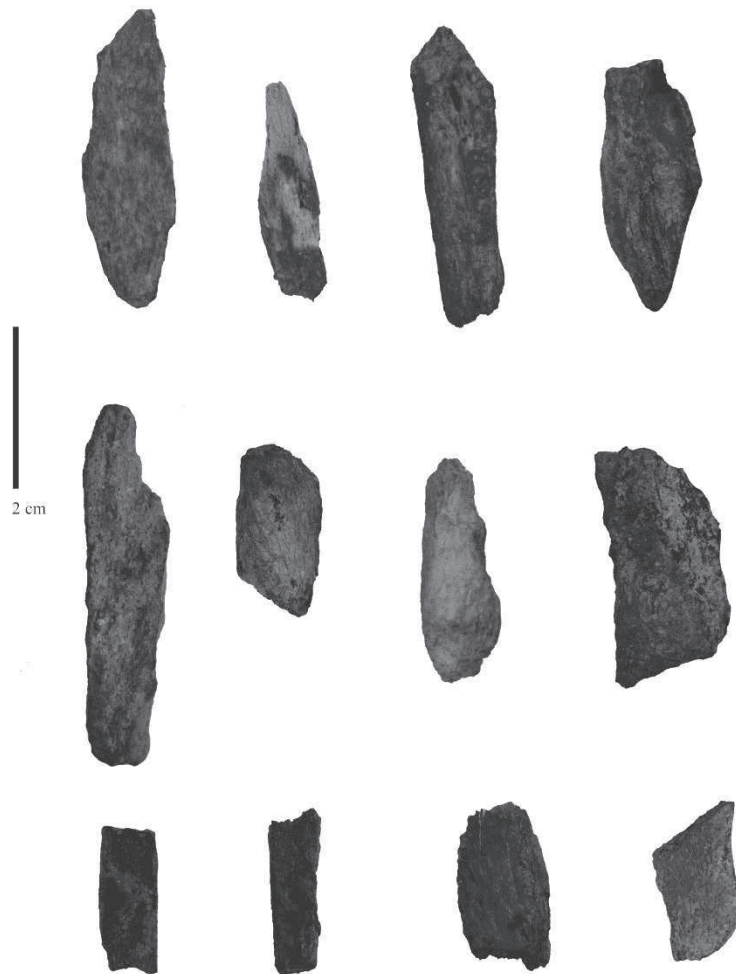


Figura 21. Estelles procedents del nivell V.

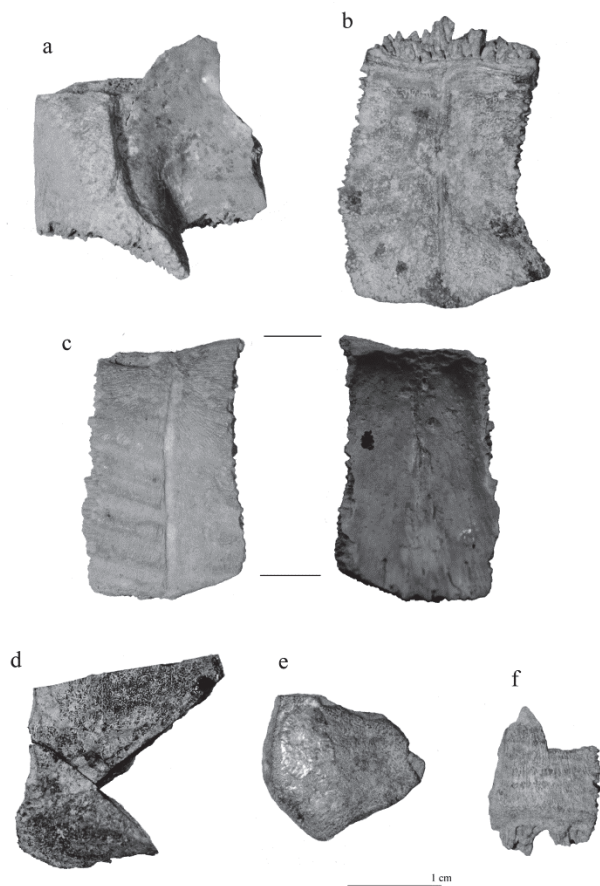


Figura 22. Restes de *Testudo* procedents del nivell V de la Cova del Gegant.

6.2.5 Retall 4

En el nivell Va hem documentat un possible retall que ha estat anomenat Retall-4. Aquest retall se situa a la part oest del quadre i es troba reomplert per blocs de calcària. L'inici del retall es troba en el nivell Vf i no s'ha pogut documentar, encara, la part inferior. La part superior està coberta per blocs de mida grossa, com el 3770, mentre que per sota dels blocs semblen més reduïts. Aquesta cota superior del 3770 és de -163 cm (nivell IVa) mentre que la cota superior d'un segon bloc se situa en els -153cm. Fins al moment no hem pogut documentar tota la profunditat ni extensió d'aquest retall ja que continua en el quadre F25. Igualment només sembla localitzar-se a la part central oest. Les característiques d'aquest retall són que es troba excavat en el Vf, per tant està reomplert pel Va, i se situa en $x=40$, $y=20$, $z=-169$ cm; $x=60$ $y=49$ $z=-172$ cm; $x=75$ $y=70$ $z=-170$ cm. El sediment del Retall-4 es força semblant al Va, tot i que no es tan esponjós i aparentment sembla que té més sorres.

Del Retall-4 hem recollit una mostra de sediment (3778). La coloració és gris fosc, gairebé negre. Aquest retall no presenta material arqueològic, exceptuant algunes estelles de mida petita no coordinades. La cota inferior no s'ha pogut establir ja que el no s'ha finalitzat d'excavar aquesta campanya. A la planta hem marcat una cota -179cm tot i que serà inferior a aquesta profunditat.

El bloc 3770 es troba dins d'aquest Retall-4, amb una pendent de 18° cap a 40°. Subjacent a aquest bloc hem documentat sediment llimós marró-ataronjat molt semblant al que reomple les conillerses, pel que s'ha separat com a conillera. De fet, la conillera 3620 està molt propera, pel que podria ser la mateixa.

A la base, el farcit del Retall és similar al descrit anteriorment, tot i que cada vegada resulta més complicat distingir-lo, ja que a mesura que el nivell Vf₄ es torna més obscur amb contacte amb el Vf es confon amb facilitat. El farcit presenta un major nombre de graves de mida mitjana, entre 5 i els 15cm que queden la majoria en el tall Y=G.

6.2.6 Quadre H25 Vf/Vg

Hem iniciat l'excavació del quadre H25 en el nivell Vf tal i com havíem finalitzat la campanya del 2010, l'esglaó corresponent al nord del quadre H25. L'excavació ha consistit en aproximadament uns 30 cm d'aquest quadre, entre l'encrostament del nivell Vf (z=-170 cm) i una cota de z=-200 cm aproximadament. Tot aquest paquet, a excepció de la zona situada a una cota aproximada de -115 a -200 cm l'hem considerat com a Vf a causa de la impossibilitat de poder distingir els nivells per dur a terme l'excavació en planta. D'aquesta manera doncs, s'ha considerat tot dins d'aquesta unitat.

Durant el procés d'excavació les restes recuperades han estat, en general, escasses en número i també en l'estat de preservació. Així, tota aquesta zona l'hem considerat com a Vf. La dinàmica de les restes és la mateixa que en la resta del nivell V i que la resta de quadres, com el G25.

Hem documentat un nombre elevat d'estelles de mida molt petita, que corresponen a ossos llargs fracturats així com nombroses restes de copròlits, alguns dels quals preserven encara la seva morfologia, mentre que d'altres no la preserven. Els fragments molt petits de copròlits, tipus inferior als 2 cm els hem recollit en una bossa de nivell ja que la seva distribució en planta no ens aporta cap tipus d'informació.

En aquest quadre, la major part de sediment s'ha tamisat en sec en el mateix jaciment, per tal de recuperar les restes més significatives i la resta de sediment s'ha transportat al laboratori per rentar-lo de nou. Tot i això, la zona més propera a la paret est es decideix garbellar-lo al mar i no guardar la mida de gra més petita. Dins del sediment guardat s'ha considerat tot com Vf però en realitat correspon a part del Vf i del Vg, ja que en planta no ha estat possible seguir el nivell.

També volem assenyalar que els carbons recuperats i coordinats per datar, es troben per sota del nivell Vf, tot i que s'ha considerat com a tal. Finalment assenyalar que sembla que es defineix una línia i nivell d'acumulació de copròlits que es pot resseguir al llarg del tall N dels 25 als 26 en el quadre H25 i que podria correspondre a l'acumulació del nivell XXIXc o la latrina d'acumulació de copròlits del nivell XXIX del H25. Per això serà necessari projectar el material, especialment els copròlits, per tal de definir si es pot establir un horitzó. Aquest nivell d'acumulació de copròlits vist en la secció WE dels 25/26 es troba subjacent al nivell Vf.

La part del quadre excavada no es troba afectada per conilleres, a excepció de la conillera N-S que descorre per la divisòria dels dos quadres excavats en el V, el H25 i G25. Un petit conducte realitzar per un rosegador ha estat documentat en la part central del quadre, buit i sense sediment.

6.2.7 Nivell XXIX

El nivell XXIX ha estat utilitzat per definir els diferents moments d'encrostament que hi ha en el nivell V i que fins al moment no tenen connexió entre si.

XXIXa. El subnivell XXIXa es troba definit en el quadre I25/I24 i se situa subjacent del IVa o del Remenat-IVa, tot i que en direcció sud, sembla que part d'aquest encrostament podria trobar-se en dins del nivell Va. Es tracta d'una carbonatació de color ocre, molt semblant al nivell II (z=-149 cm).

El XXIXa es troba molt localitzat en el quadre I25/I24, sota la cornisa del sostre. Tot i això aquest nivell o encrostament es troba afectat i rebentat pel Retall-3, la Conillera-4 i la Conillera-2 que donen discontinuïtat al subnivell. Aquest també es troba afectat pel sondeig del 1988 i probablement per la Sitja que retallaria tot el reducte del I25/I24.

XXIXb. Aquest encrostament correspon, a partir d'ara al del quadre H25, que va ser excavat en la campanya del 2010. Hem recollit mostra força semblant al que s'ha documentat en el XXVII, aquesta presenta clarament pendent a W i se situa per damunt del Vf.

Les cotes són aproximadament de -170 cm i de moment reduïda en l'extrem NE del quadre H25 (z=-163 cm)

XXIXc. Com a nivell XXIXc va ser definida inicialment una possible carbonatació durant el 2010 en el tall G24/G25 (veure secció). Se situa entre x=30-75 i a una cota de -182c m. Enguany ha estat excavat i es correspon a una acumulació de copròlits caracteritzar per la presència de copròlits de grans mides, com els documentats en els quadres H25 (3920, 3923, 3951, 3952, 3953, 3954, 3955, 3962, 3965, 3967, 3971, 3977, 3979). Sota els copròlits hem documentat alguns carbons en el quadre H25

6.2.8 Nivell XVI

En els quadres I25/I26 hem detectat a la base part del sediment ataronjat intern estèril que es troba documentat també a la GL1, en la seva base, en concret subjacent a la Conillera 5 i 6 i també al nivell Vf₅. Es tracta de lutites sense sorres ataronjades i la descripció realitzada pel nivell XVI de la GL1 pot ser utilitzada.

6.2.9 Quadre I24-I25

En els quadres I24-I25 hem decidit deixar un testimoni entre les cotes de x=50/80 i a partir de y=70cm. En aquest testimoni els nivells que romanen per excavar son XXV, II, IIIa,IVa, XXIV, Va2, Conillera 5 i Vf₅. La resta dels quadres I24 i I25 s'han excavat en dos trams separats per la cornisa que forma la paret est de la GP, i que hem anomenat Testimoni superior i Testimoni inferior.

6.2.9.1 Testimoni superior

El Testimoni superior del quadre I24/I25 es correspon a part del nivell XXV que es troba adossat en la paret est de la GP. Enguany s'han recuperat algunes restes humanes, com un peroné (3547), un cap de fèmur desepifitzat (3548) i una costella (3544), així com algunes estelles de fauna o humanes pendents de determinar.

Aquest nivell XXV correspondria també amb el que es va excavar fora de la cornisa i que en el quadre I25 va proporcionar 3 fragments de ceràmica de l'Edat del Bronze.

Cal afegir també altres restes humanes com una d-I (3550), un fragment de falange (3551), i 3 fragments de ceràmica brunyida (3554 i 3556) de es quals una es una vora (3556), així com una petxina (3557) i restes de microfauna que s'ha recuperat en el garbell.

6.2.9.2 Testimoni inferior

En el testimoni inferior, enguany s'ha intervingut en els nivells II, III, XXIV, XXVII, IV i V.

6.2.9.2.A Nivell II

En el quadre I25-I24 hem seguit excavant tota la part del tram superior de la GP que formen part del nivell II/IIa, format per una matriu lutítica i plaques, on no s'han recuperat pràcticament restes de fauna a excepció d'algun fragment d'os esporàdic que no ha estat coordinat. Aquest nivell ha estat garbellat directament al jaciment amb aigua i no s'ha guardat sediment per la microfauna ja que és pràcticament estèril. El quadre s'amplia cap a l'est a causa de la morfologia de la roca de la GP i assoleix pràcticament una X=0-100cm.

L'excavació d'enguany té l'objectiu de finalitzar l'excavació del quadre I24, especialment el testimoni que va romandre per excavar la campanya anterior. Per aquest motiu hem iniciat l'excavació en el nivell IIIe, subjacent a la línia de carbons del nivell superior. Aquest nivell no presenta restes materials, no s'ha coordinat absolutament res. Tant sols hem documentat algunes restes de carbons molt petits, que hem decidit guardar i no coordinar. També hi ha algunes restes de conills que han estat recuperat dins de la bossa general del quadre.

Un cop finalitzat aquest nivell, es procedeix a excavar el nivell IIIa, que es la primera línia vermella, en principi, amb restes de fauna, carbons i copròlits.

6.2.9.2.B Nivell IIIb

En aquest nivell hem determinat una capa molt fina de terra cremada, d'uns 15x8 cm. La seva situació aproximada és de $x=20$ i $y=30$ cm. Aquesta zona de sediment rubefectat podria estar en relació amb les restes de les mateixes característiques determinada en la zona de la Sitja i al sondeig del 1988.

6.2.9.2.C Nivell IIIa

En el quadre I24 s'ha excavat el nivell IIIa, subjacent al IIIe. Es tracta d'un nivell de coloració vermellosa, bastant argilós i amb presència d'alguns palets. Aquest nivell presenta algunes pasades més argiloses. El nivell comença a una cota aproximada de -129 cm i s'estén per la totalitat del quadre, adossant-se a la paret.

En aquesta part de la cavitat el nivell IIIa es caracteritza per la presència molt significativa de copròlits i també per la presència de carbons. En aquest nivell apareix un número força elevat de restes de fauna, especialment conills, encara que no apareixen restes de cranis ni de mandíbules (tant sols ha estat recuperada una mandíbula-3623).

El número de copròlits del I24 ascendeix fins al moment a 47 restes. La majoria han estat consolidats amb Paraloid B72 i molts d'ells han estat recuperats com informes, mentre que d'altres conserven la forma original. De tots els copròlits recuperats, un d'ells és de mida considerable i es considera òptim per analítiques (COP-3628). Aquest copròlit ha estat consolidat només en un dels seus extrems (a la punta).

En aquest mateix nivell IIIa també s'ha recuperat un carbó per datar el qual no ha estat consolidat (3625).

El sediment del nivell IIIa del I24 ha estat recollit en bosses per rentar al laboratori donat la densitat de restes, a excepció del sediment més proper a les parets de la cavitat, que es recull per garbellar en el jaciment.

Cal destacar que a la cota -135 cm, els copròlits deixen d'aparèixer, almenys en la mateixa quantitat que fins al moment.

En el nivell IIIa del quadre I24 ha estat documentat també la epífisi proximal d'un húmer (3651) i una estella (3650).

6.2.9.2.D Nivell XXIV

En el quadre I24,a una profunditat de -139 cm hem determinat el límit superior del nivell XXIV, que apareix immediatament després del nivell IIIa. El nivell XXIV es caracteritza per una coloració ocre i està dominat per una matriu argilosa. Té una potència en aquest quadre d'entre 4 i 6 cm aproximadament. Aquest nivell XXIV ha estat fotografiat en el seu estat inicial en el quadre I24, també s'ha fotografiat el conjunt dels quadres I25/I24. Aquest nivell, juntament amb el II i el III es troba afectat pel Retall-3, apareixent directament el nivell IVa.

Aquest nivell XXIV es troba representat en la secció N-S dels I juntament amb el IV, el V i l'encrostant del XXVII. El nivell XXIV s'ha tamisat en el propi jaciment.

6.2.9.2.E Nivell XXVII

En el testimoni del quadre I24 s'ha excavat el contacte entre el nivell XXIV–IVb, on s'ha documentat un encrostant anomenat XXVII. Aquest encrostant només està determinat en aquest testimoni. Per sota d'aquest nivell es documenta el IVa a tot el quadre. L'encrostant se situa a una cota aproximada de -144 cm a partir de la $y=65$ i $x=0$. En la secció N-S dels I, no s'havia reconegut l'encrostant, el qual s'ha afegit en posterioritat.

6.2.9.2.F Nivell IVa

A una cota compresa entre -144 cm i -150 cm finalitza el nivell XXIV i es documenta el subnivell IVa. El sediment recuperat en el moment de la delimitació del nivell IVa ha estat tamisat com a contacte entre XXIV i IVa i rentat en el jaciment.

En el sostre del nivell IVa es documenten palets angulosos, inexistents en el nivell superior, els quals marquen l'inici del nivell IVa. Aquest nivell es reconeix fàcilment pel canvi de coloració, presenta una tonalitat més vermellova, la presència de palets i més sorres. A més, també hi ha un canvi en les restes recuperades, mentre que el nivell XXIV és pràcticament estèril, el nivell IVa presenta abundants restes (fauna, copròlits, carbons, etc...). Així mateix, en el sostre del nivell IVa, hi ha un bloc de 34 cm x 16cm (3774), sense que en els nivells anteriors haguessin aparegut restes de blocs.

En aquest nivell IVa, en el quadre I25, només hem recuperat restes de 4 copròlits (3775-3776-3777-3780), si bé, en aquesta part del jaciment, la zona excavada ha estat mínima ja que la major part ha estat afectada per la Conillera 4. Aquesta conillera ha afectat el subnivell IV i part del Va, on comença el nivell intacte.

6.2.9.2.G Nivell Va₂ i Vf₅

El subnivell Va₂ es troba definit als quadres I25/I24-H25/H24 subjacent al subnivell XXIXb i a unes cotes compreses entre -155 i -157 cm. És de color “negre” però força grisos o ocre. Probablement per la presència de la carbonatació superior o nivell XXIXb, mentre que la base estaria determinada per la presència del nivell Vf₅. Aquest nivell Va₂ no es troba remenat però sí que es troba rebentat per les conilleres 6-4 i té una coloració molt similar al VaRem

Aquest nivell es troba representat en la secció N-S dels I-H i la E-W dels 25-24. El subnivell Va presenta algunes graves subangulars, com les pròpies del nivell i han estat coordinades algunes estrelles fragmentades (3853, 3854, 3855, 3856, 3859, 3860, etc), mentre que no han estat recuperades cap resta de copròlit, tot i que durant l'excavació sembla que el nivell podria contenir algun fragment de copròlit que no ha estat recuperat.

Totes aquestes característiques fan considerar el nivell Va₂ com el Va de la resta de quadres de la GP, tot i que la seva coloració estaria només matisada per la crosta superior, mentre que la menor presència de graves correspondria a la lateralitat del nivell.

Aquest nivell Va₂, presenta també algunes boles de fang de color vermellós molt petites. S'han garbellat 2 galledes del Va₂ i no té material modern ni gravetes. Un cop excavat, el color és més negrós i semblant al Va, tot i que es troba a una cota similar a al Vg del H25/H26. D'aquest nivell s'ha pres una mostra de sediment per definir-lo (3864). En el quadre I24, hem documentat una ascla de sílex recuperada en el garbell a la que li hem donat coordenades aproximades (4034).

El subnivell Vf₅ ha estat considerat en els quadres I24/I25-G24/g25 en el testimoni que forma la paret W de la GP. Aquest subnivell es troba subjacent al Va₂ i probablement es

recolza a la base del Vg. Les cotes superiors del Vf₅ situen entorn els -170 cm i es troba separat del Va₂ per un canvi de textura o una superfície lleugerament més endurida. Aquest nivell Vf₅ és de color més obscur que el Va₂, però no té el grau de puresa de la resta en coloració. Tot i això, a nivell de coloració es molt semblant en algunes zones del quadre G27, ara bé l'hem considerat diferenciat.

El subnivell es troba representat en la secció N-S dels H/I i la W-E dels 25/24.

Sota la Conillera 5 i entre les esquerdes del quadre I24/I25 hem considerat també el subnivell Vf₅, el qual és lleugerament més clar i argilós que el Vf₅ d'altres parts del quadre, fet que ens porta interpretar que aquest canvi de coloració es deu a les infiltracions de les esquerdes. En aquesta zona s'han coordinats tres materials, una mostra de pissarra (3935), un os amb possibles marques i una estella (3937).

En la zona W del sector central del quadre I25, entre unes coordenades aproximades de x=80/100 i y=20/20 un forat propi de la roca encaixant ha quedat reomplert per sediment negre del nivell Vf₅. En aquest forat hem documentat un número elevat de restes òssies, com una epífisi proximal de fèmur de carnívor (3938), un possible fragment de radi de (3939), una costella fragmentada (3940), una placa de testudo (3941), un copròlit (3942), una dent de cavall (3949) i diverses estelles (3943-3948). Encara ha romàs sediment tot i que es decideix finalitzar l'excavació en aquesta zona per la dificultat d'excavar-ho ja que es troba molt encaixat. S'ha assolit una cota de -200 cm.

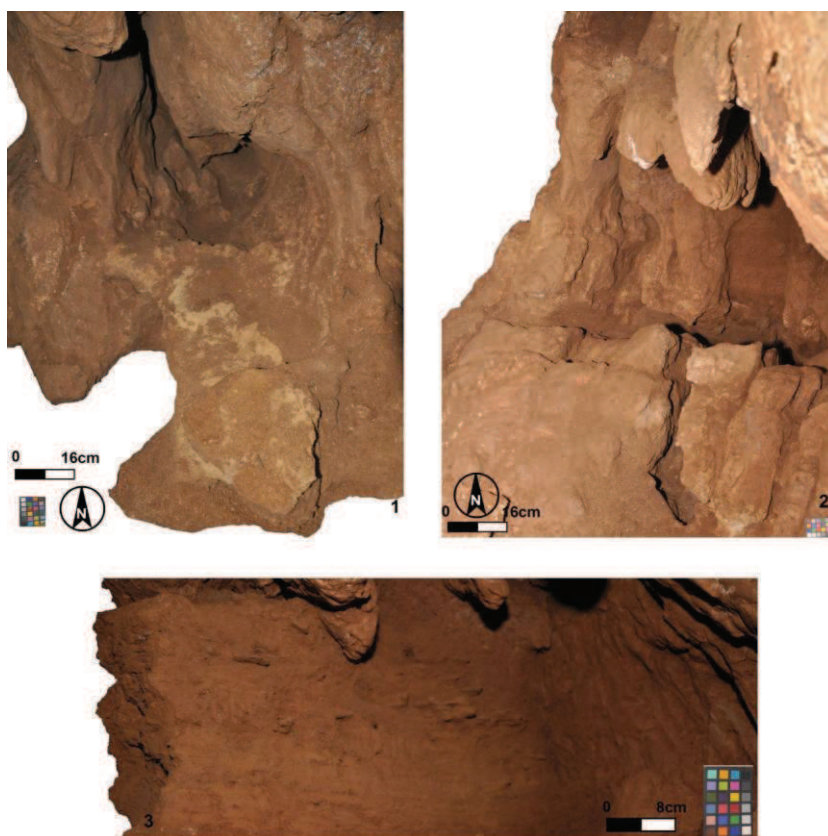


Figura 23. Treballs desenvolupats als quadres I24-I25. 1: Nivell XXIX. 2: Estat final. 3: Secció del nivell II.

6.2.10 Conilleres

A la Cova del Gegant, durant les campanyes precedents dels anys 2007-2010, i en especial, a partir del 2009, s'ha documentat una gran quantitat de conilleres, caus de ratolins i perforacions realitzades per cucs, especialment en els nivells inferiors de la GP, com el nivell V, el nivell IV i el nivell III en menor mesura. Aquesta gran quantitat d'estructures negatives que afecten al rebliment original, ens ha conduït que, a partir de la campanya del 2011, s'ha decidit anomenar i diferenciar cada una de les conilleres o estructures negatives amb certa entitat causades per animals perforadors.

D'aquesta manera podem definir millor les estructures, garbellant-ne el sediment per separat i determinant-ne la seva estructura o tanmateix decidir si el material que es troba en el seu interior és d'un o altre nivell.

Aquestes conilleres tenen, a partir d'ara una numeració àrbiga correlativa, i els assignem també un numero de coordenat amb la numeració correlativa de la llibreta de camp.

En les conillerses que es troben dins del nivell V hem decidit cooredenat el material més significatiu.

6.2.10.1 Conillera 1 (núm. 3620)

La conillera 1 correspon a una estructura que es troba en el sostre del nivell Va, en l'extrem SE del quadre G25 i, en realitat és de diàmetre molt petit, d'aproximadament 4 cm, té una direcció 350° i pendent de 10° a 350°, amb unes coordenades de $x=100$, $y=5$, $z=-162$ cm i una potència màxima de 5cm.

Aquesta conillera es troba reomplerta amb lutites ocre, com les del nivell II i del XXIV i barrejat amb sediment del V. El sediment d'aquesta conillera s'ha separat i garbellat en el mateix jaciment per tal d'evitar contaminació. Aquesta conillera sembla que es dirigeix cap al centre del quadre.

La conillera s'ha dibuixat en la planta corresponent del nivell Va, delimitant l'extensió i forma, així com dels blocs que es troben en el nivell en el sector IV del quadre G25 i G26.

6.2.10.2 Conillera 2 (núm. 3629)

La conillera 2 es troba en la zona NW del quadre I24, especialment en el sostre del nivell IIIa, iniciant-se a una cota aproximada de -129 cm i assolint, com a mínim, una cota de -165cm. L'amplada de la conillera és com a mínim de 12 cm i com a màxim de 24 cm. El sediment que la farceix s'ha separat per garbellar en el propi jaciment.

Aquesta conillera té una petita ramificació que travessa la totalitat del quadre, amb una amplada de 1 cm aproximadament i fins a 70 cm de X.

6.2.10.3 Conillera 3 (núm. 3779)

En el nivell Va en el quadre G25 no hem observat canvis destacables a excepció de la presència de petits canals produïts per l'activitat de conills o rossegadors en la part superior i mitjana del subnivell, així com la gran conillera del subnivell XXVIII ($z=174/177$) que es considera com a Conillera-3 i l'assignem com a coordenada 3779.

Una vegada finalitzada l'excavació del subnivell Vf₄ s'ha documentat en alguns sectors dels quadre G25 el sostre de la conillera-3 en la zona E i S a unes cotes de -177 i -179 cm. En el sector E de la conillera 3 hem documentat en els sostre de la mateixa, el que és part d'una estalagmita fracturada, probablement fora de la seva posició original.

Aquest espeleotema es troba inserit en el nivell Va, però es recolza la base en el sostre de la conillera, així que es conclou que es troba dins del Va, mentre que l'inci de la conillera 3 es troba erosionant el subnivell Vf₄. Aquesta conillera ha estat dibuixada en planta i també fotografiada

Fins al moment, les restes recuperades en l'interior de la conillera ens demostren que es tracta d'una intrusió moderna ben delimitada, com ara restes d'ovicaprí (3875/3886), 2 fragments de ceràmica (3871, 3876) i un fragment d'os determinable cremat (3885). Aquesta part de la conillera 3 excavada enguany enllaça amb la part excavada en els quadres G24 i H25 per una banda i travessa el G25 en direcció NE.

6.2.10.4 Conillera 4 (núm. 3768)

La Conillera 4 (3768) no havia estat buidada en la seva totalitat en la campanya precedent i per aquest motiu ha estat objecte d'intervenció durant el 2011. En el seu interior ha aparegut una falange humana (3784), un disc vertebral desepifitzat de carnívor (3785), una ceràmica (3782) i un fragment de petxina (3783). Aquestes restes han estat situades en coordenades aproximades (x=20/50, y=50/70 z=-120/-141).

6.2.10.5 Conillera 5 (núm. 3824)

En el quadre I24, a una cota de -147 cm aproximadament hem documentat una conillera que recorre gran part del quadre i que sembla estar, encara ara, en actiu ja que hem documentat fragments de poliestirè expandit. Encara no hem acabat d'excavar, pel que els límits de la conillera no són del tot exactes. De moment, en l'eix de les x la conillera es troba documentada a partir de x=24 i assoleix els 80 cm i en l'eix de les y assoleix els 26 cm fins als 70 cm i en les z entre 147 i 164 cm. Aquesta conillera afecta els nivells IVa al XXIX i al Va₂.

En la zona SW del quadre I24 (la més externa) està exposada a la acció del mar i als efectes dels temporals hivernals del 2009. Aquesta part estava reomplerta amb palets

arrodonits solts i no cementats, assolin aproximadament una $x=30$. Aquesta conillera discorre per una esquerra que es troba entre dues crestes rocoses de l'encaixant, entre 15 i 20 cm, encara que algunes zones es troben restes del sediment V enganxats a la paret de l'esquerra del farcit original.

Aquesta conillera 5 comunica amb la 6 en la zona nordoccidental del quadre I24. En la zona més externa de la conillera, la afectada pels palets marins, la cota que s'assoleix és aproximadament de -200 cm, mentre que en la zona més interna assoleix els -180 o -185 cm, on subjacent es documenta el nivell V. Mentre que el sediment de la conillera és bastant argilós i de coloració ocre, el sediment que hem documentat per sota és més sorrenc i de coloració més marronosa, considerant-se Vf₅.

6.2.10.6 Conillera 6 (núm. 3862)

La conillera 6 es documenta en els quadres I24/I25/H24/H25 ja excavada en les campanyes anteriors i finalitzada d'excavar en la campanya del 2011. La part principal es troba en el quadre H24, amb una $x=110$ i la $y=81$ fins a 110. La z inferior és de -185 cm.

Aquesta conillera afecta principalment el nivell V, mentre que la seva adscripció es fa difícil ja que part de la conillera 6 afectava també al Retall-3.

6.2.11 Mostres Preses

Principals mostres preses durant la campanya del 2011.

| Any | Qua | Nivell | Núm | Z(cm) | Tipus | Color sec |
|-------|-----|-----------------|------|-------|----------|------------------------------------|
| CG'11 | G25 | Va | 3755 | -172 | Sediment | HUE 10YR 5/4 yellowish brown |
| CG'11 | G25 | Va | 3753 | -172 | Fitòlits | HUE 10YR 5/4 yellowish brown |
| CG'11 | H25 | Va | 4059 | -171 | Fitòlits | HUE 10YR 5/4 yellowish brown |
| CG'11 | G25 | Va | 3754 | -172 | Pol·len | HUE 10YR 5/4 yellowish brown |
| CG'11 | I24 | Va ₂ | 3863 | -162 | Sediment | HUE 10YR 5/4 yellowish brown |
| CG'11 | G24 | II | 4053 | -100 | Fitòlits | HUE 10YR 6/4 light yellowish brown |
| CG'11 | G24 | II | 4054 | -116 | Sediment | HUE 10YR 6/4 light yellowish brown |
| CG'11 | G24 | II | 4055 | -133 | Fitòlits | HUE 10YR 6/4 light yellowish brown |
| CG'11 | G24 | IIIa | 4056 | -146 | Fitòlits | HUE 7.5 YR 6/6 Reddish yellow |
| CG'11 | I24 | IIIc | 3566 | -119 | Fitòlits | HUE 10YR 6/4 light yellowish brown |
| CG'11 | I24 | IIIc | 3567 | -126 | Fitòlits | HUE 10YR 6/6 brownish yellow |
| CG'11 | G25 | Va (Retall 5) | 3778 | -179 | Sediment | HUE 10YR 5/4 yellowish brown |
| CG'11 | H25 | Vg | 4061 | -190 | Fitòlits | HUE 10YR 5/4 yellowish brown |
| CG'11 | I25 | XXIXa | 4064 | | Sediment | HUE 10YR 8/4 very pale brown |
| CG'11 | G25 | Vf | 4025 | -183 | Sediment | HUE 10YR 7/2 light grey |
| CG'11 | H26 | XXIXb | 3915 | -171 | Sediment | HUE 10YR 6/2 light brownish gray |
| CG'11 | G25 | XXIXc | 3908 | | Sediment | HUE 10YR 8/4 very pale brown |
| CG'11 | G25 | XXIV-Ec4 | 3583 | -158 | Sediment | HUE 7.5 YR 4/3 brown |
| CG'11 | G25 | XXIV-Ec4 | 3582 | -158 | Fitòlits | HUE 7.5 YR 4/3 brown |
| CG'11 | H25 | IVa | 4058 | | Fitòlits | HUE 10YR 5/6 yellowish brown |

| | | | | | | |
|-------|------|-------------------|------|------|------------------|-----------------------------------|
| CG'11 | G25 | XXIV-Ec4 | 3584 | | Pol·len | HUE 10YR 5/4 yellowish brown |
| CG'11 | I25 | XXV | 3501 | -64 | Sediment | HUE 10YR 4/4 dark yellowish brown |
| CG'11 | H25 | XXIV | 4057 | -158 | Fitòlits | HUE 10YR 5/6 yellowish brown |
| CG'11 | G25 | XXVIII- CON3 | 3836 | | Sediment | HUE 10YR 5/4 yellowish brown |
| CG'11 | H25 | Vf | 4060 | -179 | Fitòlits | HUE 10YR 5/4 yellowish brown |
| CG'11 | G25 | Vf | 3788 | -174 | Pol·len | HUE 10YR 5/4 yellowish brown |
| CG'11 | G25 | Vf | 3892 | -184 | Pol·len | HUE 10YR 3/4 yellowish brown |
| CG'11 | G25 | Vf | 3787 | -174 | Fitòlits | HUE 10YR 5/4 yellowish brown |
| CG'11 | G25 | Vf | 3891 | -184 | Fitòlits | HUE 10YR 5/4 yellowish brown |
| CG'11 | G25 | Vf | 3890 | -184 | Sediment | HUE 10YR 5/4 yellowish brown |
| CG'11 | G25 | Vf | 3786 | -174 | Sediment | HUE 10YR 5/4 yellowish brown |
| CG'11 | XW1A | Ib ₂ a | 3426 | | Sediment | |
| CG'11 | G25 | XXIV-EC4 | 4065 | | Sediment | HUE 7.5 YR 5/6 Strong brown |
| CG'11 | G25 | XXIV-EC4 | 4066 | | Placa cremada | |

Taula 12. Mostres preses durant la campanya del 2011.

7. ESTAT FINAL BIENNI 2010-2011

A continuació detallem l'estat final del jaciment al bienni 2010-1 2011 segons cada una de les zones d'intervenció:

Quadre F21. En el quadre F21 s'ha deixat d'excavar a mitja campanya a causa de la pluja i de les infiltracions en aquesta zona de la cavitat que han humitejat en excés el sediment. El quadre s'ha deixat d'excavar en el nivell IIIa/b que es correspon als carbons, restes de fauna i copròlits. Han estat coordinades totes les restes i no s'ha deixat cap tipus de material a la vista.

Quadre F22. El quadre F22 s'ha finalitzat d'excavar completament i s'ha deixat a la roca encaixant, amb el que podem considerar-lo completament exhaurit, així com també part del reducte del F23.

I24/I25. El quadre I24 s'ha excavat quasi completament fins a la roca encaixant, de manera que en el quadre I25 s'han buidat totes les esquerdes de sediment entre les fissures. Tant sols ha romàs un petit testimoni en la fornícula NE on hem preservat un tall a mode de testimoni d'uns 50 cm d'amplada. Aquest tall preserva tota la seqüència des del nivell XXV fins al V, tot i que la base es troba afectada per una gran conillera.

H25. El quadre H25 s'ha finalitzat d'excavar en el nivell subjacent al Vf, part del qual s'havia mal considerat Vf ja que es troba per sota, i claudria considerar-lo com a Vg.

G25. El quadre G25, a causa de la densitat de restes, s'ha finalitzat d'excavar en la part sud en un nivell d'encrostament i/o presència de pedres tipus placa, mentre que en la part nord, encara roman per excavar part de l'acumulació de restes de copròlits.

Un cop finalitzada l'excavació, la zona d'intervenció ha estat protegida amb un sistema de taulons i plàstics, mentre que la part més externa ha estat reforçada amb sacs farcits de graves per evitar l'impacte de les ones.



Figura 24. Estat final de l'excavació a la Cova del Gegant. 1: GP en la zona d'excavació un cop protegit. 2: Zona d'accés de la GP un cop protegida.

8. BIBLIOGRAFIA

- Arsuaga, J. L., Quam, R., Daura, J., Sanz, M., Subirà, E., Dalén, L., Götherström, A. 2011. Neanderthal mtDNA from an Upper Pleistocene human mandible from the cova del Gegant (Spain). En: Condemi, S., Weniger, Gerd-Ch. (Eds.). Neandertals: Their ancestors and contemporaries. Continuity and Discontinuity in the Peopling of Europe. Proceedings of the international congress to commemorate "150 Years of Neanderthal discoveries, 1856-2006". In Delson, E. and Sargis, E. (Eds) Vertebrate Paleobiology and Paleoanthropology series XXI, Chapter 19, pp. 213-219.
- Bellmunt, J. 1957-58. Crónica de la Sección Arqueológica. Boletín de la Biblioteca-Museo Balaguer, 5ª época, tomo V, Vilanova i la Geltrú, pàg. 132-134.
- Daura, J., Sanz, M., Subirà, E., Quam, R., Fullola, J. M^a, Arsuaga, J. L. 2005. A neanderthal mandible from the Cova del Gegant (Sitges, Barcelona, Spain). *Journal of Human Evolution*, 49(1): 46-70.
- Daura, J. 2008. Caracterització arqueològica i paleontològica dels jaciments plistocens: massís del Garraf-Ordal i curs baix del riu Llobregat. Tesi Doctoral. Universitat de Barcelona
- Daura, J., Sanz, M., Pike, A. W. G., Zilhão, J., Subirà, M.E., Fornós, J.J., Fullola, J. M^a, Julià, R. 2010. Stratigraphic context and direct dating of the Neanderthal mandible from Cova del Gegant (Sitges, Barcelona). *Journal of Human Evolution* 59, 102-122.
- Estévez, J. 1979. La fauna del Pleistoceno catalán. Tesi doctoral. Universitat de Barcelona.
- López-García, J., Blain, H.A., Cuenca-Bescós, G., Arsuaga, J.L., 2008. Chronological, environmental, and climatic precisions on the Neanderthal site of the Cova del Gegant (Sitges, Barcelona, Spain). *Journal of Human Evolution* 55, 1151-1155.
- López-García, J., Blain, H.A., Sanz, M., Daura, J. 2011. A coastal reservoir of terrestrial resources for neanderthal populations in north-eastern Iberia: palaeoenvironmental data inferred from the small-vertebrate assemblage of Cova del Gegant, Sitges, Barcelona. *Journal of Quaternary Science* (DOI: 10.1002/jqs.1515)
- Mora, R. 1988. El paleolítico medio en Catalunya: yacimientos en cueva y al aire libre. Tesi Doctoral. Unversitat de Barcelona.
- Viñas, R. 1972. Observaciones sobre los depósitos cuaternarios de la Cova del Gegant. Sitges (Barcelona). *Speleon*, 19: 115-126.
- Viñas, R.; Villalta, J. F de 1975. El depósito cuaternario de la Cova del Gegant. *Speleon*. Monogràfic del V Symposium de Espeleología: 19-33.

9. ÍNDEX DE FIGURES I TAULES

| | |
|---------------------------------------------------------------------------------------------------------------------------------------------------------------------------------------------------------------------------------------------------------------------------------------------------------------------------------------------------------------------------------------------------------------------|----|
| Figura 1. Situació de la Cova del Gegant. Vista des del mar. | 10 |
| Figura 2. Galeria Principal de la Cova del Gegant (Sitges) amb les dues entrades pròximes al mar. Vegis com el mar entra en l'interior de la cavitat en moments de mar calmada. | 12 |
| Figura 3. Planta de la Cova del Gegant amb la nomenclatura utilitzada. Topografia modificada basada en l'original d'Albalate, A., Marín, M., Marín, J. (Viñas i Villalta, 1975) i sectors S i SG segons Mora (1988) afegit a la topografia general. | 13 |
| Figura 4. Estat inicial del jaciment durant el bienni 2010-2009. 1-2: Estat de la protecció del jaciment durant la campanya del 2009 a l'inici de les excavacions durant el 2010. 3-4: Estat del jaciment al inici de la campanya del 2010. 5-6: Estat de la protecció del jaciment durant la campanya del 2011. 7: Esquema on es mostra els sediments destruïts a la Cova del Gegant en el període 1989-2007. | 18 |
| Figura 5. Retall 3. 1: Límit en planta del Retall-3 en la GP. 2: Secció del reompliment del Retall-3 de la GP. 3: Detall del reompliment del Retall-3 de la GP. | 20 |
| Figura 6. Estructura EC-3. 1: EC3 en planta. 2: EC3 en vista sagital. 3-4-5: Detalls de les zones cremades EC3. | 22 |
| Figura 7. Planta de la EC2 del nivell IIIc. | 24 |
| Figura 8. Carbons recuperats en el nivell IIIc del quadre I24. | 25 |
| Figura 9. Planta del nivell IV de la Cova del Gegant. | 29 |
| Figura 10. Detall de la concentració de l'Individu-3 al nivell IVa. | 30 |
| Figura 11. Esquema idealitzat de la seqüència del nivell V. | 34 |
| Figura 12. Nivell V. 1: Planta del nivell V amb l'acumulació de la latrina documentada i els blocs que ocupen la base de la seqüència. 2: Nivell Va en planta. 3: Nivell Vf en planta. 4-7: Copròlits recuperats en el nivell V. | 36 |
| Figura 13. Nivell V en el tal X-W2 on ha estat presa la mostra de U-Th. | 37 |
| Figura 14. Individu 1 del nivell XXIV. | 38 |
| Figura 15. Nivell XXVII. 1: Planta del nivell XXVII. 2-3: Detalls del nivell. | 40 |
| Figura 16. Secció X-W1 amb les subdivisions efectuades. | 45 |
| Figura 17. Treballs desenvolupats en el sector X-W1a. 1: Planta de la Cova del Gegant amb la zona intervinguda durant la campanya del 2011. 2: Estat inicial del quadre F21 en el nivell II. 3: Planta del nivell IIIa en el quadre F21. 4: Estat final del quadre F22. 50 | |
| Figura 18. Estructura de Combustió 4 (EC4): 1: Planta general amb els límits de la EC4. 2: Detall de la EC4. 3: Secció N-S de la EC4. | 52 |
| Figura 19. Planta de l'excavació del nivell IV en el quadre G25 de la Cova del Gegant durant la campanya del 2011. | 54 |
| Figura 20. Tall Estratigràfic del nivell V: 1: imatge. 2: Croquis. | 57 |
| Figura 21. Estelles procedents del nivell V. | 61 |
| Figura 22. Restes de Testudo procedents del nivell V de la Cova del Gegant. | 62 |

| | |
|-------------------------------------------------------------------------------------------------------------------------------------------------------------------------------------------|----|
| Figura 23. Treballs desenvolupats als quadres I24-I25. 1: Nivell XXIX. 2: Estat final. 3: Secció del nivell II..... | 71 |
| Figura 24. Estat final de l'excavació a la Cova del Gegant. 1: GP en la zona d'excavació un cop protegit. 2: Zona d'accés de la GP un cop protegida..... | 78 |
| Taula 1. Mostres preses en el nivell IIb, color en humit. | 21 |
| Taula 2. Mostres preses de la EC3. Aquestes mostres es troben consolidades amb Paraloid B-72 dissolt amb acetona i la mostra 2911 s'ha extret reforçada amb un llit de gases de guix..... | 21 |
| Taula 3. Principals restes recuperades en el nivell IIIa. | 23 |
| Taula 4. Mostres preses en el nivell IIIe de la Cova del Gegant (Sitges) durant la campanya del 2010, els colors són definits en humit. | 26 |
| Taula 5. Descripció dels colors en humit segons la carta Munsell del subnivell IVa. ... | 26 |
| Taula 6. Color en humit a la secció N-S dels 24. | 34 |
| Taula 7. Mostres preses en el nivell Va..... | 34 |
| Taula 8. Mostres preses en el nivell XXIV..... | 37 |
| Taula 9. Mostres preses en el nivell IIIe de la Cova del Gegant (Sitges) durant la campanya del 2010, mostres en humit..... | 39 |
| Taula 10. Mostra presa en el nivell XXVI..... | 39 |
| Taula 11. Principals individus diferenciats durant la campanya del 2010. | 44 |
| Taula 12. Mostres preses durant la campanya del 2011..... | 76 |

10. ANNEX: Inventaris 2010-2011

| NUM | Q1 | Q2 | NIV1 | NIV2 | COD1 | COD2 | ESP | UAS | part1 | part 2 | Estat | CO | EP | MAR | X | Y | Z | OR | PEN | ORP | ALT |
|------|----|----|------|----------|------|------|------------------------|--------------|-----------|------------|--------------|----|-----|-----|-----|------|------|----|-----|-----|-----|
| 2529 | G | 23 | III | c-e | HER | BOS | <i>Bos primigenius</i> | Mà/Peu | F- | F-1 | | | des | | 656 | 2384 | -124 | | | | |
| 2530 | G | 24 | II | | MAF | | | Crani | Crani | Crani | Frag | | CRE | | 664 | 2457 | -123 | | | | |
| 2531 | H | 26 | I | a | HUM | HSS | <i>Homo sapiens</i> | Mà/Peu | F- | F- | | | | | 741 | 2615 | -108 | | | | |
| 2532 | H | 25 | I | a | MFE | | | | | Ferro | | | | | 704 | 2599 | -110 | | | | OXI |
| 2533 | H | 25 | I | a | MAF | | | Tronc-2 | V- | V-Toracica | | | | | 709 | 2507 | -108 | | | | |
| 2534 | H | 25 | I | a | MAF | | | Tronc-2 | Costella | Costella | | | | | 735 | 2505 | -113 | | | | |
| 2535 | H | 25 | I | a | HER | OVI | Ovicapri? | Mà/Peu | F- | F-2 | | | | | 730 | 2537 | -112 | | | | |
| 2536 | G | 24 | III | c | MAF | | | | | Estella | | | CRE | | 634 | 2454 | -125 | | | | |
| 2537 | G | 24 | III | c | MES | | | Determinable | | Os Llarg | Frag diáfisi | | CRE | | 610 | 2462 | -126 | | | | |
| 2538 | H | 26 | I | a | CRM | CRM | Crm- | | | | Informe | | | | 778 | 2651 | -93 | | | | |
| 2539 | H | 26 | I | a | MAF | | | Tronc-2 | V- | V-Toracica | | | | | 764 | 2657 | -93 | | | | |
| 2540 | H | 26 | I | a-sorres | CRM | CRM | Crm- | | | | Infome | | | | 789 | 2664 | -84 | | | | |
| 2541 | H | 26 | I | a-sorres | CRM | CRM | Crm-Mà? | | | | Informe | | | | 777 | 2670 | -84 | | | | |
| 2542 | H | 26 | I | a-sorres | CRM | CRM | Crm- | | | | Informe | | | | 778 | 2680 | -85 | | | | |
| 2543 | H | 26 | I | a-sorres | CRM | MMD | Crm-Blava catalana | | | | Informe | | | | 771 | 2692 | -85 | | | | |
| 2544 | H | 25 | I | a | CRM | CRM | Crm- | | | | Informe | | | | 727 | 2506 | -115 | | | | |
| 2545 | H | 25 | I | a | CAR | CAR | | Mà/Peu | Mt/Mc | Mt/Mc | | | | | 750 | 2546 | -110 | | | | |
| 2546 | H | 25 | I | a | CRM | CRM | Crm-Mà? | | | | Informe | | | | 748 | 2567 | -118 | | | | |
| 2547 | H | 25 | I | a | CRM | CRM | Crm-Torn | | | | Informe | | | | 760 | 2534 | -119 | | | | |
| 2548 | H | 25 | I | a | HUM | HSS | <i>Homo sapiens</i> | Mà/Peu | Art- | | | | | | 765 | 2539 | -113 | | | | |
| 2549 | H | 25 | I | a | MAF | | | Tronc-2 | Costella | Costella | | | | | 785 | 2504 | -114 | | | | |
| 2550 | G | 24 | III | c | MAF | | | | | Estella | | | | | 623 | 2402 | -124 | | | | |
| 2551 | G | 24 | III | c | EST | EST | | | | Estella | | | CRE | | 658 | 2474 | -130 | | | | |
| 2552 | G | 24 | III | c | EST | EST | | | | Estella | | | | | 658 | 2463 | -130 | | | | |
| 2553 | G | 24 | III | c | EST | EST | | | | Estella | | | CRE | | 649 | 2468 | -130 | | | | |
| 2554 | G | 24 | III | e | EST | EST | | Determinable | | Os Llarg | Frag diáfisi | | CRE | | 620 | 2430 | -130 | | | | |
| 2555 | G | 24 | III | e | EST | EST | | | | | | | CRE | | 633 | 2421 | -128 | | | | |
| 2556 | G | 24 | III | e | CAR | LYX | <i>Lynx pardinus</i> | Ext Ant | Ulna | Ulna | | | | | 673 | 2443 | -132 | | | | |
| 2557 | G | 23 | III | e | EST | EST | | | | | | | | | 645 | 2390 | -124 | | | | |
| 2558 | G | 24 | III | e | EST | EST | | | | | | | CRE | | 656 | 2402 | -129 | | | | |
| 2559 | G | 24 | III | e | MES | | | | | | | | CRE | | 657 | 2423 | -131 | | | | |
| 2560 | H | 26 | I | a/Sorres | CRM | MMD | Crm-Vidriada | | | Verd | | | | | 776 | 2684 | -98 | | | | |
| 2561 | H | 26 | I | a | CRM | CRM | Crm- | | | Informe | | | | | 760 | 2650 | -82 | | | | |
| 2562 | H | 25 | I | a | CRM | CRM | Crm- | | | Informe | | | | | 779 | 2580 | -132 | | | | |
| 2706 | H | 25 | I | c | CRM | MMD | Crm-Moderna | | | | Informe | | | | 792 | 2566 | -130 | | | | |
| 2707 | H | 25 | I | c | HUM | HSS | <i>Homo sapiens</i> | Mà/Peu | Mt/Mc | Mt/Mc | | | | | 754 | 2577 | -125 | | | | |
| 2708 | G | 24 | III | e | CAR | LYX | <i>Lynx pardinus</i> ? | Mà/Peu | F- | F-2 | | | | | 690 | 2481 | -132 | | | | |
| 2709 | G | 24 | III | e | MAF | | | Ext Ant | Radi? | | | | | | 648 | 2448 | -132 | | | | CRM |
| 2710 | G | 24 | I | a | MAF | | | | | | | | | | 639 | 2461 | -133 | | | | |
| 2711 | H | 25 | I | a | HER | OVI | Ovicapri? | Mà/Peu | F- | F- 1 | | | des | | 721 | 2575 | -141 | | | | |
| 2712 | H | 26 | I | a | HUM | HSS | <i>Homo sapiens</i> | Dentició | d- | d-I | | | | | 770 | 2647 | -102 | | | | |
| 2713 | H | 26 | I | a | CRM | CRM | Crm- | | | | | | | | 779 | 2657 | -101 | | | | |
| 2714 | G | 24 | III | e | MAF | | | Estella | Estella | | | | | | 634 | 2442 | -131 | | | | |
| 2715 | G | 24 | III | e | CAR | CAR | | Mà/Peu | F- | F- 1 | | | | | 630 | 2430 | -131 | | | | |
| 2716 | G | 24 | III | e | MES | | | Tronc-2 | Costella | Costella | Frag | | | | 633 | 2430 | -131 | | | | |
| 2717 | G | 24 | III | a | MES | LEP | Lepòrid | Crani | Mandibula | Mandibula | | | | | 602 | 2432 | -135 | | | | |
| 2718 | G | 24 | III | a | MAF? | | | Ext Indet | | | Frag diáfisi | | | | 612 | 2440 | -134 | | | | CRM |
| 2719 | G | 23 | III | a | CAR | CAR | | Tronc-2 | V- | V-Toracica | | | | | 620 | 2390 | -123 | | | | |
| 2720 | G | 24 | III | a | MAF | | | Tronc-2 | Costella | Costella | | | | | 635 | 2403 | -128 | | | | |
| 2721 | G | 24 | III | a | COP | COP | | | | | | | | | 635 | 2401 | -128 | | | | |
| 2722 | G | 25 | I | a | CRM | CRM | Crm-Torn | | | | Informe | | | | 625 | 2574 | -136 | | | | |
| 2723 | G | 25 | I | a | CAR | CAR | | Mà/Peu | F- | F-2 | | | | | 670 | 2538 | -106 | | | | |
| 2724 | H | 26 | I | a | CRM | TEU | Crm-Teula | | | | | | | | 750 | 2607 | -106 | | | | |

| NUM | Q1 | Q2 | NIV1 | NIV2 | COD1 | COD2 | ESP | UAS | part1 | part 2 | Estat | CO | EP | MAR | X | Y | Z | OR | PEN | ORP | ALT |
|------|----|----|------|------|------|------|----------------------------|----------|-----------|-----------|---------|--------------|----|-----|-----|------|------|----|-----|-----|-----|
| 2778 | H | 24 | I | a/R3 | CRM | CRM | Crm-Torn | | | | Informe | | | | | | | | | | |
| 2779 | H | 24 | I | a/R3 | CAR | CAR | | Ext Post | Fèmur | Fèmur | Ep dist | | | | | | | | | | |
| 2780 | H | 24 | I | a/R | MAF | | | Dentició | d- | d-I Llet | | | | | | | | | | | |
| 2781 | H | 24 | I | a/R3 | CRM | CRM | Crm- | | | | | | | | | | | | | | |
| 2782 | H | 24 | I | a/R | CRM | CRM | Crm- | | | | | | | | | | | | | | |
| 2783 | H | 24 | I | a/R3 | HUM | HSS | <i>Homo sapiens</i> | Dentició | d- | d-M2 sup | | esq | | | | | | | | | |
| 2784 | G | 25 | I | a/R | CRM | MMD | Crm-Vidriada | | | Verda | Informe | | | | | | | | | | |
| 2785 | G | 25 | I | a/R3 | QUE | TES | <i>Testudo</i> sp. | | | | | | | | | | | | | | |
| 2786 | G | 25 | I | a/R3 | CRM | MMD | Crm-Vidriada | | | | | | | | | | | | | | |
| 2787 | G | 24 | III | a | MAF | | | Tronc-2 | V- | | | | | | 648 | 2471 | -139 | | | | |
| 2788 | G | 24 | III | a | MES | LEP | Lepòrid | Crani | Mandibula | Mandibula | | | | | 643 | 2445 | -138 | | | | |
| 2789 | G | 24 | III | a | MAF | | | Tronc-2 | Costella | Costella | | | | | 646 | 2436 | -137 | | | | CRM |
| 2790 | G | 24 | III | a | HER | CEV | <i>Cervus elaphus</i> | Dentició | d- | d-I Llet | | | | | 640 | 2434 | -138 | | | | |
| 2791 | G | 24 | III | a | CAR | CAR | | Mà/Peu | Mt/Mc | Mt | | | | | 638 | 2442 | -137 | | | | |
| 2792 | G | 24 | III | a | MES | LEP | Lepòrid | Crani | Mandibula | Mandibula | | | | | 632 | 2417 | -133 | | | | |
| 2793 | G | 24 | III | a | MAF | | | Ext Ant | Radi | | | | | | 612 | 2402 | -127 | | | | |
| 2794 | G | 23 | III | a | MES | LEP | Lepòrid | Crani | Mandibula | Mandibula | | des | | | 634 | 2393 | -127 | | | | |
| 2795 | H | 24 | III | a | MAF | | | Estella | Estella | | | | | | 763 | 2455 | -135 | | | | |
| 2796 | H | 24 | III | a | COP | COP | | | | | | | | | 703 | 2473 | -137 | | | | |
| 2797 | H | 24 | III | a | COP | COP | | | | | | | | | 783 | 2420 | -136 | | | | |
| 2798 | I | 24 | XXV | | HUM | HSS | <i>Homo sapiens</i> | Mà/Peu | Mt/Mc | Mt | | drt | | | 860 | 2440 | -79 | | | | |
| 2799 | I | 24 | XXV | | HUM | HSS | <i>Homo sapiens</i> | Mà/Peu | F- | F-1 mà | | ind | | | 860 | 2440 | -79 | | | | |
| 2800 | I | 24 | XXV | | MAF | | | Tronc-2 | Costella | Costella | | | | | 860 | 2440 | -79 | | | | |
| 2801 | I | 24 | XXV | | MES | LEP | Lepòrid | Peu | Calcani | | | | | | 860 | 2440 | -79 | | | | |
| 2802 | I | 24 | XXV | | MAF | | | Estella | Estella | | | | | | 860 | 2440 | -79 | | | | |
| 2803 | I | 24 | XXV | | HUM | HSS | <i>Homo sapiens</i> | Radi? | | | | Frag diàfisi | | | 860 | 2440 | -79 | | | | |
| 2804 | G | 23 | III | a | COP | COP | | | | | | | | | 632 | 2390 | -128 | | | | |
| 2805 | G | 24 | III? | a? | MAF | | | Ext Post | Fèmur | Fèmur | | | | | 631 | 2404 | -134 | | | | |
| 2806 | G | 24 | III? | a? | MAF | | | Ext Post | Tibia | Tibia | | des | | | 627 | 2404 | -135 | | | | |
| 2807 | G | 24 | III? | a? | MAF | | | Tronc | Escàpula | Escàpula | | | | | 626 | 2401 | -129 | | | | |
| 2808 | G | 24 | III | a | CAR | CAR | | Mà/Peu | F- | F- | | | | | 670 | 2463 | -138 | | | | |
| 2809 | G | 24 | III | a | MES | LEP | Lepòrid | Crani | Mandibula | Mandibula | | | | | 640 | 2445 | -137 | | | | |
| 2810 | G | 24 | III? | a? | CAR | CAR | | Crani | Mandibula | Mandibula | | | | | 626 | 2406 | -131 | | | | |
| 2811 | GP | GP | II | b | MAF | | | Estella | Estella | | | | | | | | -89 | | | | |
| 2812 | G | 24 | III | a | COP | COP | | | | | | | | | 623 | 2401 | -130 | | | | |
| 2813 | G | 24 | III | a | COP | COP | | | | | | | | | 614 | 2403 | -129 | | | | |
| 2814 | G | 24 | III | a | COP | COP | | | | | | | | | 665 | 2480 | -139 | | | | |
| 2815 | G | 24 | III | a | COP | COP | | | | | | | | | 684 | 2467 | -139 | | | | |
| 2816 | H | 24 | III | a | MES | LEP | Lepòrid | Crani | Mandibula | Mandibula | | esq | | | 709 | 2478 | -138 | | | | |
| 2817 | H | 24 | III | a | COP | COP | | | | | | | | | 713 | 2488 | -138 | | | | |
| 2818 | H | 24 | III | a | MAF | | | Estella | Estella | | | | | | 725 | 2487 | -141 | | | | |
| 2819 | H | 24 | III | a | CAR | CAR | | Mà/Peu | F- | F- 1 | | | | | 738 | 2486 | -140 | | | | |
| 2820 | G | 23 | III | a | CAR? | CAR | | Mà/Peu | Mt/Mc | Mt? | | | | | 635 | 2397 | -130 | | | | |
| 2821 | G | 24 | III | a | COP | COP | | | | | | | | | 638 | 2406 | -132 | | | | |
| 2822 | G | 23 | III | a | MAF | | | Estella | Estella | | | | | | 642 | 2390 | -130 | | | | |
| 2823 | G | 24 | III | a | MAF | | | Estella | Estella | | | | | | 656 | 2496 | -141 | | | | |
| 2824 | H | 24 | III | a | COP | COP | | | | | | | | | 763 | 2415 | -137 | | | | |
| 2825 | G | 24 | III | a | COP | COP | | | | | | | | | 667 | 2498 | -137 | | | | |
| 2826 | H | 24 | III | a | COP | COP | | | | | | | | | 749 | 2499 | -133 | | | | |
| 2857 | H | 24 | III | a | COP | COP | | | | | | | | | 719 | 2485 | -139 | | | | |
| 2859 | I | 24 | XXV | | CRM | BRZ | Crm-Bronze-Epicampaniforme | | Decoració | | | | | | 844 | 2423 | -66 | | | | |
| 2860 | I | 24 | XXV | | CRM | BRZ | Crm-Bronze-Epicampaniforme | | Decoració | | | | | | 849 | 2425 | -66 | | | | |
| 2861 | I | 24 | XXV | | HUM | HSS | <i>Homo sapiens</i> | Mà/Peu | Mt/Mc | Mc III | | esq | | | 849 | 2426 | -66 | | | | |

| NUM | Q1 | Q2 | NIV1 | NIV2 | COD1 | COD2 | ESP | UAS | part1 | part 2 | Estat | CO | EP | MAR | X | Y | Z | OR | PEN | ORP | ALT |
|------|----|----|------|--------|------|------|----------------------|--------------|---------------|-----------|-----------------|-----|----|-----|-----|------|------|-----|-----|-----|-----|
| 2862 | I | 24 | XXV | | HUM | HSS | <i>Homo sapiens</i> | | | | Frag | | | | 849 | 2426 | -66 | | | | |
| 2863 | I | 24 | XXV | | CRM | CRM | Crm- | | | | Informe | | | | 850 | 2427 | -66 | | | | |
| 2864 | I | 24 | XXV | | HUM | HSS | <i>Homo sapiens</i> | Tronc-2 | Costella | | Frag | | | | 850 | 2427 | -66 | | | | |
| 2865 | I | 24 | XXV | | HUM | HSS | <i>Homo sapiens</i> | Ext Ant | Cúbit | Costella | | | | | 851 | 2428 | -66 | | | | |
| 2866 | I | 24 | XXV | | HUM | HSS | <i>Homo sapiens</i> | Dentició | d- | d-11 sup | | drt | | | 853 | 2430 | -66 | | | | |
| 2867 | I | 24 | XXV | | HUM | HSS | <i>Homo sapiens</i> | Dentició | d- | d-C inf | | esq | | | 853 | 2430 | -66 | | | | |
| 2868 | G | 24 | III | a | MAF | | | Determinable | | Os Llarg | Frag diáfisi | | | | 687 | 2453 | -142 | | | | |
| 2869 | G | 24 | III | a | COP | COP | | | | | | | | | 679 | 2458 | -146 | | | | |
| 2870 | G | 24 | III | a | COP | COP | | | | | | | | | 693 | 2476 | -145 | | | | |
| 2871 | G | 24 | III | a | COP | COP | | | | | | | | | 683 | 2462 | -146 | | | | |
| 2872 | G | 24 | III | a | CAR | LYX | <i>Lynx pardinus</i> | Mà/Peu | F- | F-3 | | | | | 688 | 2482 | -143 | | | | |
| 2873 | G | 24 | III | a | CAR | LYX | <i>Lynx pardinus</i> | Ext Post | Fèmur | Fèmur | Ep prx+tram med | | | | 692 | 2488 | -144 | 10 | 0 | | |
| 2874 | G | 24 | III | a | CAR | LYX | <i>Lynx pardinus</i> | Ext Ant | Húmer | | Sencer | | | | 653 | 2433 | -140 | 155 | 0 | | |
| 2875 | G | 24 | III | a | CAR | LYX | <i>Lynx pardinus</i> | Ext Ant | Ulna | Ulna | Ep prx+tram med | | | | 657 | 2443 | -141 | 160 | 0 | | |
| 2876 | G | 24 | III | a | CAR | LYX | <i>Lynx pardinus</i> | Peu | Astràgal | | Sencer | | | | 650 | 2416 | -139 | | | | |
| 2877 | G | 24 | III | a | CAR | LYX | <i>Lynx pardinus</i> | Peu | Calcani | | Sencer | | | | 661 | 2415 | -140 | | | | |
| 2878 | G | 24 | III | a | COP | COP | | | | | | | | | 634 | 2487 | -134 | | | | |
| 2879 | G | 24 | III | a | COP | COP | | | | | | | | | 692 | 2470 | -145 | | | | |
| 2880 | G | 24 | III | a | MES | LEP | Lepòrid | Crani | Mandibula | Mandibula | | drt | | | 647 | 2452 | -145 | | | | |
| 2881 | G | 24 | III | a | CAR | LYX | <i>Lynx pardinus</i> | Ext Post | Fèmur | Fèmur | Ep prx+tram med | | | | 666 | 2488 | -148 | 150 | 10 | 150 | |
| 2882 | G | 24 | III | a | CAR | LYX | <i>Lynx pardinus</i> | Ext Ant | Ulna | Ulna | Ep dist | | | | 687 | 2480 | -150 | 80 | 20 | 80 | |
| 2883 | G | 24 | III | a | MCV | | | | | | | | | | 690 | 2473 | -152 | | | | |
| 2884 | G | 24 | III | a | HER | EQU | <i>Equus ferus</i> | Mà/Peu | Art- | | | | | | 696 | 2467 | -152 | | | | |
| 2885 | G | 24 | III | a | MES | LEP | Lepòrid | Crani | Mandibula | Mandibula | | | | | 626 | 2455 | -147 | | | | |
| 2886 | G | 24 | III | a | COP | COP | | | | | | | | | 643 | 2446 | -146 | | | | |
| 2887 | G | 24 | III | a | MCV | | | | | | | | | | 650 | 2425 | -146 | | | | |
| 2888 | G | 24 | III | a | COP | COP | | | | | | | | | 652 | 2405 | -143 | | | | |
| 2889 | G | 24 | III | a | COP | COP | | | | | | | | | 673 | 2411 | -143 | | | | |
| 2890 | G | 24 | III | a | COP | COP | | | | | | | | | 614 | 2443 | -140 | | | | |
| 2891 | G | 24 | III | a | COP | COP | | | | | | | | | 630 | 2460 | -140 | | | | |
| 2892 | G | 24 | III | a | COP | COP | | | | | | | | | 652 | 2437 | -140 | | | | |
| 2893 | G | 24 | III | a | MCV | | | | | | | | | | 632 | 2434 | -140 | | | | |
| 2894 | G | 24 | III | a | MAF | | | Estella | Estella | | | | | | 630 | 2430 | -139 | | | | |
| 2895 | G | 25 | III | a | COP | COP | | | | | | | | | 660 | 2500 | -139 | | | | |
| 2896 | G | 25 | III | a | COP | COP | | | | | | | | | 661 | 2507 | -138 | | | | |
| 2897 | G | 25 | III | a | CAR | LYX | <i>Lynx pardinus</i> | Tronc | Escàpula | Escàpula | | | | | 665 | 2500 | -140 | | | | |
| 2898 | G | 25 | III | a | CAR | CAR | | Mà/Peu | Mt/Mc | Mt/Mc | | | | | 678 | 2504 | -142 | | | | |
| 2899 | G | 25 | III | a | CAR | CAR | | Mà/Peu | F- | F- | | | | | 671 | 2512 | -139 | | | | |
| 2900 | G | 25 | III | a | MAF | | | Estella | Estella | | | | | | 673 | 2522 | -139 | | | | |
| 2901 | G | 24 | III | a | HER | EQU | <i>Equus ferus</i> | Dentició | d- | d- | | | | | 631 | 2453 | -141 | | | | |
| 2902 | G | 24 | III | a | COP | COP | | | | | | | | | 638 | 2435 | -141 | | | | |
| 2903 | G | 24 | III | a | COP | COP | | | | | | | | | 649 | 2441 | -141 | | | | |
| 2904 | G | 24 | III | a | COP | COP | | | | | | | | | 668 | 2430 | -140 | | | | |
| 2905 | G | 24 | III | a | COP | COP | | | | | | | | | 656 | 2410 | -138 | | | | |
| 2906 | G | 23 | III | a | COP | COP | | | | | | | | | 653 | 2390 | -137 | | | | |
| 2907 | G | 24 | III | a | MAF | | | Estella | Estella | | | | | | 647 | 2422 | -140 | | | | |
| 2908 | G | 24 | III | a | CAR | CAR | | Mà/Peu | F- | F-2 | | | | | 663 | 2480 | -139 | | | | |
| 2909 | I | 23 | III | c | MCV | | | | | | | | | | 837 | 2387 | -119 | | | | |
| 2910 | H | 25 | III | a. Ec3 | TRC | | | | Terra cremada | | | | | | 730 | 2580 | -140 | | | | |
| 2911 | H | 24 | III | a. Ec3 | TRC | | | | Terra cremada | | | | | | 750 | 2425 | -141 | | | | |
| 2912 | H | 25 | III | a. Ec3 | TRC | | | | Terra cremada | | | | | | 718 | 2560 | -145 | | | | |
| 2913 | H | 25 | III | a. Ec3 | TRC | | | | Terra cremada | | | | | | 722 | 2538 | -145 | | | | |
| 2914 | G | 24 | III | a | MCV | | | | | | | | | | 615 | 2440 | -145 | | | | |

| NUM | Q1 | Q2 | NIV1 | NIV2 | COD1 | COD2 | ESP | UAS | part1 | part 2 | Estat | CO | EP | MAR | X | Y | Z | OR | PEN | ORP | ALT |
|------|----|----|-------|------|------|------|----------------------------|----------|---------------------|-----------|-----------------|-----|------------------|-----|-----|------|------|-----|-----|-----|-----|
| 2915 | G | 25 | III | a | COP | COP | | | | | | | | | 698 | 2500 | -147 | | | | |
| 2916 | H | 25 | III | a | COP | COP | | | | | | | | | 702 | 2500 | -146 | | | | |
| 2917 | H | 25 | III | a | COP | COP | | | | | | | | | 705 | 2500 | -146 | | | | |
| 2918 | H | 25 | III | a | MCV | | | | | | | | | | 705 | 2500 | -146 | | | | |
| 2919 | H | 25 | III | a | COP | COP | | | | | | | | | 735 | 2517 | -142 | | | | |
| 2920 | H | 25 | III | a | COP | COP | | | | | | | | | 731 | 2520 | -140 | | | | |
| 2921 | H | 25 | III | a | COP | COP | | | | | | | | | 728 | 2522 | -140 | | | | |
| 2922 | H | 25 | III | a | CAR | LYX | <i>Lynx pardinus</i> | Ext Ant | Ulna | Ulna | Ep prx+tram med | | | | 738 | 2523 | -144 | | | | CRM |
| 2923 | H | 25 | III | a | CAR | LYX | <i>Lynx pardinus</i> | Mà/Peu | Mt/Mc | Mt | Ep dist | | Actual Conillera | | 746 | 2540 | -144 | | | | |
| 2924 | H | 25 | III | a | CAR | LYX | <i>Lynx pardinus</i> | Mà/Peu | F- | F- 1 | | | | | 740 | 2542 | -144 | | | | |
| 2925 | H | 25 | III | a | CAR | LYX | <i>Lynx pardinus</i> | Mà/Peu | Mt/Mc | Mt | Ep dist | | Actual Conillera | | 720 | 2550 | -144 | | | | |
| 2926 | I | 24 | II | b | CAR | CAR | | Mà/Peu | Mt/Mc | Mt | | | | | 853 | 2431 | -71 | | | | |
| 2927 | I | 24 | XXV | | CRM | BRZ | Crn-Bronze-Epicampaniforme | | Decoració | | Vora | | | | 854 | 2433 | -66 | | | | |
| 2928 | I | 24 | XXV | | CRM | CRM | Crn-Mà | | Decoració | | Informe | | | | 855 | 2434 | -66 | | | | |
| 2929 | I | 24 | XXV | | CRM | CRM | Crn-Mà | | Decoració | | Informe | | | | 853 | 2440 | -66 | | | | |
| 2930 | G | 23 | III | a | COP | COP | | | | | | | | | 692 | 2360 | -145 | | | | |
| 2931 | G | 24 | III | a | COP | COP | | | | | | | | | 670 | 2405 | -143 | | | | |
| 2932 | G | 24 | III | a | COP | COP | | | | | | | | | 672 | 2408 | -142 | | | | |
| 2933 | G | 24 | III | a | COP | COP | | | | | | | | | 678 | 2414 | -143 | | | | |
| 2934 | G | 24 | III | a | COP | COP | | | | | | | | | 668 | 2435 | -145 | | | | |
| 2935 | G | 24 | III | a | COP | COP | | | | | | | | | 660 | 2440 | -144 | | | | |
| 2936 | G | 25 | III | a | COP | COP | | | | | | | | | 683 | 2528 | -140 | | | | |
| 2937 | G | 25 | III | a | COP | COP | | | | | | | | | 680 | 2525 | -139 | | | | |
| 2938 | G | 25 | III | a | COP | COP | | | | | | | | | 677 | 2520 | -138 | | | | |
| 2939 | G | 25 | III | a | MES | LEP | Lepòrid | Crani | Mandibula | Mandibula | | | | | 682 | 2526 | -139 | | | | |
| 2940 | G | 25 | III | a | MAF | | | Tronc-2 | V- | V-Lumbar | | | | | 651 | 2512 | -144 | | | | |
| 2941 | G | 25 | III | a | CAR | FEL | <i>Felis sylvestris</i> | Crani | Mandibula | Mandibula | | esq | | | 663 | 2600 | -147 | | | | |
| 2942 | G | 25 | III | a | CAR | FEL | <i>Felis sp.</i> | Crani | Mandibula | Mandibula | | drt | | | 634 | 2592 | -147 | | | | |
| 2943 | G | 25 | III | a | COP | COP | | | | | | | | | 636 | 2586 | -147 | | | | |
| 2944 | G | 25 | III | a | COP | COP | | | | | | | | | 638 | 2584 | -147 | | | | |
| 2945 | G | 25 | III | a | OSL | | | | | | | | | | 650 | 2510 | -144 | | | | |
| 2946 | I | 24 | III | c | MCV | | | | | | | | | | 821 | 2429 | -120 | | | | |
| 2947 | I | 24 | III | c | MCV | | | | | | | | | | 835 | 2426 | -120 | | | | |
| 2948 | H | 24 | XXVII | | OSL | | | | OSL-15 | | | | | | 754 | 2485 | -142 | | | | |
| 2949 | H | 25 | XXVII | | MCV | | | | OSL-16 Crosta | | | | | | 780 | 2545 | -139 | | | | |
| 2950 | G | 25 | XXIV | | OSL | | | | OSL-17 | | | | | | 630 | 2545 | -150 | | | | |
| 2951 | I | 24 | III | c | MCV | | | | | | | | | | 877 | 2413 | -118 | | | | |
| 2952 | I | 24 | III | c | MCV | | | | | | | | | | 886 | 2411 | -115 | | | | |
| 2953 | H | 25 | XXIV | | HER | EQU | <i>Equus ferus</i> | Mà/Peu | Art- | | | | | | 778 | 2554 | -148 | | | | |
| 2954 | H | 25 | XXIV | | HER | EQU | <i>Equus ferus</i> | Mà/Peu | Art- | | | | | | 780 | 2558 | -148 | | | | |
| 2955 | H | 25 | XXIV | | HER | EQU | <i>Equus ferus</i> | Mà/Peu | F- | F-2 | | | | | 785 | 2560 | -149 | | | | |
| 2956 | H | 25 | XXIV | | HER | EQU | <i>Equus ferus</i> | Mà/Peu | F- | F-3 | | | | | 789 | 2553 | -150 | | | | |
| 2957 | H | 25 | XXIV | | HER | EQU | <i>Equus ferus</i> | Mà/Peu | F- | F-3 | | | | | 795 | 2550 | -148 | | | | |
| 2958 | H | 25 | XXIV | | HER | EQU | <i>Equus ferus</i> | Mà/Peu | Art- | | | | | | 789 | 2560 | -148 | | | | |
| 2959 | H | 25 | XXIV | | HER | EQU | <i>Equus ferus</i> | Mà/Peu | Art-sesamoide | | | | | | 790 | 2560 | -149 | | | | |
| 2960 | H | 25 | XXIV | | HER | EQU | <i>Equus ferus</i> | Mà/Peu | Mt/Mc | Mt III | | esq | | | 776 | 2535 | -149 | 120 | 0 | | |
| 2961 | H | 25 | XXIV | | HER | EQU | <i>Equus ferus</i> | Peu | Astàgal | | | esq | | | 750 | 2552 | -145 | | | | |
| 2962 | H | 25 | XXIV | | HER | EQU | <i>Equus ferus</i> | Ext Post | Tibia | Tibia | | esq | | | 716 | 2544 | -148 | 90 | 10 | 270 | |
| 2963 | H | 25 | XXIV | | HER | EQU | <i>Equus ferus</i> | Mà/Peu | Mt/Mc | Mt II/IV | | esq | | | 776 | 2535 | -149 | | | | |
| 2964 | GP | GP | XXIV | | HER | EQU | <i>Equus ferus</i> | Mà/Peu | Art-Gran cuneiforme | | | esq | | | | | | | | | |
| 2965 | GP | GP | XXIV | | HER | EQU | <i>Equus ferus</i> | Mà/Peu | Art- | | | esq | | | | | | | | | |
| 2966 | G | 24 | III | e | OSL | | | | | | | | | | 642 | 2447 | -130 | | | | |
| 2967 | H | 24 | XXIV | | HER | EQU | <i>Equus ferus</i> | Mà/Peu | F- | F-3 | | | | | 765 | 2445 | -149 | | | | |

| NUM | Q1 | Q2 | NIV1 | NIV2 | COD1 | COD2 | ESP | UAS | part1 | part 2 | Estat | CO | EP | MAR | X | Y | Z | OR | PEN | ORP | ALT |
|------|----|----|------|------|------|------|----------------------|--------------|---------------------------------|------------|-------------------|----|----|-----|-----|------|------|-----|-----|-----|-----|
| 2968 | H | 24 | XXIV | | HER | EQU | <i>Equus ferus</i> | Mà/Peu | F- | F-2 | | | | | 760 | 2448 | -151 | | | | |
| 2969 | H | 24 | XXIV | | COP | COP | | | | | | | | | 760 | 2471 | -143 | | | | |
| 2970 | H | 24 | XXIV | | HER | EQU | <i>Equus ferus</i> | Mà/Peu | Mt/Mc | Mc II/IV | Sencer | | | | 734 | 2471 | -149 | | | | |
| 2971 | H | 24 | XXIV | | HER | EQU | <i>Equus ferus</i> | Mà/Peu | F- | F-1 | | | | | 751 | 2454 | -149 | | | | |
| 2972 | H | 24 | XXIV | | HER | EQU | <i>Equus ferus</i> | Mà/Peu | Mt/Mc | Mc? | Ep prx+tram prx | | | | 730 | 2461 | -149 | | | | |
| 2973 | H | 24 | XXIV | | HER | EQU | <i>Equus ferus</i> | Mà/Peu | Art-Cuneiforme (ext. Ant.) | | | | | | 712 | 2472 | -149 | | | | |
| 2974 | H | 24 | XXIV | | HER | EQU | <i>Equus ferus</i> | Mà/Peu | Art- scapho cuboide (ext. Ant.) | | | | | | 735 | 2481 | -150 | | | | |
| 2975 | H | 24 | XXIV | | HER | EQU | <i>Equus ferus</i> | Mà/Peu | Art- | | | | | | 726 | 2478 | -149 | | | | |
| 2976 | H | 24 | XXIV | | HER | EQU | <i>Equus ferus</i> | Mà/Peu | Art- | | | | | | 731 | 2475 | -150 | | | | |
| 2977 | H | 24 | XXIV | | HER | EQU | <i>Equus ferus</i> | Mà/Peu | Mt/Mc | Mc | drt | | | | 750 | 2456 | -150 | 108 | 4 | | 298 |
| 2978 | G | 24 | XXIV | | HER | EQU | <i>Equus ferus</i> | | Dentició | d- | | | | | 611 | 2445 | -141 | | | | |
| 2979 | G | 24 | XXIV | | HER | EQU | <i>Equus ferus</i> | | Dentició | d- | | | | | 613 | 2443 | -141 | | | | |
| 2980 | H | 25 | XXIV | | HER | EQU | <i>Equus ferus</i> | Ext Post | Fèmur | Fèmur | Ep dist+tram dist | | | | 711 | 2548 | -149 | | | | |
| 2981 | G | 25 | XXIV | | HER | EQU | <i>Equus ferus</i> | Crani | Mandibula | Mandibula | | | | | 682 | 2580 | -153 | | | | |
| 2982 | G | 25 | XXIV | | HER | EQU | <i>Equus ferus</i> | Tronc-2 | V- | V-Caudal | | | | | 690 | 2580 | -149 | | | | |
| 2983 | G | 25 | XXIV | | HER | EQU | <i>Equus ferus</i> | Mà/Peu | Art- | | | | | | 685 | 2580 | -148 | | | | |
| 2984 | H | 24 | XXIV | | HER | EQU | <i>Equus ferus</i> | Tronc-2 | Costella | Costella | | | | | 708 | 2465 | -148 | 72 | 6 | | 72 |
| 2985 | H | 24 | XXIV | | HER | EQU | <i>Equus ferus</i> | Determinable | | Os Pla | | | | | 711 | 2432 | -146 | | | | |
| 2986 | H | 24 | XXIV | | HER | EQU | <i>Equus ferus</i> | Mà/Peu | Art- | | | | | | 710 | 2473 | -148 | | | | |
| 2987 | H | 24 | XXIV | | HER | EQU | <i>Equus ferus</i> | Mà/Peu | Art-Gran cuneiforme | | | | | | 725 | 2466 | -145 | | | | |
| 2988 | H | 24 | XXIV | | HER | EQU | <i>Equus ferus</i> | Mà/Peu | Art- | | | | | | 722 | 2466 | -145 | | | | |
| 2989 | G | 24 | XXIV | | HER | EQU | <i>Equus ferus</i> | | Dentició | d- | | | | | 615 | 2426 | -146 | | | | |
| 2990 | G | 24 | XXIV | | HER | EQU | <i>Equus ferus</i> | Tronc-2 | V- | d-M/P inf | | | | | 620 | 2435 | -146 | | | | |
| 2991 | G | 24 | XXIV | | HER | EQU | <i>Equus ferus</i> | Estella | Estella | | | | | | 635 | 2438 | -146 | | | | |
| 2992 | I | 23 | III | a | COP | COP | | | | | | | | | 836 | 2343 | -121 | | | | |
| 2993 | I | 23 | III | a | COP | COP | | | | | | | | | 834 | 2382 | -128 | | | | |
| 2994 | I | 23 | III | a | MES | LEP | Lepòrid | Crani | Mandibula | Mandibula | | | | | 837 | 2388 | -128 | | | | |
| 2995 | I | 23 | III | a | COP | COP | | | | | | | | | 859 | 2386 | -123 | | | | |
| 2996 | I | 23 | III | a | COP | COP | | | | | | | | | 840 | 2368 | -123 | | | | |
| 2997 | I | 23 | III | a | MES | LEP | Lepòrid | Crani | Crani | Crani | | | | | 847 | 2380 | -128 | | | | |
| 2998 | I | 23 | III | a | COP | COP | | | | | | | | | 845 | 2388 | -129 | 92 | 18 | | 92 |
| 2999 | G | 24 | XXIV | | HER | EQU | <i>Equus ferus</i> | Ext Ant | Radi | | | | | | 629 | 2460 | -146 | | | | |
| 3000 | H | 24 | XXIV | | HER | EQU | <i>Equus ferus</i> | Tronc-2 | V- | | | | | | 750 | 2450 | -146 | | | | |
| 3001 | I | 23 | III | a | COP | COP | | | | | | | | | 835 | 2394 | -130 | | | | |
| 3002 | I | 23 | III | a | MES | LEP | Lepòrid | Crani | Mandibula | Mandibula | | | | | 836 | 2388 | -134 | | | | |
| 3003 | I | 23 | III | a | COP | COP | | | | | | | | | 869 | 2394 | -127 | | | | |
| 3004 | I | 23 | III | a | COP | COP | | | | | | | | | 822 | 2398 | -134 | | | | |
| 3005 | I | 23 | III | a | MCV | | | | | | | | | | 822 | 2392 | -137 | | | | |
| 3006 | I | 23 | III | a | COP | COP | | | | | | | | | 838 | 2387 | -134 | | | | |
| 3007 | G | 25 | III | a | CAR | LYX | <i>Lynx pardinus</i> | Peu | Calcani | | | | | | 617 | 2550 | -151 | | | | |
| 3008 | G | 25 | III | a | CAR | LYX | <i>Lynx pardinus</i> | Peu | Calcani | | | | | | 617 | 2548 | -153 | | | | |
| 3009 | G | 25 | III | a | CAR | FEL | <i>Felis sp.</i> | Mà/Peu | F- | F- | | | | | 615 | 2549 | -152 | | | | |
| 3010 | G | 25 | III | a | CAR | FEL | <i>Felis sp.</i> | Tronc-2 | Costella | Costella | | | | | 614 | 2550 | -153 | | | | |
| 3011 | G | 25 | III | a | CAR | LYX | <i>Lynx pardinus</i> | Tronc-2 | V- | V-Cervical | | | | | 616 | 2540 | -151 | | | | |
| 3012 | G | 25 | III | a | CAR | LYX | <i>Lynx pardinus</i> | Mà/Peu | Mt/Mc | Mt/Mc | | | | | 616 | 2545 | -154 | | | | |
| 3013 | G | 25 | III | a | CAR | LYX | <i>Lynx pardinus</i> | Tronc-2 | V- | V-Caudal | | | | | 614 | 2564 | -153 | | | | |
| 3014 | G | 25 | III | a | CAR | LYX | <i>Lynx pardinus</i> | Ext Post | Peroné | | | | | | 620 | 2547 | -153 | | | | |
| 3015 | G | 25 | XXIV | | HER | EQU | <i>Equus ferus</i> | Tronc-2 | V- | V-Caudal | | | | | 677 | 2562 | -148 | | | | |
| 3016 | G | 25 | XXIV | | HER | EQU | <i>Equus ferus</i> | Tronc-2 | V- | V-Caudal | | | | | 670 | 2568 | -148 | | | | |
| 3017 | G | 24 | XXIV | | HER | EQU | <i>Equus ferus</i> | Crani | Crani | Crani | | | | | 601 | 2424 | -147 | | | | |
| 3018 | G | 24 | XXIV | | HER | EQU | <i>Equus ferus</i> | Tronc-2 | V- | V-Toracica | | | | | 660 | 2480 | -147 | | | | |
| 3019 | G | 24 | XXIV | | HER | EQU | <i>Equus ferus</i> | Tronc-2 | V- | V-Toracica | | | | | 665 | 2480 | -147 | | | | |
| 3020 | G | 24 | XXIV | | HER | EQU | <i>Equus ferus</i> | Tronc-2 | V- | V-Cervical | | | | | 645 | 2462 | -147 | | | | |

| NUM | Q1 | Q2 | NIV1 | NIV2 | COD1 | COD2 | ESP | UAS | part1 | part 2 | Estat | CO | EP | MAR | X | Y | Z | OR | PEN | ORP | ALT |
|------|----|----|------|------|------|------|------------------------------|--------------|---------------|------------|-------|----|----|-----|-----|------|------|----|-----|-----|-----|
| 3021 | G | 24 | XXIV | | HER | EQU | <i>Equus ferus</i> | Tronc-2 | V- | V-Cervical | | | | | 659 | 2465 | -147 | | | | |
| 3022 | H | 24 | XXIV | | HER | EQU | <i>Equus ferus</i> | Ext Ant | Ulna | Ulna | | | | | 794 | 2405 | -147 | | | | |
| 3023 | G | 24 | XXIV | | HER | EQU | <i>Equus ferus</i> | Ext Ant | Húmer | | | | | | 688 | 2484 | -147 | | | | |
| 3024 | G | 24 | XXIV | | HER | EQU | <i>Equus ferus</i> | Tronc | Escàpula | Escàpula | | | | | 648 | 2484 | -147 | | | | |
| 3025 | H | 24 | XXIV | | HER | EQU | <i>Equus ferus</i> | Ext Ant | Radi | | | | | | 788 | 2494 | -147 | | | | |
| 3026 | G | 24 | XXIV | | MAF | | | Determinable | | Os det | | | | | 688 | 2482 | -147 | | | | |
| 3027 | H | 24 | XXIV | | HER | EQU | <i>Equus ferus</i> | Mà/Peu | Art- 2 | | | | | | 745 | 2457 | -148 | | | | |
| 3028 | I | 23 | XXIV | | MES | LEP | Lepòrid | Crani | Maxil-lar | | Frag | | | | 848 | 2382 | -143 | | | | |
| 3029 | I | 23 | XXIV | | MAF | | | Estella | Estella | | | | | | 845 | 2385 | -145 | | | | |
| 3030 | I | 23 | IV | a | COP | COP | | | | | | | | | 833 | 2365 | -153 | | | | |
| 3031 | I | 23 | IV | a | COP | COP | | | | | | | | | 831 | 2349 | -149 | | | | |
| 3032 | G | 24 | IV | a | CAR | CAR | | Mà/Peu | F- | F- 1 | | | | | 645 | 2485 | -160 | | | | |
| 3033 | G | 24 | IV | a | CAR | CAR | | Mà/Peu | F- | F- 1 | | | | | 643 | 2486 | -160 | | | | |
| 3034 | G | 24 | IV | a | CAR | CAR | | Mà/Peu | F- | F-2 | | | | | 640 | 2484 | -160 | | | | |
| 3035 | G | 24 | IV | a | CAR | CAR | | Mà/Peu | Art- | | | | | | 652 | 2483 | -160 | | | | |
| 3036 | G | 24 | IV | a | CAR | CAR | | Mà/Peu | Art- | | | | | | 653 | 2482 | -160 | | | | |
| 3037 | G | 24 | IV | a | CAR | CAR | | Mà/Peu | Art- | | | | | | 653 | 2481 | -160 | | | | |
| 3038 | G | 24 | IV | a | CAR | CAR | | Mà/Peu | Art- | | | | | | 654 | 2479 | -160 | | | | |
| 3039 | G | 24 | IV | a | CAR | CAR | | Mà/Peu | Art- | | | | | | 649 | 2481 | -160 | | | | |
| 3040 | G | 24 | IV | a | CAR | CAR | | Mà/Peu | Art- | | | | | | 651 | 2483 | -160 | | | | |
| 3041 | G | 24 | IV | a | CAR | CAR | | Mà/Peu | Mt/Mc | Mt/Mc | | | | | 639 | 2483 | -160 | | | | |
| 3042 | G | 24 | IV | a | CAR | CAR | | Mà/Peu | F- | F- 1 | | | | | 637 | 2483 | -160 | | | | |
| 3043 | G | 24 | IV | a | CAR | CAR | | Mà/Peu | F- | F-2 | | | | | 636 | 2480 | -160 | | | | |
| 3044 | G | 24 | IV | a | CAR | CAR | | Mà/Peu | F- | F-3 | | | | | 631 | 2479 | -160 | | | | |
| 3045 | G | 24 | IV | a | CAR | CAR | | Mà/Peu | Mt/Mc | Mt/Mc | | | | | 640 | 2482 | -160 | | | | |
| 3046 | G | 24 | IV | a | CAR | CAR | | Mà/Peu | F- | F- 1 | | | | | 638 | 2482 | -160 | | | | |
| 3047 | G | 24 | IV | a | CAR | CAR | | Mà/Peu | F- | F-2 | | | | | 637 | 2480 | -160 | | | | |
| 3048 | G | 24 | IV | a | CAR | CAR | | Dentició | d- | | Frag | | | | 646 | 2479 | -160 | | | | |
| 3049 | G | 24 | IV | a | CAR | CAR | | Art- | Art-sesamoide | | | | | | 645 | 2481 | -160 | | | | |
| 3050 | G | 24 | IV | a | CAR | CAR | | Art- | Art-sesamoide | | | | | | 645 | 2479 | -160 | | | | |
| 3051 | G | 24 | IV | a | CAR | CAR | | Art- | Art-sesamoide | | | | | | 645 | 2478 | -160 | | | | |
| 3052 | G | 24 | IV | a | CAR | CAR | | Art- | Art-sesamoide | | | | | | 645 | 2478 | -160 | | | | |
| 3053 | G | 25 | III | a | CAR | FEL | <i>Felis sp.</i> | Mà/Peu | F- | F-2 | | | | | 627 | 2554 | -155 | | | | |
| 3054 | I | 23 | V | a/R | HER | EQU | <i>Equus ferus</i> | Dentició | d- | | Frag | | | | 844 | 2370 | -175 | | | | |
| 3055 | G | 24 | IV | a | CAR | CAR | | Art- | Art-sesamoide | | | | | | 646 | 2477 | -160 | | | | |
| 3056 | H | 24 | V | f | COP | COP | | | | | | | | | 772 | 2458 | -167 | | | | |
| 3057 | H | 24 | V | f | COP | COP | | | | | | | | | 762 | 2448 | -165 | | | | |
| 3058 | H | 24 | V | f | COP | COP | | | | | | | | | 760 | 2435 | -164 | | | | |
| 3059 | H | 24 | V | f | MES | LEP | Lepòrid | Crani | Mandíbula | Mandíbula | | | | | 773 | 2435 | -167 | | | | |
| 3060 | H | 24 | V | f | COP | COP | | | | | | | | | 794 | 2453 | -168 | | | | |
| 3061 | H | 24 | V | a | MAF | | | Estella | Estella | | | | | | 716 | 2490 | -164 | | | | |
| 3062 | H | 24 | V | a | COP | COP | | | | | | | | | 734 | 2489 | -166 | | | | |
| 3063 | H | 24 | V | a | MAF | | | | | | | | | | 741 | 2493 | -166 | | | | |
| 3064 | H | 25 | V | a | HER | EQU | <i>Equus ferus</i> | Dentició | d- | d-Dp | | | | | 742 | 2500 | -165 | | | | |
| 3065 | H | 25 | V | a | ULT | ULT | Quars | | Ascle | | | | | | 735 | 2509 | -170 | | | | |
| 3066 | H | 25 | V | a | CAR | CAR | | Mà/Peu | Mt/Mc | Mt/Mc | | | | | 748 | 2512 | -167 | | | | |
| 3067 | H | 25 | V | a | MAF | | | Estella | Estella | | | | | | 734 | 2515 | -170 | | | | CRM |
| 3068 | H | 25 | V | a | MAF | | | Estella | Estella | | | | | | 735 | 2518 | -170 | | | | |
| 3069 | H | 25 | V | a | COP | COP | | | | | | | | | 731 | 2522 | -166 | | | | |
| 3070 | H | 25 | V | a | CAR | CAR | | Tronc-2 | V- | V-Lumbar | | | | | 743 | 2514 | -166 | | | | |
| 3071 | H | 24 | V | a/R | HUM | HSN | <i>Homo neanderthalensis</i> | Mà/Peu | F- | | | | | | 764 | 2484 | -188 | | | | |
| 3072 | H | 24 | V | f | QUE | TES | <i>Testudo sp.</i> | | | | | | | | 730 | 2477 | -172 | | | | |
| 3073 | H | 24 | V | f | MAF | | | Estella | Estella | | | | | | 762 | 2439 | -167 | | | | |

| NUM | Q1 | Q2 | NIV1 | NIV2 | COD1 | COD2 | ESP | UAS | part1 | part 2 | Estat | CO | EP | MAR | X | Y | Z | OR | PEN | ORP | ALT |
|------|----|----|------|------|------|------|------------------------------|--------------|----------|----------|--------------|----|----|-----|-----|------|------|----|-----|-----|-----|
| 3074 | H | 24 | V | a/R | COP | COP | | | | | | | | | 753 | 2445 | -177 | | | | |
| 3075 | H | 24 | V | f | MAF | | | Estella | Estella | | | | | | 762 | 2428 | -168 | | | | |
| 3076 | H | 24 | V | a/R | HUM | HSN | <i>Homo neanderthalensis</i> | Mà/Peu | Mt/Mc | Mt/Mc | | | | | 750 | 2444 | -178 | | | | |
| 3077 | G | 23 | IV | a2 | COP | COP | | | | | | | | | 617 | 2398 | -153 | | | | |
| 3078 | H | 24 | V | a/R | HER | EQU | <i>Equus ferus</i> | Dentició | d- | d- | | | | | 708 | 2476 | -174 | | | | |
| 3079 | H | 24 | V | f | COP | COP | | | | | | | | | 752 | 2477 | -171 | | | | |
| 3080 | H | 24 | V | f | COP | COP | | | | | | | | | 756 | 2482 | -182 | | | | |
| 3081 | H | 24 | V | f | MAF | | | Estella | Estella | | | | | | 761 | 2485 | -180 | | | | |
| 3082 | H | 24 | V | a/R | MAF | | | Estella | Estella | | | | | | 754 | 2431 | -179 | | | | |
| 3083 | H | 24 | V | a/R | MAF | | | Dentició | d- | d- | | | | | 748 | 2438 | -186 | | | | |
| 3084 | H | 24 | V | a/R | MAF | | | Crani | Crani | Crani | Frag | | | | 749 | 2443 | -185 | | | | |
| 3085 | H | 24 | V | a/R | MAF | | | Dentició | d- | d- | | | | | 747 | 2443 | -187 | | | | |
| 3086 | H | 24 | V | a/R | MAF | | | Mà/Peu | Mt/Mc | Mt/Mc | | | | | 741 | 2440 | -184 | | | | |
| 3087 | H | 24 | V | a | MAF | | | Tronc-2 | Costella | Costella | | | | | 729 | 2440 | -194 | | | | |
| 3088 | H | 24 | V | a | MAF | | | Tronc-2 | Costella | Costella | | | | | 720 | 2436 | -198 | | | | |
| 3089 | H | 24 | V | a | MAF | | | Determinable | | Os Llarg | | | | | 717 | 2423 | -198 | | | | |
| 3090 | H | 24 | V | a/R | CAR | CAR | | Mà/Peu | F- | F- | | | | | 748 | 2440 | -182 | | | | |
| 3091 | H | 24 | V | g | COP | COP | | | | | | | | | 700 | 2454 | -216 | | | | |
| 3092 | H | 24 | V | g | MAF | | | Dentició | d- | d- | | | | | 745 | 2410 | -192 | | | | |
| 3093 | H | 24 | V | g | MAF | | | Estella | Estella | | | | | | 750 | 2425 | -194 | | | | |
| 3094 | H | 25 | V | a | OSL | | | | | | | | | | 757 | 2560 | -170 | | | | |
| 3095 | G | 24 | V | a | MAF | | | Determinable | | Os indet | | | | | 689 | 2460 | -167 | | | | |
| 3096 | G | 24 | V | a | MAF | | | Estella | Estella | | | | | | 673 | 2478 | -168 | | | | |
| 3097 | G | 24 | V | a | MAF | | | Estella | Estella | | | | | | 660 | 2480 | -169 | | | | |
| 3098 | G | 24 | V | a | MAF | | | Estella | Estella | | | | | | 649 | 2490 | -170 | | | | |
| 3099 | G | 24 | V | a | HER | BOS | <i>Bos primigenius</i> | Dentició | d- | d- | | | | | 640 | 2470 | -170 | | | | |
| 3100 | G | 24 | V | a | MAF | | | Estella | Estella | | | | | | 620 | 2455 | -170 | | | | |
| 3101 | G | 24 | V | a | MAF | | | Estella | Estella | | | | | | 630 | 2410 | -170 | | | | |
| 3102 | H | 25 | V | a | MAF | | | Dentició | d- | d- | | | | | 778 | 2588 | -154 | | | | |
| 3103 | H | 25 | V | a | ULT | ULT | Silex | | | | | | | | 778 | 2540 | -154 | | | | |
| 3104 | H | 25 | V | a | COP | COP | | | | | | | | | 758 | 2557 | -163 | | | | |
| 3105 | H | 25 | V | a | MAF | | | Estella | Estella | | | | | | 726 | 2532 | -160 | | | | |
| 3106 | H | 25 | V | a | HER | EQU | <i>Equus ferus</i> | Dentició | d- | d- | | | | | 716 | 2549 | -164 | | | | |
| 3107 | H | 25 | V | a | HER | CCD | <i>Cervus elaphus</i> | Dentició | d- | d- | | | | | 720 | 2558 | -165 | | | | |
| 3108 | H | 25 | V | a | MAF | | | Estella | Estella | | | | | | 723 | 2561 | -165 | | | | |
| 3109 | H | 25 | V | a | MAF | | | Estella | Estella | | | | | | 741 | 2558 | -167 | | | | |
| 3110 | H | 25 | V | a | MAF | | | Estella | Estella | | | | | | 721 | 2563 | -170 | | | | |
| 3111 | H | 25 | V | a | OSL | | | | | | | | | | 725 | 2530 | -170 | | | | |
| 3112 | H | 25 | V | a | MAF | | | Estella | Estella | | | | | | 781 | 2571 | -157 | | | | |
| 3113 | H | 25 | V | a | MAF | | | Estella | Estella | | | | | | 776 | 2553 | -162 | | | | |
| 3114 | H | 25 | V | a | MAF | | | Ext Indet | | | Frag diàfisi | | | | 768 | 2585 | -164 | | | | |
| 3115 | G | 24 | V | f | COP | COP | | | | | | | | | 690 | 2467 | -177 | | | | |
| 3116 | G | 24 | V | f | COP | COP | | | | | | | | | 681 | 2466 | -177 | | | | |
| 3117 | G | 24 | V | f | COP | COP | | | | | | | | | 679 | 2462 | -178 | | | | |
| 3118 | G | 24 | V | f | COP | COP | | | | | | | | | 678 | 2465 | -178 | | | | |
| 3119 | G | 24 | V | f | COP | COP | | | | | | | | | 677 | 2463 | -179 | | | | |
| 3120 | G | 24 | V | f | COP | COP | | | | | | | | | 671 | 2457 | -180 | | | | |
| 3121 | G | 24 | V | f | COP | COP | | | | | | | | | 663 | 2461 | -180 | | | | |
| 3122 | G | 24 | V | f | COP | COP | | | | | | | | | 664 | 2468 | -180 | | | | |
| 3123 | H | 25 | V | f | MAF | | | Crani | Crani | Crani | Frag | | | | 725 | 2534 | -179 | | | | |
| 3124 | H | 25 | V | f | COP | COP | | | | | | | | | 738 | 2527 | -180 | | | | |
| 3125 | H | 25 | V | f | MAF | | | Estella | Estella | | | | | | 744 | 2543 | -180 | | | | |
| 3126 | H | 25 | V | f | MAF | | | Mà/Peu | Art- | | | | | | 758 | 2565 | -175 | | | | |

| NUM | Q1 | Q2 | NIV1 | NIV2 | COD1 | COD2 | ESP | UAS | part1 | part 2 | Estat | CO | EP | MAR | X | Y | Z | OR | PEN | ORP | ALT |
|------|----|----|------|------|------|------|------------------------------|----------|-----------|-----------|-------|----|----|-----|-----|------|------|----|-----|-----|-----|
| 3127 | H | 25 | V | f | COP | COP | | | | | | | | | 741 | 2565 | -183 | | | | |
| 3128 | H | 25 | V | f | MAF | | | Estella | Estella | | | | | | 738 | 2584 | -179 | | | | |
| 3129 | G | 24 | V | f | COP | COP | | | | | | | | | 653 | 2486 | -183 | | | | |
| 3130 | H | 25 | V | f | OSL | | | | | | | | | | 740 | 2547 | -186 | | | | |
| 3131 | H | 25 | V | f | HUM | HSN | <i>Homo neanderthalensis</i> | Crani | Mandibula | Mandibula | | | | | 743 | 2536 | -186 | | | | |
| 3132 | G | 24 | V | f | COP | COP | | | | | | | | | 649 | 2493 | -179 | | | | |
| 3133 | G | 24 | V | f | COP | COP | | | | | | | | | 644 | 2488 | -181 | | | | |
| 3134 | G | 24 | V | f | COP | COP | | | | | | | | | 648 | 2484 | -179 | | | | |
| 3135 | G | 24 | V | f | COP | COP | | | | | | | | | 651 | 2478 | -182 | | | | |
| 3136 | G | 24 | V | f | HUM | HSN | <i>Homo neanderthalensis</i> | Mà/Peu | F- | F- | | | | | 651 | 2477 | -177 | | | | |
| 3137 | G | 24 | V | f | ULT | ULT | Silex | | Ascle | | | | | | 655 | 2472 | -175 | | | | |
| 3138 | G | 24 | V | f | COP | COP | | | | | | | | | 643 | 2474 | -182 | | | | |
| 3139 | G | 24 | V | f | COP | COP | | | | | | | | | 645 | 2463 | -186 | | | | |
| 3140 | G | 24 | V | f | HER | BOS | <i>Bos primigenius</i> | Dentició | d- | d- | | | | | 652 | 2460 | -190 | | | | |
| 3141 | H | 25 | V | f | MAF | | | Estella | Estella | | | | | | 740 | 2536 | -181 | | | | |
| 3142 | G | 24 | II | | MMM | | | | | | | | | | | | -80 | | | | |
| 3143 | G | 24 | II | | MMM | | | | | | | | | | | | -90 | | | | |
| 3144 | G | 24 | II | | MMM | | | | | | | | | | | | -98 | | | | |
| 3145 | H | 25 | V | f | MAF | | | Estella | Estella | | | | | | 741 | 2537 | -186 | | | | |
| 3146 | H | 25 | V | f | COP | COP | | | | | | | | | 719 | 2554 | -172 | | | | |
| 3147 | H | 25 | V | f | QUE | TES | <i>Testudo sp.</i> | Estella | Estella | | | | | | 723 | 2554 | -185 | | | | |
| 3148 | H | 25 | V | f | MAF | | | Estella | Estella | | | | | | 725 | 2552 | -175 | | | | |
| 3149 | H | 25 | V | f | MAF | | | Estella | Estella | | | | | | 738 | 2562 | -182 | | | | |
| 3150 | H | 25 | V | f | MAF | | | Estella | Estella | | | | | | 762 | 2563 | -180 | | | | |
| 3151 | H | 25 | V | f | MAF | | | Estella | Estella | | | | | | 769 | 2581 | -171 | | | | |
| 3152 | H | 25 | V | f | COP | COP | | | | | | | | | 725 | 2565 | -187 | | | | |
| 3153 | H | 25 | V | f | COP | COP | | | | | | | | | 735 | 2549 | -188 | | | | |
| 3154 | H | 25 | V | f | COP | COP | | | | | | | | | 732 | 2538 | -183 | | | | |
| 3155 | H | 25 | V | f | COP | COP | | | | | | | | | 749 | 2551 | -182 | | | | |
| 3156 | H | 25 | V | f | COP | COP | | | | | | | | | 747 | 2564 | -180 | | | | |
| 3157 | H | 25 | V | f | COP | COP | | | | | | | | | 745 | 2564 | -182 | | | | |
| 3158 | G | 24 | V | a/R | MAF | | | Estella | Estella | | | | | | 698 | 2485 | -197 | | | | |
| 3159 | G | 24 | V | g | COP | COP | | | | | | | | | 678 | 2476 | -206 | | | | |
| 3160 | G | 24 | V | g | ULT | ULT | Silex | | Rascadora | | | | | | 664 | 2486 | -195 | | | | |
| 3161 | G | 24 | V | f | COP | COP | | | | | | | | | 661 | 2494 | -177 | | | | ROS |
| 3162 | G | 24 | V | g | MAF | | | Estella | Estella | | | | | | 642 | 2497 | -164 | | | | |
| 3163 | G | 24 | V | g | COP | COP | | | | | | | | | 645 | 2466 | -185 | | | | |
| 3164 | G | 24 | V | g | MAF | | | Estella | Estella | | | | | | 651 | 2470 | -193 | | | | |
| 3165 | G | 24 | V | g | COP | COP | | | | | | | | | 660 | 2460 | -196 | | | | |
| 3166 | G | 24 | V | g | MAF | | | Mà/Peu | Art- | | | | | | 661 | 2457 | -198 | | | | |
| 3167 | G | 24 | V | a/R | HER | EQU | <i>Equus ferus</i> | Mà/Peu | F- | F-2 | | | | | 668 | 2453 | -202 | | | | |
| 3168 | G | 24 | V | a/R | MAF | | | Dentició | d- | d- | | | | | 671 | 2448 | -201 | | | | |
| 3169 | G | 24 | V | g | MAF | | | | | | | | | | 667 | 2446 | -197 | | | | |
| 3170 | G | 24 | V | g | COP | COP | | | | | | | | | 646 | 2465 | -185 | | | | |
| 3171 | G | 24 | V | a/R | HER | OVI | Ovicapri | Mà/Peu | Mt/Mc | Mt | | | | | 650 | 2428 | -200 | | | | |
| 3172 | G | 24 | V | a/R | CAR | CAR | | Mà/Peu | F- | F- | | | | | 643 | 2427 | -199 | | | | |
| 3173 | G | 24 | V | a/R | MAF | | | | | | | | | | 618 | 2407 | -212 | | | | |
| 3174 | G | 24 | V | g | HER | EQU | <i>Equus ferus</i> | Dentició | d- | d-Dp | | | | | 655 | 2423 | -204 | | | | |
| 3175 | G | 24 | V | a/R | CAR | LYX | <i>Lynx pardinus</i> | Dentició | d- | d-C | | | | | 618 | 2415 | -203 | | | | |
| 3176 | G | 24 | V | a/R | CAR | CAR | | Mà/Peu | F- | F-3 | | | | | 620 | 2407 | -197 | | | | |
| 3177 | G | 24 | V | a/R | CAR | CAR | | | | | | | | | 668 | 2459 | -195 | | | | |
| 3178 | G | 24 | V | g | COP | COP | | | | | | | | | 655 | 2490 | -198 | | | | |
| 3179 | H | 25 | V | f | ULT | ULT | Silex | | Ascle | | | | | | 740 | 2540 | -186 | | | | |

| NUM | Q1 | Q2 | NIV1 | NIV2 | COD1 | COD2 | ESP | UAS | part1 | part 2 | Estat | CO | EP | MAR | X | Y | Z | OR | PEN | ORP | ALT |
|------|-------|----|------|-----------------|------|------|------------------------|--------------|-----------|------------|---------|----|-----|-----|-----|------|---|----|-----|-----|------|
| 3392 | H | 25 | V | f | COP | COP | | | | | | | | | | | | | | | |
| 3393 | H/G | 24 | XXIV | | COP | COP | | | | | | | | | | | | | | | |
| 3394 | G | 25 | III | a | COP | COP | | | | | | | | | | | | | | | |
| 3395 | G | 25 | III | a | COP | COP | | | | | | | | | | | | | | | |
| 3396 | G | 25 | XXIV | | HER | EQU | <i>Equus ferus</i> | Determinable | | Os Llarg | | | | | 656 | 2500 | | | | | |
| 3397 | G | 24 | II | | MMM | | Planxa | | 4a Placa | | | | | | | | | | | | -105 |
| 3397 | G | 24 | II | | | | | | | | | | | | | | | | | | -105 |
| 3398 | G | 24 | II | | MMM | | Planxa | | 5a Placa | | | | | | | | | | | | -110 |
| 3398 | G | 24 | II | | | | | | | | | | | | | | | | | | -110 |
| 3399 | G | 23 | II | | MMM | | Planxa | | | | | | | | | | | | | | -85 |
| 3399 | G | 23 | II | | | | | | | | | | | | | | | | | | -85 |
| 3400 | G | 23 | II | | MMM | | Planxa | | | | | | | | | | | | | | -90 |
| 3400 | G | 23 | II | | | | | | | | | | | | | | | | | | -90 |
| 3401 | G | 23 | II | | MMM | | Planxa | | | | | | | | | | | | | | -93 |
| 3401 | G | 23 | II | | | | | | | | | | | | | | | | | | -93 |
| 3426 | X-W1a | | I | b _{2a} | MMM | | Mostra Carbonats | | Paviment | | | | | | | | | | | | -73 |
| 3427 | X-W1a | | Rem | | MET | | Ferro | | | | | | | | | | | | | | -72 |
| 3428 | F | 21 | I | c | MES | LEP | Lepòrid | Tronc | Pelvis ? | Pelvis? | | | | | 597 | 2145 | | | | | -77 |
| 3429 | F | 21 | I | c | CRM | MMD | CrM-Moderna | | | Oxidada | Informe | | | | 585 | 2160 | | | | | -73 |
| 3430 | F | 21 | I | c | CRM | MMD | CrM-Moderna | | | Oxidada | Informe | | | | 535 | 2177 | | | | | -80 |
| 3431 | F | 21 | I | c | MET | | Pila | | | | | | | | 573 | 2153 | | | | | -77 |
| 3432 | G | 21 | I | c | MET | | Ferro | | | | | | | | 606 | 2145 | | | | | -80 |
| 3433 | F | 21 | I | c | CRM | TEU | CrM-Teula | | | | | | | | 525 | 2175 | | | | | -87 |
| 3434 | G | 21 | I | c | MLF | | Petxina | | | | | | | | 608 | 2120 | | | | | -80 |
| 3435 | G | 21 | I | c | MLF | | Petxina | | | | | | | | 603 | 2163 | | | | | -84 |
| 3436 | G | 21 | I | c | VIT | | Vidre | | | | | | | | 606 | 2157 | | | | | -85 |
| 3437 | I | 24 | III | a | COP | COP | | | | | | | | | 821 | 2420 | | | | | -128 |
| 3438 | I | 24 | III | a | COP | COP | | | | | | | | | 837 | 2403 | | | | | -127 |
| 3439 | I | 24 | III | a | COP | COP | | | | | | | | | 843 | 2422 | | | | | -127 |
| 3440 | I | 24 | III | a | COP | COP | | | | | | | | | 850 | 2412 | | | | | -127 |
| 3441 | I | 24 | III | a | MES | LEP | Lepòrid | Crani | Mandibula | Mandibula | | | | | 832 | 2413 | | | | | -127 |
| 3442 | F | 21 | I | c | CRM | MMD | CrM-Moderna | | | Vidriada | | | | | 555 | 2190 | | | | | -103 |
| 3443 | F | 21 | I | c | VIT | | Vidre | | | | | | | | 576 | 2194 | | | | | -100 |
| 3444 | F | 25 | I | a | HUM | HSS | <i>Homo sapiens</i> | Tronc-2 | V- | V-Cervical | | | | | 594 | 2510 | | | | | -80 |
| 3445 | I | 24 | III | b | COP | COP | | | | | | | | | 815 | 2431 | | | | | -131 |
| 3446 | I | 24 | III | b | COP | COP | | | | | | | | | 822 | 2426 | | | | | -131 |
| 3447 | I | 24 | III | b | COP | COP | | | | | | | | | 830 | 2402 | | | | | -130 |
| 3448 | I | 24 | III | b | COP | COP | | | | | | | | | 838 | 2410 | | | | | -130 |
| 3449 | G | 25 | IV | a | OSL | | OSL | | | | EC-4 | | | | 655 | 2560 | | | | | -159 |
| 3450 | G | 25 | IV | a | TRC | | Mostra sediment cremat | | | | EC-4 | | | | 680 | 2550 | | | | | -157 |
| 3451 | G | 21 | II | | CAR | CAR | | Mà/Peu | F- | F- | | | | | 603 | 2100 | | | | | -83 |
| 3452 | F | 22 | III | a | MES | LEP | Lepòrid | Crani | Crani | Crani | | | | | 541 | 2213 | | | | | -109 |
| 3453 | F | 22 | III | a | COP | COP | | | | | | | | | 553 | 2220 | | | | | -114 |
| 3454 | F | 22 | III | a | COP | COP | | | | | | | | | 560 | 2221 | | | | | -114 |
| 3455 | F | 22 | III | a | MAF | | | Estella | Estella | | | | | | 574 | 2220 | | | | | -111 |
| 3456 | F | 22 | III | a | COP | COP | | | | | | | | | 549 | 2241 | | | | | -107 |
| 3457 | F | 22 | III | a | MES | LEP | Lepòrid | Crani | Mandibula | Mandibula | | | esq | | 566 | 2242 | | | | | -109 |
| 3458 | F | 22 | III | a | MAF | | | Estella | Estella | | | | | | 564 | 2273 | | | | | -113 |
| 3459 | F | 22 | III | a | MCV | | | | | | | | | | 565 | 2281 | | | | | -113 |
| 3460 | F | 22 | III | a | MES | LEP | Lepòrid | Crani | Mandibula | Mandibula | | | | | 583 | 2295 | | | | | -110 |
| 3461 | F | 23 | III | a | MAF | | | Estella | Estella | | | | | | 552 | 2406 | | | | | -114 |
| 3462 | I | 24 | III | | MES | LEP | Lepòrid | Crani | Mandibula | Mandibula | | | | | 839 | 2414 | | | | | -135 |
| 3463 | I | 24 | III | a | COP | COP | | | | | | | | | 813 | 2431 | | | | | -135 |

| NUM | Q1 | Q2 | NIV1 | NIV2 | COD1 | COD2 | ESP | UAS | part1 | part 2 | Estat | CO | EP | MAR | X | Y | Z | OR | PEN | ORP | ALT |
|------|----|----|---------|------|------|------|------------------------|----------|-----------|-----------|------------------|----|----|-----|-----|------|------|----|-----|-----|-----|
| 3464 | I | 24 | III | a | COP | COP | | | | | | | | | 858 | 2407 | -131 | | | | |
| 3465 | I | 24 | III | a | COP | COP | | | | | | | | | 852 | 2405 | -130 | | | | |
| 3466 | I | 24 | III | a | COP | COP | | | | | | | | | 853 | 2412 | -130 | | | | |
| 3467 | F | 22 | III | a | MAF | | | Estella | Estella | | | | | | 551 | 2280 | -113 | | | | |
| 3468 | F | 22 | III | a | MAF | | | Estella | Estella | | | | | | 552 | 2287 | -113 | | | | |
| 3469 | G | 25 | IV | a | MES | LEP | Lepòrid | Crani | Maxil-lar | | | | | | 697 | 2533 | -158 | | | | |
| 3470 | G | 25 | IV | a | MES | LEP | Lepòrid | Crani | Mandíbula | Mandíbula | | | | | 700 | 2540 | -158 | | | | |
| 3471 | G | 25 | IV | a | CAR | CAR | | | Ròtula | | | | | | 700 | 2565 | -160 | | | | |
| 3472 | G | 25 | IV | a | HER | EQU | <i>Equus ferus</i> | Tronc-2 | V- | | | | | | 678 | 2596 | -151 | | | | |
| 3473 | G | 25 | IV | a | COP | COP | | | | | | | | | 680 | 2539 | -159 | | | | |
| 3474 | G | 25 | IV | a | COP | COP | | | | | | | | | 677 | 2552 | -159 | | | | |
| 3475 | G | 25 | IV | a | COP | COP | | | | | | | | | 680 | 2556 | -160 | | | | |
| 3476 | G | 25 | IV | a | COP | COP | | | | | | | | | 672 | 2569 | -160 | | | | |
| 3477 | G | 25 | IV | a | MCV | | | | | | | | | | 680 | 2526 | -159 | | | | |
| 3478 | G | 25 | IV | a | CAR | LYX | <i>Lynx pardinus</i> ? | Mà/Peu | F- | F-2 | | | | | 678 | 2528 | -158 | | | | |
| 3479 | G | 25 | IV | a | COP | COP | | | | | | | | | 649 | 2529 | -158 | | | | |
| 3480 | G | 25 | IV | a | CAR | LYX | <i>Lynx pardinus</i> ? | Mà/Peu | F- | F- | | | | | 646 | 2542 | -159 | | | | |
| 3481 | G | 25 | XXIV-IV | | HUM | HSS | <i>Homo sapiens</i> | Mà/Peu | F- | F-1 peu | | | | | | | | | | | |
| 3482 | G | 21 | II | | CAR | CAR | | Tronc | Pelvis? | Pelvis? | | | | | 608 | 2194 | -90 | | | | |
| 3483 | G | 25 | IV | a | MCV | | | | | | | | | | 668 | 2516 | -159 | | | | |
| 3484 | G | 25 | IV | a | MCV | | | | | | | | | | 682 | 2522 | -160 | | | | |
| 3485 | G | 25 | IV | a | CAR | CAR | | Tronc-2 | V- | | | | | | 695 | 2530 | -160 | | | | |
| 3486 | G | 25 | IV | a | CAR | CAR | | Mà/Peu | Mt/Mc | Mt/Mc | Ep dist+tram med | | | | 699 | 2531 | -159 | | | | |
| 3487 | H | 25 | IV | a | CAR | CAR | | Tronc-2 | V- | | | | | | 703 | 2526 | -158 | | | | |
| 3488 | H | 25 | IV | a | CAR | LYX | <i>Lynx pardinus</i> ? | Peu | Calcani | | | | | | 706 | 2530 | -158 | | | | |
| 3489 | G | 25 | IV | a | MAF | | | Estella | Estella | | | | | | 666 | 2570 | -161 | | | | |
| 3490 | G | 25 | IV | a | CAR | CAR | | Tronc-2 | V- | | | | | | 664 | 2568 | -161 | | | | |
| 3491 | G | 25 | IV | a | CAR | CAR | | Mà/Peu | F- | F- | | | | | 656 | 2574 | -161 | | | | |
| 3492 | G | 25 | IV | a | MAF | | | Mà/Peu | Art- | | | | | | 648 | 2559 | -161 | | | | |
| 3493 | G | 25 | IV | a | CAR | CAR | | Tronc-2 | V- | | | | | | 641 | 2554 | -160 | | | | |
| 3494 | G | 25 | IV | a | CAR | CAR | | Mà/Peu | F- | F-3 | | | | | 646 | 2549 | -160 | | | | |
| 3495 | G | 25 | IV | a | MAF | | | Tronc-2 | Costella? | Costella? | | | | | 638 | 2540 | -159 | | | | |
| 3496 | G | 25 | XXIV | | HER | EQU | <i>Equus/Bos?</i> | | | | | | | | 640 | 2593 | -158 | | | | |
| 3497 | I | 25 | XXV | | CRM | CRM | Crm-Mà | | | | | | | | 805 | 2505 | -61 | | | | |
| 3498 | I | 25 | XXV | | CRM | CRM | Crm-Mà | | | | | | | | 807 | 2506 | -64 | | | | |
| 3499 | I | 25 | XXV | | CRM | CRM | Crm-Mà | | | | | | | | 809 | 2508 | -65 | | | | |
| 3500 | I | 25 | XXV | | MCV | | | | | | | | | | 817 | 2520 | -63 | | | | |
| 3501 | I | 25 | XXV | | MMM | | Mostra sediment | | | | | | | | 818 | 2500 | -64 | | | | |
| 3502 | G | 25 | IV | a | MAF | | | Ext Ant | Húmer? | | Ep dist+tram prx | | | | 670 | 2505 | -152 | 30 | | | |
| 3503 | G | 25 | IV | a | MAF | | | Tronc-2 | Costella | Costella | | | | | 663 | 2504 | -151 | 0 | | | |
| 3504 | H | 25 | IV | a | CAR | CAR | | Tronc-2 | V- | | | | | | 705 | 2524 | -160 | | | | |
| 3505 | G | 25 | IV | a | CAR | CAR | | Tronc-2 | Costella | Costella | | | | | 683 | 2556 | -163 | | | | |
| 3506 | G | 25 | IV | a | MAF | | | Dentició | d- | d- | | | | | 690 | 2570 | -164 | | | | |
| 3507 | G | 25 | IV | a | MAF | | | Dentició | d- | d- | | | | | 683 | 2547 | -163 | | | | |
| 3508 | G | 25 | IV | a | COP | COP | | | | | | | | | 657 | 2563 | -163 | | | | |
| 3509 | G | 25 | IV | a | CAR? | CAR | | Dentició | d- | d- | | | | | 652 | 2559 | -161 | | | | |
| 3510 | G | 25 | IV | a | MAF | | | Estella | Estella | | | | | | 647 | 2531 | -162 | | | | |
| 3511 | G | 25 | IV | a | CAR | CAR | | Mà/Peu | F- | F- 1 | | | | | 635 | 2509 | -159 | | | | |
| 3512 | G | 25 | IV | a | CAR | CAR | | Mà/Peu | F- | F-2 | | | | | 638 | 2510 | -159 | | | | |
| 3513 | G | 25 | IV | a | CAR | CAR | | Mà/Peu | F- | F-3 | | | | | 639 | 2506 | -159 | | | | |
| 3514 | G | 25 | IV | a | CAR | CAR | | Mà/Peu | F- | F-2 | | | | | 625 | 2503 | -159 | | | | |
| 3515 | G | 25 | IV | a | CAR | CAR | | Mà/Peu | F- | F-3 | | | | | 626 | 2501 | -159 | | | | |
| 3516 | G | 25 | IV | a | COP | COP | | | | | | | | | 617 | 2502 | -158 | | | | |

| NUM | Q1 | Q2 | NIV1 | NIV2 | COD1 | COD2 | ESP | UAS | part1 | part 2 | Estat | CO | EP | MAR | X | Y | Z | OR | PEN | ORP | ALT |
|------|----|----|------|---------|------|------|------------------------|--------------|----------|------------------|-----------------|-----|--------|-----|-----|------|------|----|-----|-----|-----|
| 3517 | G | 25 | IV | a | CAR | LYX | <i>Lynx pardinus</i> ? | Mà/Peu | F- | F-3 | | | | | 668 | 2505 | -160 | | | | |
| 3518 | G | 25 | IV | a | CAR | LYX | <i>Lynx pardinus</i> ? | Mà/Peu | F- | F-3 | | | | | 670 | 2507 | -160 | | | | |
| 3519 | F | 21 | XXV | Remenat | HUM | HSS | <i>Homo sapiens</i> | Dentició | d- | d-M2 inf | | esq | | | | | | | | | |
| 3520 | F | 21 | XXV | Remenat | HUM | HSS | <i>Homo sapiens</i> | Dentició | d- | d-C sup | | drt | | | | | | | | | |
| 3521 | F | 21 | XXV | Remenat | HUM | HSS | <i>Homo sapiens</i> | Dentició | d- | d-C sup decidual | | esq | | | | | | | | | |
| 3522 | G | 25 | IV | a | CAR | CAR | | Mà/Peu | F- | F-2 | | | | | 626 | 2508 | -159 | | | | |
| 3523 | G | 25 | IV | a | CAR | CAR | | Mà/Peu | F- | F-2 | | | | | 633 | 2512 | -160 | | | | |
| 3524 | G | 25 | IV | a | CAR | CAR | | Mà/Peu | F- | F-3 | | | | | 629 | 2511 | -159 | | | | |
| 3525 | G | 25 | IV | a | MAF | | | Estella | Estella | | | | | | 673 | 2514 | -161 | | | | |
| 3526 | G | 25 | IV | a | MAF | | | Estella | Estella | | | | | | 672 | 2519 | -161 | | | | |
| 3527 | G | 25 | IV | a | MAF | | | Estella | Estella | | | | | | 686 | 2536 | -163 | | | | |
| 3528 | G | 25 | IV | a | COP | COP | | | | | | | | | 669 | 2551 | -160 | | | | |
| 3529 | G | 25 | IV | a | MAF | | | Tronc-2 | V- | | | | | | 679 | 2550 | -164 | | | | |
| 3530 | G | 25 | IV | a | MAF | | | Estella | Estella | | | | | | 674 | 2563 | -165 | | | | |
| 3531 | G | 25 | IV | a | MAF | | | Estella | Estella | | | | | | 698 | 2572 | -164 | | | | |
| 3532 | G | 25 | IV | a | CAR | CAR | | Mà/Peu | Art- | | | | | | 681 | 2577 | -164 | | | | |
| 3533 | G | 25 | IV | a | CAR | CAR | | Tronc-2 | V- | | | | | | 675 | 2572 | -165 | | | | |
| 3534 | G | 25 | IV | a | CAR | CAR | | Tronc-2 | Costella | Costella | | | | | 670 | 2568 | -164 | | | | |
| 3535 | G | 25 | IV | a | MCV | | | | | | | | | | 676 | 2579 | -162 | | | | |
| 3536 | G | 25 | IV | a | COP | COP | | | | | | | | | 668 | 2574 | -164 | | | | |
| 3537 | F | 21 | III | b | MAF | | | Determinable | | Os indet | | | | | 560 | 2128 | -100 | | | | |
| 3538 | F | 21 | III | b | CAR | CAR | | Mà/Peu | Mt/Mc | Mt/Mc | Sencer | | des | | 580 | 2130 | -98 | | | | |
| 3539 | G | 25 | IV | a | MAF | | | Determinable | | Os det | | | | | 672 | 2530 | -164 | | | | |
| 3540 | G | 25 | IV | a | CAR | CAR | | Mà/Peu | F- | F-3 | | | | | 677 | 2528 | -161 | | | | |
| 3541 | G | 25 | IV | a | CAR | CAR | | Tronc-2 | V- | | | | des | | 678 | 2533 | -161 | | | | |
| 3542 | G | 25 | IV | a | MAF | | | Estella | Estella | | | | | | 674 | 2545 | -162 | | | | |
| 3543 | G | 25 | IV | a | MAF | | | Determinable | | Os Llarg | | | | | 669 | 2548 | -164 | | | | |
| 3544 | G | 25 | IV | a | MAF | | | Tronc-2 | Costella | Costella | | | | | 670 | 2557 | -164 | | | | |
| 3545 | G | 25 | IV | a | CAR | CAR | | Mà/Peu | F- | F- 1 | | | | | 697 | 2586 | -164 | | | | |
| 3546 | G | 25 | IV | a | MCV | | | | | | | | | | 688 | 2588 | -165 | | | | |
| 3547 | I | 24 | XXV | | HUM | HSS | <i>Homo sapiens</i> | Ext Ant | Cúbit | Cúbit | | esq | | | 850 | 2447 | -83 | | | | |
| 3548 | I | 24 | XXV | | HUM | HSS | <i>Homo sapiens</i> | Ext Post | Fèmur | Fèmur | Ep prx | | des | | 853 | 2452 | -83 | | | | |
| 3549 | I | 24 | XXV | | HUM | HSS | <i>Homo sapiens</i> | Tronc-2 | Costella | Costella | Frag | esq | | | 852 | 2448 | -85 | | | | |
| 3550 | I | 24 | XXV | | HUM | HSS | <i>Homo sapiens</i> | Dentició | d- | d-I1 inf | | ind | | | 851 | 2449 | -84 | | | | |
| 3551 | I | 24 | XXV | | HUM | HSS | <i>Homo sapiens</i> | Mà/Peu | F- | F-1 mà | Ep prx+tram med | | | | 862 | 2452 | -82 | | | | |
| 3552 | I | 24 | XXV | | HUM | HSS | <i>Homo sapiens</i> | Mà/Peu | Mt/Mc | Mt | | ind | | | 863 | 2457 | -87 | | | | |
| 3553 | I | 24 | XXV | | HUM | HSS | <i>Homo sapiens</i> | Tronc-2 | Costella | Costella | Frag | | | | 867 | 2458 | -79 | | | | |
| 3554 | I | 24 | XXV | | CRM | BRZ | Crm-Bronze | | | Brunyida | Informe | | | | 880 | 2467 | -80 | | | | |
| 3555 | I | 24 | XXV | | CRM | BRZ | Crm-Bronze | | | Brunyida | Infrome | | | | 882 | 2469 | -81 | | | | |
| 3556 | I | 24 | XXV | | CRM | BRZ | Crm-Bronze | Peu | Brunyida | | Vora | | | | 885 | 2472 | -79 | | | | |
| 3557 | I | 24 | XXV | | MLF | | Petxina | | | | | | Rodado | | 889 | 2477 | -79 | | | | |
| 3558 | I | 24 | III | a | COP | COP | | | | | Frag | | | | 842 | 2425 | -143 | | | | |
| 3559 | I | 24 | III | a | COP | COP | | | | | Frag | | | | 850 | 2425 | -142 | | | | |
| 3560 | I | 24 | III | a | COP | COP | | | | | Frag | | | | 855 | 2423 | -140 | | | | |
| 3561 | I | 24 | III | a | COP | COP | | | | | Frag | | | | 861 | 2403 | -144 | | | | |
| 3562 | I | 24 | III | a | COP | COP | | | | | Frag | | | | 852 | 2418 | -145 | | | | |
| 3563 | I | 24 | III | a | COP | COP | | | | | Frag | | | | 838 | 2417 | -145 | | | | |
| 3564 | F | 21 | III | b | CAR | LYX | <i>Lynx pardinus</i> ? | Mà/Peu | F- | F- | | | | | 595 | 2140 | -93 | | | | |
| 3565 | F | 20 | III | b | CAR | PAN | <i>F. panthera</i> ? | Mà/Peu | Mt/Mc | Mt/Mc | Sencer | | | | 567 | 2084 | -93 | | | | |
| 3566 | I | 24 | III | c | MMM | | Fitòlits | | | | | | | | 830 | 2437 | -119 | | | | |
| 3567 | I | 24 | III | e | MMM | | Fitòlits | | | | | | | | 820 | 2436 | -126 | | | | |
| 3568 | G | 25 | IV | a | CAR | CAR | | Mà/Peu | F- | F-3 | | | | | 629 | 2520 | -162 | | | | |
| 3569 | G | 25 | IV | a | MAF | | | Estella | Estella | | | | | | 656 | 2554 | -165 | | | | |

| NUM | Q1 | Q2 | NIV1 | NIV2 | COD1 | COD2 | ESP | UAS | part1 | part 2 | Estat | CO | EP | MAR | X | Y | Z | OR | PEN | ORP | ALT |
|------|----|----|------|------|------|------|-----------------------|--------------|-----------|-----------|--------|----|----|-----|-----|------|------|----|-----|-----|-----|
| 3570 | G | 25 | IV | a | MAF | | | Estella | Estella | | | | | | 672 | 2553 | -165 | | | | |
| 3571 | G | 25 | IV | a | CAR | CAR | | Tronc-2 | V- | | | | | | 674 | 2558 | -166 | | | | |
| 3572 | G | 25 | IV | a | MAF | | | Mà/Peu | Art- | | | | | | 670 | 2564 | -166 | | | | |
| 3573 | G | 25 | IV | a | COP | COP | | | | | | | | | 665 | 2568 | -165 | | | | |
| 3574 | G | 25 | IV | a | COP | COP | | | | | | | | | 662 | 2571 | -164 | | | | |
| 3575 | G | 25 | IV | a | CAR | CAR | | Tronc-2 | Costella | Costella | | | | | 660 | 2586 | -165 | | | | |
| 3576 | G | 25 | IV | a | MAF | | | Determinable | | Os det | | | | | 666 | 2586 | -166 | | | | |
| 3577 | G | 25 | IV | a | CAR | CAR | | Mà/Peu | F- | F-2 | | | | | 671 | 2581 | -167 | | | | |
| 3578 | G | 25 | XXIV | | MCV | | | | | | | | | | 613 | 2529 | -153 | | | | |
| 3579 | G | 25 | XXIV | | MCV | | | | | | | | | | 620 | 2533 | -156 | | | | |
| 3580 | G | 25 | XXIV | | MCV | | | | | | | | | | 627 | 2540 | -156 | | | | |
| 3581 | G | 25 | XXIV | | OSL | | OSL | | | | | | | | 629 | 2573 | -158 | | | | |
| 3582 | G | 25 | XXIV | | MMM | | Fitòlits | | | | | | | | 629 | 2570 | -158 | | | | |
| 3583 | G | 25 | XXIV | | MMM | | Sediment | | | | | | | | 630 | 2570 | -158 | | | | |
| 3584 | G | 25 | XXIV | | MMM | | Pòl-len | | | | | | | | 630 | 2570 | -158 | | | | |
| 3585 | G | 25 | XXIV | | MAF | | | Determinable | | Os det | | | | | 678 | 2506 | -159 | | | | |
| 3586 | G | 25 | V | a | HER | CCD | <i>Cervus elaphus</i> | Dentició | d- | | Frag | | | | 653 | 2586 | -171 | | | | |
| 3588 | I | 24 | III | a | COP | COP | | | | | | | | | 805 | 2474 | -130 | | | | |
| 3589 | I | 24 | III | a | COP | COP | | | | | | | | | 804 | 2460 | -132 | | | | |
| 3590 | I | 24 | III | a | COP | COP | | | | | | | | | 820 | 2457 | -130 | | | | |
| 3591 | I | 24 | III | a | COP | COP | | | | | | | | | 835 | 2456 | -127 | | | | |
| 3592 | I | 24 | III | a | COP | COP | | | | | | | | | 826 | 2450 | -130 | | | | |
| 3593 | I | 24 | III | a | COP | COP | | | | | | | | | 816 | 2434 | -129 | | | | |
| 3594 | I | 24 | III | a | MCV | | | | | | | | | | 813 | 2432 | -130 | | | | |
| 3595 | I | 24 | III | a | COP | COP | | | | | | | | | 820 | 2430 | -130 | | | | |
| 3596 | I | 24 | III | a | COP | COP | | | | | | | | | 835 | 2432 | -130 | | | | |
| 3597 | I | 24 | III | a | COP | COP | | | | | | | | | 842 | 2437 | -129 | | | | |
| 3598 | I | 24 | III | a | COP | COP | | | | | | | | | 852 | 2437 | -129 | | | | |
| 3599 | G | 25 | IV | a | EST | EST | Estella | | | | | | | | 634 | 2536 | -158 | | | | |
| 3600 | G | 25 | IV | a | CAR | CAR | | Mà/Peu | F- | F- 1 | Sencer | | | | 629 | 2543 | -158 | | | | |
| 3601 | G | 25 | IV | a | HER | CDA | Cèrvid | Dentició | d- | d-M/P | | | | | 637 | 2561 | -160 | | | | |
| 3602 | G | 25 | IV | a | CAR | CAR | | Mà/Peu | F- | F-2 | Sencer | | | | 642 | 2564 | -159 | | | | |
| 3603 | I | 24 | III | a | COP | COP | | | | | | | | | 814 | 2473 | -139 | | | | |
| 3604 | I | 24 | III | a | COP | COP | | | | | | | | | 816 | 2445 | -135 | | | | |
| 3605 | I | 24 | III | a | COP | COP | | | | | | | | | 825 | 2444 | -132 | | | | |
| 3606 | I | 24 | III | a | COP | COP | | | | | | | | | 837 | 2442 | -130 | | | | |
| 3607 | I | 24 | III | a | COP | COP | | | | | | | | | 822 | 2438 | -131 | | | | |
| 3608 | I | 24 | III | a | COP | COP | | | | | | | | | 823 | 2434 | -135 | | | | |
| 3609 | I | 24 | III | a | COP | COP | | | | | | | | | 831 | 2435 | -133 | | | | |
| 3610 | I | 24 | III | a | COP | COP | | | | | | | | | 845 | 2436 | -131 | | | | |
| 3611 | I | 24 | III | a | COP | COP | | | | | | | | | 848 | 2437 | -131 | | | | |
| 3612 | I | 24 | III | a | MCV | | | | | | | | | | 880 | 2441 | -129 | | | | |
| 3613 | I | 24 | III | a | COP | COP | | | | | | | | | 816 | 2443 | -137 | | | | |
| 3614 | I | 24 | III | a | COP | COP | | | | | | | | | 830 | 2447 | -134 | | | | |
| 3615 | I | 24 | III | a | COP | COP | | | | | | | | | 831 | 2438 | -133 | | | | |
| 3616 | I | 24 | III | a | COP | COP | | | | | | | | | 850 | 2447 | -132 | | | | |
| 3617 | I | 24 | III | a | COP | COP | | | | | | | | | 851 | 2446 | -133 | | | | |
| 3618 | I | 24 | III | a | COP | COP | | | | | | | | | 880 | 2441 | -129 | | | | |
| 3619 | I | 24 | II?? | b??? | COP | COP | | | | | | | | | 887 | 2429 | -129 | | | | |
| 3620 | G | 25 | V | a | CON | | Conillera 1. | | | | | | | | 700 | 2505 | -162 | | | | |
| 3621 | I | 24 | III | a | COP | COP | | | | | | | | | 837 | 2462 | -132 | | | | |
| 3622 | I | 24 | III | a | COP | COP | | | | | | | | | 838 | 2448 | -133 | | | | |
| 3623 | I | 24 | III | a | MES | LEP | Lepòrid | Crani | Mandíbula | Mandíbula | | | | | 847 | 2448 | -130 | | | | |

| NUM | Q1 | Q2 | NIV1 | NIV2 | COD1 | COD2 | ESP | UAS | part1 | part 2 | Estat | CO | EP | MAR | X | Y | Z | OR | PEN | ORP | ALT |
|------|----|----|-------|------|------|------|--------------------|----------|------------|-----------------------|--------|----|-----|-----|-----|------|------|----|-----|-----|-----|
| 3624 | I | 24 | III | a | COP | COP | | | | | | | | | 844 | 2425 | -135 | | | | |
| 3625 | I | 24 | III | a | MCV | | | | | | | | | | 860 | 2424 | -136 | | | | |
| 3626 | I | 24 | III | a | COP | COP | | | | | | | | | 858 | 2427 | -135 | | | | |
| 3627 | I | 24 | III | a | COP | COP | | | | | | | | | 865 | 2431 | -133 | | | | |
| 3628 | I | 24 | III | a | COP | COP | | | | | | | | | 872 | 2441 | -132 | | | | |
| 3629 | I | 24 | III-V | a | CON | | Conillera | | | | | | | | | | | | | | |
| 3630 | G | 25 | V | a | MAF | | | Estella | Estella | | | | | | 664 | 2509 | -165 | | | | |
| 3631 | G | 25 | V | a | MAF | | | Estella | Estella | | | | | | 668 | 2521 | -165 | | | | |
| 3632 | G | 25 | V | a | MAF | | | Estella | Estella | | | | | | 649 | 2533 | -165 | | | | |
| 3633 | G | 25 | V | a | ULT | ULT | Silex | | | | | | | | 641 | 2536 | -165 | | | | |
| 3634 | G | 25 | V | a | MAF | | | Estella | Estella | | | | | | 664 | 2537 | -165 | | | | |
| 3635 | G | 25 | V | a | MAF | | | Estella | Estella | | | | | | 683 | 2526 | -164 | | | | |
| 3636 | G | 25 | V | a | COP | COP | | | | | | | | | 676 | 2516 | -165 | | | | |
| 3637 | G | 24 | V | a | HER | EQU | <i>Equus ferus</i> | Dentició | d- | d-M/P inferior | | | | | 662 | 2495 | -167 | | | | |
| 3638 | G | 25 | V | a | MAF | | | Estella | Estella | | | | | | 637 | 2582 | -166 | | | | |
| 3639 | G | 25 | V | a | MAF | | | | | | | | | | 650 | 2564 | -166 | | | | |
| 3640 | G | 25 | V | a | MAF | | | Dentició | d- | | Frag | | | | 662 | 2561 | -168 | | | | |
| 3641 | G | 25 | V | a | MAF | | | Estella | Estella | | | | | | 670 | 2551 | -169 | | | | |
| 3642 | G | 25 | XXIV | | MMM | | | | | Columna sediments EC4 | | | | | 620 | 2590 | -163 | | | | |
| 3643 | I | 24 | III | e | MES | LEP | Lepòrid | Estella | Estella | | | | | | 843 | 2476 | -126 | | | | CRM |
| 3644 | I | 24 | III | a | COP | COP | | | | | | | | | 840 | 2431 | -135 | | | | |
| 3645 | I | 24 | III | a | COP | COP | | | | | | | | | 854 | 2440 | -136 | | | | |
| 3646 | I | 24 | III | a | COP | COP | | | | | | | | | 867 | 2435 | -136 | | | | |
| 3647 | I | 24 | III | a | COP | COP | | | | | | | | | 875 | 2450 | -132 | | | | |
| 3648 | I | 24 | III | a | COP | COP | | | | | | | | | 872 | 2454 | -133 | | | | |
| 3649 | I | 24 | III | a | COP | COP | | | | | | | | | 878 | 2448 | -133 | | | | |
| 3650 | I | 24 | III | a | MAF | | | Estella | Estella | | | | | | 880 | 2436 | -133 | | | | |
| 3651 | I | 24 | III | a | CAR | CAR | | Ext Ant | Húmer | | Ep prx | | des | | 875 | 2424 | -134 | | | | CRM |
| 3652 | G | 24 | V | a | MAF | | | Estella | Estella | | | | | | 669 | 2495 | -166 | | | | |
| 3653 | G | 24 | V | a | AVI | AVI | | Ext Post | Tibio-tras | | | | | | 653 | 2496 | -167 | | | | |
| 3654 | G | 25 | V | a | MAF | | | Estella | Estella | | | | | | 667 | 2507 | -167 | | | | |
| 3655 | G | 25 | V | a | MAF | | | Dentició | d- | | Frag | | | | 685 | 2507 | -166 | | | | |
| 3656 | G | 25 | V | a | MAF | | | Dentició | d- | | Frag | | | | 690 | 2520 | -166 | | | | |
| 3657 | G | 25 | V | a | MAF | | | Dentició | d- | | Frag | | | | 645 | 2521 | -168 | | | | |
| 3658 | G | 25 | V | a | MAF | | | Dentició | d- | | Frag | | | | 638 | 2527 | -168 | | | | |
| 3659 | G | 25 | V | a | MAF | | | Estella | Estella | | | | | | 667 | 2549 | -169 | | | | |
| 3660 | G | 25 | V | a | MAF | | | Crani | Crani | Crani | Frag | | | | 688 | 2550 | -170 | | | | |
| 3661 | G | 25 | V | a | MAF | | | Tronc-2 | Costella | Costella | | | | | 651 | 2560 | -171 | | | | |
| 3662 | G | 24 | V | a | MAF | | | Estella | Estella | | | | | | 696 | 2491 | -164 | | | | |
| 3663 | G | 24 | V | a | MAF | | | Estella | Estella | | | | | | 689 | 2494 | -168 | | | | |
| 3664 | G | 24 | V | a | COP | COP | | | | | | | | | 670 | 2495 | -169 | | | | |
| 3665 | G | 24 | V | a | MAF | | | Estella | Estella | | | | | | 664 | 2496 | -170 | | | | |
| 3666 | G | 25 | V | a | MAF | | | Estella | Estella | | | | | | 660 | 2504 | -171 | | | | |
| 3667 | G | 25 | V | a | MAF | | | Estella | Estella | | | | | | 642 | 2506 | -169 | | | | |
| 3668 | G | 25 | V | a | MAF | | | Estella | Estella | | | | | | 646 | 2520 | -169 | | | | |
| 3669 | G | 25 | V | a | MAF | | | Estella | Estella | | | | | | 680 | 2514 | -158 | | | | |
| 3670 | G | 25 | V | a | HER | CEV | Cèrvid | Dentició | d- | d- | Frag | | | | 696 | 2532 | -169 | | | | |
| 3671 | G | 25 | V | a | MAF | | | Estella | Estella | | | | | | 694 | 2555 | -170 | | | | |
| 3672 | G | 25 | V | a | MAF | | | Estella | Estella | | | | | | 686 | 2551 | -171 | | | | |
| 3673 | G | 25 | V | a | MAF | | | Estella | Estella | | | | | | 676 | 2542 | -171 | | | | |
| 3674 | G | 25 | V | a | MAF | | | Estella | Estella | | | | | | 671 | 2557 | -172 | | | | |
| 3675 | I | 24 | III | e | MES | LEP | Lepòrid | Crani | Mandibula | Mandibula | | | | | 872 | 2465 | -127 | | | | |
| 3676 | I | 24 | III | a | COP | COP | | | | | | | | | 843 | 2427 | -136 | | | | |

| NUM | Q1 | Q2 | NIV1 | NIV2 | COD1 | COD2 | ESP | UAS | part1 | part 2 | Estat | CO | EP | MAR | X | Y | Z | OR | PEN | ORP | ALT |
|------|-----|----|---------|------|------|------|----------------|----------------|---------|----------|--------------|----|----|-----|-----|------|------|----|-----|-----|-----|
| 3677 | I | 24 | III | a | COP | COP | | | | | | | | | 847 | 2456 | -136 | | | | |
| 3678 | I | 24 | III | a | COP | COP | | | | | | | | | 852 | 2458 | -137 | | | | |
| 3679 | I | 24 | III | a | COP | COP | | | | | | | | | 850 | 2457 | -137 | | | | |
| 3680 | G | 24 | V | a | MAF | | | Estella | Estella | | | | | | 687 | 2493 | -170 | | | | |
| 3681 | G | 24 | V | a | MAF | | | Estella | Estella | | | | | | 643 | 2496 | -172 | | | | |
| 3682 | G | 24 | V | a | MAF | | | Ext Post | Fèmur | Fèmur | Ep dist | | | | 630 | 2491 | -171 | | | | |
| 3683 | G | 25 | V | a | QUE | TES | Testudo sp. | Closca/Plastró | Placa | Placa | | | | | 682 | 2507 | -171 | | | | |
| 3684 | G | 25 | V | a | MAF | | | Estella | Estella | | | | | | 673 | 2507 | -171 | | | | |
| 3685 | G | 25 | V | a | MAF | | | Estella | Estella | | | | | | 680 | 2511 | -171 | | | | |
| 3686 | G | 25 | V | a | QUE | TES | Testudo sp. | Closca/Plastró | Placa | Placa | | | | | 684 | 2515 | -171 | | | | |
| 3687 | G | 25 | V | a | MAF | | | Dentició | d- | | Frag | | | | 647 | 2518 | -172 | | | | |
| 3688 | G | 25 | V | a | MAF | | | Dentició | d- | | Frag | | | | 640 | 2521 | -171 | | | | |
| 3689 | G | 25 | V | a | MAF | | | Estella | Estella | | | | | | 647 | 2522 | -170 | | | | |
| 3690 | G | 25 | V | a | MAF | | | Estella | Estella | | | | | | 641 | 2525 | -171 | | | | |
| 3691 | G | 25 | V | a | MAF | | | Dentició | d- | | Frag | | | | 662 | 2533 | -171 | | | | |
| 3692 | G | 25 | V | a | MAF | | | Estella | Estella | | | | | | 670 | 2534 | -173 | | | | |
| 3693 | G | 24 | V | a | COP | COP | | | | | | | | | 693 | 2495 | -171 | | | | |
| 3694 | I | 24 | III | a | COP | COP | | | | | | | | | 834 | 2425 | -139 | | | | |
| 3695 | I | 24 | III | a | MES | LEP | Lepòrid | | | | | | | | 852 | 2440 | -137 | | | | |
| 3696 | I | 24 | III | a | COP | COP | | | | | | | | | 872 | 2450 | -134 | | | | |
| 3697 | G | 25 | V | a | MAF | | | Peu | Calcani | | Frag | | | | 678 | 2513 | -170 | | | | |
| 3698 | H | 25 | V | a | MAF | | | Estella | Estella | | | | | | 704 | 2521 | -164 | | | | |
| 3699 | H | 25 | V | a | MAF | | | Estella | Estella | | | | | | 702 | 2537 | -168 | | | | |
| 3700 | G | 25 | V | a | MAF | | | Estella | Estella | | | | | | 690 | 2534 | -172 | | | | |
| 3701 | G | 25 | V | a | MAF | | | Dentició | d- | d- | | | | | 680 | 2533 | -173 | | | | |
| 3702 | G | 25 | V | a | MAF | | | Dentició | d- | d- | | | | | 670 | 2528 | -172 | | | | |
| 3703 | G | 25 | V | a | MAF | | | | | | Ep det | | | | 645 | 2528 | -171 | | | | |
| 3704 | G | 25 | V | a | MAF | | | Estella | Estella | | | | | | 683 | 2551 | -172 | | | | |
| 3705 | G | 24 | V | a | MAF | | | Estella | Estella | | | | | | 690 | 2493 | -170 | | | | |
| 3706 | F | 22 | reminat | | CAR | FEL | Felis sp. | Ext Ant | Húmer | | Ep dist | | | | | | | | | | |
| 3707 | G/F | 21 | I | c | CAR | CAR | | Tronc-2 | V- | V-Atlas | Frag | | | | | | | | | | |
| 3708 | F | 22 | reminat | | CAR | FEL | Felis sp. | Mà/Peu | F- | F-2 | | | | | | | | | | | |
| 3709 | I | 24 | III | a | COP | COP | | | | | | | | | 870 | 2474 | -127 | | | | |
| 3710 | I | 24 | III | a | MES | LEP | Lepòrid | Crani | Crani | Crani | | | | | 868 | 2475 | -127 | | | | |
| 3711 | G | 25 | V | a | MAF | | | Estella | Estella | | | | | | 627 | 2510 | -171 | | | | |
| 3712 | G | 25 | V | a | MAF | | | Determinable | | Os det | | | | | 634 | 2508 | -172 | | | | |
| 3713 | G | 25 | V | a | HER | HER | | Tronc-2 | V- | V-Lumbar | Sencer | | | | 651 | 2506 | -171 | | | | |
| 3714 | G | 24 | V | a | MAF | | | Estella | Estella | | | | | | 690 | 2494 | -170 | | | | |
| 3715 | G | 25 | V | a | MAF | | | Estella | Estella | | | | | | 687 | 2504 | -172 | | | | |
| 3716 | G | 25 | V | a | MAF | | | Estella | Estella | | | | | | 692 | 2507 | -169 | | | | |
| 3717 | H | 25 | V | a | MAF | | | Dentició | d- | | Frag | | | | 703 | 2523 | -169 | | | | |
| 3718 | G | 25 | V | a | HER | CEV | Cervus elaphus | Dentició | d- | | Frag | | | | 698 | 2527 | -170 | | | | |
| 3718 | H | 25 | V | a | MAF | | | Dentició | d- | | Frag | | | | 790 | 2535 | -172 | | | | |
| 3719 | G | 25 | V | a | MAF | | | Determinable | | Os Llarg | Frag diáfisi | | | | 602 | 2538 | -168 | | | | |
| 3720 | G | 25 | V | a | MAF | | | Estella | Estella | | | | | | 679 | 2530 | -172 | | | | |
| 3721 | G | 25 | V | a | MAF | | | Estella | Estella | | | | | | 681 | 2536 | -173 | | | | |
| 3722 | G | 25 | V | a | HER | CDA | Cèrvid | Dentició | d- | | Frag | | | | 689 | 2567 | -171 | | | | |
| 3723 | G | 25 | V | a | MAF | | | Dentició | d- | | Frag | | | | 686 | 2573 | -170 | | | | |
| 3724 | G | 25 | V | a | MAF | | | Estella | Estella | | | | | | 689 | 2576 | -169 | | | | |
| 3725 | G | 25 | V | a | MAF | | | Estella | Estella | | | | | | 684 | 2578 | -169 | | | | |
| 3726 | G | 25 | V | a | MAF | | | Estella | Estella | | | | | | 688 | 2584 | -169 | | | | |
| 3727 | G | 25 | V | a | MAF | | | Dentició | d- | | Frag | | | | 664 | 2567 | -171 | | | | |
| 3728 | G | 25 | V | a | MAF | | | Estella | Estella | | | | | | 646 | 2564 | -171 | | | | |

| NUM | Q1 | Q2 | NIV1 | NIV2 | COD1 | COD2 | ESP | UAS | part1 | part 2 | Estat | CO | EP | MAR | X | Y | Z | OR | PEN | ORP | ALT |
|------|----|----|-------|----------------|------|------|-----------------------|--------------|----------|--------|-------|----|----|-----|-----|------|------|----|-----|-----|-----|
| 3729 | G | 25 | V | a | MAF | | | Mà/Peu | Mt/Mc | | | | | | 646 | 2568 | -170 | | | | |
| 3730 | G | 25 | V | a | HER | CDA | Cèrvid | Estella | Estella | | | | | | 647 | 2584 | -168 | | | | |
| 3731 | G | 25 | V | a | HER | CEV | <i>Cervus elaphus</i> | Dentició | d- | | | | | | 653 | 2586 | -171 | | | | |
| 3732 | G | 25 | V | a | MAF | | | Dentició | d- | | | | | | 689 | 2595 | -171 | | | | |
| 3733 | G | 25 | V | a | MAF | | | Estella | Estella | | | | | | 638 | 2525 | -172 | | | | |
| 3734 | G | 25 | V | a | MAF | | | Dentició | d- | | | | | | 659 | 2533 | -176 | | | | |
| 3735 | G | 25 | V | a | MAF | | | Estella | Estella | | | | | | 660 | 2536 | -175 | | | | |
| 3736 | G | 25 | V | a | MAF | | | Estella | Estella | | | | | | 659 | 2542 | -175 | | | | |
| 3737 | G | 25 | V | a | MAF | | | Estella | Estella | | | | | | 633 | 2545 | -174 | | | | |
| 3738 | G | 25 | V | a | MAF | | | Estella | Estella | | | | | | 650 | 2558 | -177 | | | | |
| 3739 | G | 25 | V | a | MAF | | | Dentició | d- | | | | | | 646 | 2575 | -174 | | | | |
| 3740 | G | 25 | V | a | MAF | | | Estella | Estella | | | | | | 646 | 2583 | -173 | | | | |
| 3741 | G | 25 | V | a | MAF | | | Estella | Estella | | | | | | 638 | 2593 | -172 | | | | |
| 3742 | G | 25 | V | f ₄ | AVI | AVI | | Determinable | | | | | | | 673 | 2509 | -172 | | | | |
| 3743 | G | 25 | V | f ₄ | HER | | | Tronc-2 | Costella | | | | | | 674 | 2517 | -172 | | | | |
| 3744 | G | 25 | V | a | MAF | | | Determinable | | | | | | | 689 | 2545 | -174 | | | | |
| 3745 | G | 25 | V | a | HER | CDA | Cèrvid | Dentició | d- | | | | | | 687 | 2548 | -175 | | | | |
| 3746 | G | 25 | V | a | MAF | | | Tronc-2 | Costella | | | | | | 693 | 2550 | -175 | | | | |
| 3747 | G | 25 | V | a | MAF | | | Estella | Estella | | | | | | 695 | 2563 | -174 | | | | |
| 3748 | G | 25 | V | a | MAF | | | Estella | Estella | | | | | | 673 | 2576 | -172 | | | | |
| 3749 | G | 25 | V | a | MAF | | | Estella | Estella | | | | | | 675 | 2581 | -173 | | | | |
| 3750 | G | 25 | V | a | MAF | | | Tronc-2 | Costella | | | | | | 691 | 2582 | -171 | | | | |
| 3751 | G | 25 | V | a | MAF | | | Tronc-2 | V- | | | | | | 654 | 2576 | -175 | | | | |
| 3752 | G | 25 | V | f ₄ | MAF | | | Estella | Estella | | | | | | 674 | 2516 | -172 | | | | |
| 3753 | G | 25 | V | a | MMM | | Fitòlits | | | | | | | | 690 | 2580 | -172 | | | | |
| 3754 | G | 25 | V | a | MMM | | Pòl-len | | | | | | | | 690 | 2580 | -172 | | | | |
| 3755 | G | 25 | V | a | MMM | | Sediment | | | | | | | | 690 | 2580 | -172 | | | | |
| 3780 | I | 25 | IV | a | COP | COP | | | | | | | | | 813 | 2509 | -151 | | | | |
| 3781 | I | 24 | IV | a | MCV | | | | | | | | | | 820 | 2445 | -143 | | | | |
| 3782 | I | 25 | CON | 4 | CRM | CRM | Crm- | | | | | | | | 820 | 2565 | -120 | | | | |
| 3783 | I | 25 | CON | 4 | MLF | | | | | | | | | | 820 | 2567 | -120 | | | | |
| 3784 | I | 25 | CON | 4 | HUM | HSS | <i>Homo sapiens</i> | Mà/Peu | Mt/Mc | | | | | | 832 | 2550 | -141 | | | | |
| 3785 | I | 25 | CON | 4 | CAR | CAR | | Tronc-2 | V- | | | | | | 832 | 2554 | -141 | | | | |
| 3786 | G | 25 | V | f ₄ | MMM | | Sediment | | | | | | | | 650 | 2510 | -174 | | | | |
| 3787 | G | 25 | V | f ₄ | MMM | | Fitòlits | | | | | | | | 650 | 2510 | -174 | | | | |
| 3788 | G | 25 | V | f ₄ | MMM | | Pòl-len | | | | | | | | 650 | 2510 | -174 | | | | |
| 3789 | G | 25 | V | f ₄ | MAF | | | Estella | Estella | | | | | | 643 | 2515 | -172 | | | | |
| 3790 | G | 25 | V | f ₄ | MAF | | | Estella | Estella | | | | | | 642 | 2517 | -171 | | | | |
| 3791 | G | 25 | V | f ₄ | MAF | | | Determinable | | | | | | | 647 | 2519 | -173 | | | | |
| 3792 | G | 25 | V | f ₄ | MAF | | | Estella | Estella | | | | | | 654 | 2509 | -174 | | | | |
| 3793 | G | 25 | V | f ₄ | MMM | | Sediment taronja | | | | | | | | 657 | 2511 | -177 | | | | |
| 3794 | G | 25 | V | g | MAF | | | Estella | Estella | | | | | | 683 | 2503 | -179 | | | | |
| 3795 | G | 25 | XVIII | | COP | COP | | | | | | | | | 681 | 2500 | -181 | | | | |
| 3796 | G | 24 | V | f ₄ | MMM | | Sediment taronja | | | | | | | | 682 | 2494 | -177 | | | | |
| 3797 | G | 25 | V | f ₄ | MAF | | | Estella | Estella | | | | | | 646 | 2528 | -177 | | | | |
| 3798 | G | 25 | V | f ₄ | HER | EQU | | Dentició | d- | | | | | | 658 | 2576 | -175 | | | | |
| 3799 | G | 25 | V | f ₄ | HER | EQU | | Dentició | d- | | | | | | 665 | 2568 | -174 | | | | |
| 3800 | H | 25 | V | f ₄ | HER | CDA | Cèrvid | Dentició | d- | | | | | | 703 | 2557 | -175 | | | | |
| 3801 | I | 24 | IV | a | MAF | | | Estella | Estella | | | | | | 815 | 2440 | -144 | | | | |
| 3802 | I | 24 | IV | a | COP | COP | | | | | | | | | 826 | 2442 | -147 | | | | |
| 3803 | I | 24 | IV | a | COP | COP | | | | | | | | | 836 | 2447 | -149 | | | | |

| NUM | Q1 | Q2 | NIV1 | NIV2 | COD1 | COD2 | ESP | UAS | part1 | part 2 | Estat | CO | EP | MAR | X | Y | Z | OR | PEN | ORP | ALT |
|------|----|----|----------|----------------|------|------|--------------------|--------------|-------------|-----------|--------------|----|----|-----|-----|------|------|----|-----|-----|-----|
| 3804 | I | 24 | IV | a | COP | COP | | | | | | | | | 818 | 2426 | -145 | | | | |
| 3805 | I | 24 | IV | a | COP | COP | | | | | | | | | 840 | 2435 | -149 | | | | |
| 3806 | I | 24 | IV | a | MES | LEP | Lepòrid | Crani | Crani | Crani | | | | | 844 | 2430 | -147 | | | | |
| 3807 | I | 24 | IV | a | COP | COP | | | | | | | | | 851 | 2431 | -147 | | | | |
| 3808 | I | 24 | IV | a | COP | COP | | | | | | | | | 854 | 2423 | -146 | | | | |
| 3809 | I | 24 | IV | a | COP | COP | | | | | | | | | 860 | 2436 | -149 | | | | |
| 3810 | I | 24 | IV | a | MES | LEP | Lepòrid | Crani | Mandibula | Mandibula | | | | | 855 | 2445 | -150 | | | | |
| 3811 | I | 24 | IV | a | COP | COP | | | | | | | | | 830 | 2407 | -144 | | | | |
| 3812 | I | 24 | IV | a | COP | COP | | | | | | | | | 841 | 2451 | -148 | | | | |
| 3813 | I | 24 | IV | a | HER | EQU | <i>Equus ferus</i> | Dentició | d- | d- | | | | | 849 | 2447 | -150 | | | | |
| 3814 | I | 24 | IV | a | COP | COP | | | | | | | | | 852 | 2444 | -151 | | | | |
| 3815 | I | 24 | IV | a | COP | COP | | | | | | | | | 859 | 2445 | -150 | | | | |
| 3816 | I | 24 | IV | a | MES | LEP | Lepòrid | Crani | Mandibula | Mandibula | | | | | 860 | 2493 | -151 | | | | |
| 3817 | I | 24 | IV | a | MES | LEP | Lepòrid | Crani | Mandibula | Mandibula | | | | | 857 | 2450 | -150 | | | | |
| 3818 | I | 24 | IV | a | COP | COP | | | | | | | | | 846 | 2428 | -150 | | | | |
| 3819 | I | 24 | IV | a | COP | COP | | | | | | | | | 851 | 2455 | -153 | | | | |
| 3820 | I | 24 | IV | a | COP | COP | | | | | | | | | 863 | 2443 | -155 | | | | |
| 3821 | I | 24 | IV | a | MES | LEP | Lepòrid | Crani | Mandibula | Mandibula | | | | | 864 | 2439 | -154 | | | | |
| 3822 | I | 24 | IV | a | COP | COP | | | | | | | | | 856 | 2430 | -152 | | | | |
| 3823 | I | 24 | IV | a | MES | LEP | Lepòrid | Crani | Mandibula | Mandibula | | | | | 853 | 2417 | -149 | | | | |
| 3824 | I | 24 | IV | a | CON | | | | Conillera 5 | | | | | | 824 | 2426 | -164 | | | | |
| 3825 | G | 25 | V | f | COP | COP | | | | | | | | | 654 | 2502 | -178 | | | | |
| 3826 | G | 25 | V | f | MAF | | | Dentició | d- | d- | Frag | | | | 658 | 2502 | -177 | | | | |
| 3827 | G | 25 | V | f | MAF | | | Estella | Estella | | | | | | 650 | 2518 | -178 | | | | |
| 3828 | G | 25 | V | f | HER | CDA | Cèrvid | Dentició | d- | d- | Frag | | | | 631 | 2507 | -176 | | | | |
| 3829 | G | 25 | V | f ₄ | MAF | | | Estella | Estella | | | | | | 639 | 2523 | -174 | | | | |
| 3830 | G | 25 | V | f ₄ | MAF | | | Estella | Estella | | | | | | 643 | 2525 | -175 | | | | |
| 3831 | G | 25 | V | f | MAF | | | Estella | Estella | | | | | | 664 | 2527 | -178 | | | | |
| 3832 | G | 25 | V | f ₄ | MMM | | Pissarra | | | | | | | | 657 | 2554 | -178 | | | | |
| 3833 | G | 25 | V | f | MAF | | | Dentició | d- | d- | Frag | | | | 643 | 2552 | -179 | | | | |
| 3834 | G | 25 | V | f | MAF | | | Dentició | d- | d- | Frag | | | | 647 | 2567 | -181 | | | | |
| 3835 | G | 25 | retall 4 | | MAF | | | Estella | Estella | | | | | | 636 | 2580 | -180 | 60 | 40 | 240 | |
| 3836 | G | 25 | CON | 3 | MMM | | | | | | | | | | 685 | 2590 | -175 | | | | |
| 3837 | G | 25 | CON | 3 | MAF | | | Estella | Estella | | | | | | 683 | 2596 | -188 | | | | |
| 3838 | G | 25 | V | f | COP | COP | | | | | Frag | | | | 656 | 2503 | -178 | | | | |
| 3839 | I | 24 | IV | a | COP | COP | | | | | | | | | 841 | 2467 | -149 | | | | |
| 3840 | I | 24 | IV | a | ULT | ULT | Quars | | | | | | | | 855 | 2434 | -155 | | | | |
| 3841 | I | 24 | V | a ₂ | MAF | | | Estella | Estella | | | | | | 806 | 2468 | -158 | | | | |
| 3842 | I | 24 | CON | 5 | MAF | | | Estella | Estella | | | | | | 858 | 2445 | -165 | | | | |
| 3843 | I | 24 | CON | 5 | MAF | | | Estella | Estella | | | | | | 861 | 2403 | -148 | | | | |
| 3844 | G | 24 | V | f | MAF | | | Estella | Estella | | | | | | 643 | 2495 | -181 | | | | |
| 3845 | G | 25 | V | f | MAF | | | | | | | | | | 655 | 2509 | -176 | | | | |
| 3846 | G | 25 | V | f | MAF | | | Determinable | | Os Llarg | Frag diàfisi | | | | 667 | 2515 | -180 | | | | |
| 3847 | G | 25 | V | f ₄ | MMM | | | | | | | | | | 662 | 2543 | -179 | | | | |
| 3848 | G | 25 | V | f ₄ | MAF | | | Mà/Peu | Mt/Mc? | Mt/Mc? | | | | | 661 | 2548 | -180 | | | | |
| 3849 | G | 25 | V | f ₄ | MAF | | | Dentició | d- | d- | Frag | | | | 659 | 2558 | -181 | | | | |
| 3850 | G | 25 | V | f ₄ | MAF | | | Dentició | d- | d- | Frag | | | | 686 | 2550 | -182 | | | | |
| 3851 | H | 25 | V | f ₄ | MAF | | | Estella | Estella | | | | | | 708 | 2551 | -177 | | | | |
| 3852 | H | 25 | V | f ₄ | MAF | | | Estella | Estella | | | | | | 709 | 2578 | -179 | | | | |
| 3853 | I | 24 | V | a ₂ | MAF | | | Estella | Estella | | | | | | 832 | 2433 | -159 | | | | |
| 3854 | I | 24 | V | a ₂ | MAF | | | Estella | Estella | | | | | | 837 | 2450 | -155 | | | | |

| NUM | Q1 | Q2 | NIV1 | NIV2 | COD1 | COD2 | ESP | UAS | part1 | part 2 | Estat | CO | EP | MAR | X | Y | Z | OR | PEN | ORP | ALT |
|------|----|----|-----------|----------------|------|------|---------------------|--------------|-----------|---------|---------|----|----|-----|-----|------|------|-----|-----|-----|-----|
| 3855 | I | 24 | V | a ₂ | MAF | | | Estella | Estella | | | | | | 832 | 2452 | -155 | | | | |
| 3856 | I | 24 | V | a ₂ | MAF | | | Estella | Estella | | | | | | 818 | 2467 | -161 | | | | |
| 3857 | I | 24 | XXIX | A | MAF | | | Tronc-2 | V- | | | | | | 815 | 2480 | -162 | | | | |
| 3858 | I | 24 | CON | 6 | MLF | | | | | Petxina | Frag | | | | 814 | 2486 | -159 | | | | |
| 3859 | I | 24 | V | a ₂ | MAF | | | Estella | Estella | | | | | | 810 | 2474 | -167 | | | | |
| 3860 | G | 24 | V | a ₂ | MAF | | | Estella | Estella | | | | | | 695 | 2475 | -168 | | | | |
| 3861 | I | 25 | IV/XXIX | a | MAF | | | Estella | Estella | | | | | | 822 | 2505 | -153 | | | | |
| 3862 | H | 24 | CON | | CON | | | | Conillera | | | | | | 776 | 2481 | -185 | | | | |
| 3863 | I | 24 | V | a ₂ | MMM | | | | | | | | | | 822 | 2472 | -162 | | | | |
| 3864 | G | 25 | V | f | COP | COP | | | | | | | | | 698 | 2500 | -182 | | | | |
| 3865 | G | 25 | V | f | COP | COP | | | | | | | | | 691 | 2500 | -182 | | | | |
| 3866 | G | 25 | V | f | COP | COP | | | | | | | | | 676 | 2507 | -181 | | | | |
| 3867 | G | 25 | V | f | COP | COP | | | | | Frag | | | | 688 | 2507 | -181 | | | | |
| 3868 | G | 25 | V | f | COP | COP | | | | | | | | | 696 | 2513 | -182 | | | | |
| 3869 | G | 25 | CON | | MAF | | | Tronc-2 | V- | | | | | | 700 | 2529 | -182 | | | | |
| 3870 | H | 25 | CON | | MAF | | | Tronc-2 | V- | | Frag | | | | 705 | 2535 | -190 | | | | |
| 3871 | G | 25 | CON | | CRM | CRM | Crm- | | | | | | | | 698 | 2538 | -185 | | | | |
| 3872 | G | 25 | CON | | MAF | | | Determinable | | Os det | | | | | 700 | 2538 | -183 | | | | |
| 3873 | G | 25 | V | f ₄ | COP | COP | | | | | | | | | 698 | 2555 | -180 | | | | |
| 3874 | G | 25 | V | f ₄ | MAF | | | Determinable | | Os det | | | | | 699 | 2582 | -181 | | | | |
| 3875 | G | 25 | CON | 3 | MAF | | | Mà/Peu | F- | F- 1 | | | | | 689 | 2584 | -186 | | | | |
| 3876 | G | 25 | CON | 3 | CRM | CRM | Crm- | | | | Informe | | | | 667 | 2568 | -184 | | | | |
| 3877 | I | 24 | Iva/CON 4 | | MAF | | | Estella | Estella | | | | | | 824 | 2495 | -155 | | | | |
| 3878 | I | 24 | V | a ₂ | COP | COP | | | | | | | | | 820 | 2496 | -161 | | | | |
| 3879 | I | 25 | Va2/CON 4 | | MAF | | | Estella | Estella | | | | | | 820 | 2510 | -156 | | | | |
| 3880 | I | 25 | CON | 4 | COP | COP | | | | | | | | | 816 | 2516 | -150 | | | | |
| 3881 | I | 24 | V | a ₂ | COP | COP | | | | | | | | | 847 | 2457 | -160 | | | | |
| 3882 | I | 24 | CON | 5 | MAF | | | | | | | | | | 887 | 2444 | -176 | | | | |
| 3883 | I | 24 | CON | 5 | HUM | HSS | <i>Homo sapiens</i> | Ext Post | Fèmur | Fèmur | Trm prx | | | | 889 | 2443 | -176 | | | | |
| 3884 | I | 24 | CON | 5 | CAR | CAR | | Mà/Peu | F- | F- | | | | | 888 | 2444 | -176 | | | | |
| 3885 | G | 25 | CON | 3 | MAF | | | Determinable | | Os det | | | | | 655 | 2540 | -177 | | | | |
| 3886 | G | 25 | CON | 3 | MAF | | | Mà/Peu | F- | F-2 | | | | | 664 | 2544 | -177 | | | | |
| 3887 | I | 25 | V | a ₂ | MAF | | | Estella | Estella | | | | | | 830 | 2507 | -166 | | | | |
| 3888 | I | 25 | V | a ₂ | MAF | | | Estella | Estella | | | | | | 834 | 2525 | -164 | | | | |
| 3889 | I | 24 | | | COP | COP | | | | | | | | | 877 | 2436 | -159 | | | | |
| 3890 | G | 25 | V | f | MMM | | Sediment | | | | | | | | 690 | 2510 | -184 | | | | |
| 3891 | G | 25 | V | f | MMM | | Fitòlits | | | | | | | | 690 | 2510 | -184 | | | | |
| 3892 | G | 25 | V | f | MMM | | Pòl-len | | | | | | | | 690 | 2510 | -184 | | | | |
| 3893 | I | 24 | V | f ₅ | MAF | | | Estella | Estella | | | | | | 803 | 2480 | -170 | | | | |
| 3894 | I | 24 | V | f ₅ | MAF | | | Estella | Estella | | | | | | 818 | 2471 | -168 | | | | |
| 3895 | I | 24 | | | MAF | | | Dentició | d- | d- | | | | | 882 | 2434 | -168 | | | | |
| 3896 | I | 24 | V | f ₅ | MAF | | | Estella | Estella | | | | | | 836 | 2462 | -165 | | | | |
| 3897 | I | 24 | V | a reguerot | MAF | | | Estella | Estella | | | | | | 840 | 2487 | -162 | | | | |
| 3898 | I | 24 | CON | 5 | MET | | | | Ferro? | | | | | | 859 | 2459 | -173 | | | | |
| 3899 | I | 24 | CON | 5 | HER | CDA | Cèrvid | Dentició | d- | d-M | | | | | 880 | 2430 | -170 | | | | |
| 3900 | I | 24 | CON | 5 | MAF | | | Estella | Estella | | | | | | 880 | 2430 | -170 | 150 | | | |
| 3901 | G | 25 | V | f | MAF | | | Estella | Estella | | | | | | 671 | 2502 | -185 | | | | |
| 3902 | G | 25 | V | f | MAF | | | Estella | Estella | | | | | | 684 | 2505 | -184 | | | | |
| 3903 | G | 25 | V | f | MAF | | | Estella | Estella | | | | | | 698 | 2510 | -183 | | | | |
| 3904 | G | 25 | V | f | COP | COP | | | | | | | | | 692 | 2518 | -181 | | | | |
| 3905 | G | 25 | V | f | COP | COP | | | | | | | | | 680 | 2524 | -183 | | | | |

| NUM | Q1 | Q2 | NIV1 | NIV2 | COD1 | COD2 | ESP | UAS | part1 | part 2 | Estat | CO | EP | MAR | X | Y | Z | OR | PEN | ORP | ALT |
|------|----|----|------|----------------|------|------|----------------------|--------------|-----------|--------|-------|----------|--------|-----|-----|------|------|----|-----|-----|-----|
| 3906 | G | 25 | V | f | MAF | | | Dentició | d- | | | | | | 676 | 2526 | -181 | | | | |
| 3907 | G | 25 | V | f | MAF | | | Estella | Estella | | | | | | 668 | 2518 | -180 | | | | |
| 3908 | G | 25 | XXIX | c | MMM | | | | | | | | | | | | | | | | |
| 3909 | G | 24 | XXIX | c | COP | COP | | | | | | | | | 635 | 2485 | -183 | | | | |
| 3910 | G | 24 | XXIX | c | COP | COP | | | | | | | | | 650 | 2493 | -183 | | | | |
| 3911 | F | 21 | III | b | MES | LEP | Lepòrid | Crani | Mandibula | | | | | | 584 | 2110 | -93 | | | | |
| 3912 | F | 21 | III | b | MES | LEP | Lepòrid | Crani | Mandibula | | | | | | 586 | 2117 | -93 | | | | |
| 3913 | F | 21 | III | b | CAR | CAR | | Determinable | | | | | | | 587 | 2136 | -97 | | | | |
| 3914 | F | 21 | III | b | CAR | LYX | <i>Lynx pardinus</i> | Peu | Astràgal | | | | | | 586 | 2120 | -97 | | | | |
| 3915 | H | 26 | XXIX | b | MMM | | | | | | | | | | 795 | 2685 | -171 | | | | |
| 3916 | H | 25 | V | f | MAF | | | Estella | Estella | | | | | | 710 | 2542 | -181 | | | | |
| 3917 | H | 25 | V | f | MAF | | | Estella | Estella | | | | | | 716 | 2583 | -187 | | | | |
| 3918 | H | 25 | V | f | MAF | | | Estella | Estella | | | | | | 725 | 2580 | -186 | | | | |
| 3919 | H | 25 | V | f | MAF | | | Estella | Estella | | | | | | 730 | 2583 | -186 | | | | |
| 3920 | H | 25 | V | f | COP | COP | | | | | | | | | 776 | 2529 | -185 | | | | |
| 3921 | H | 25 | V | f | MAF | | | Estella | Estella | | | | | | 737 | 2577 | -186 | | | | |
| 3922 | H | 25 | V | f | MAF | | | Estella | Estella | | | | | | 758 | 2583 | -182 | | | | |
| 3923 | H | 25 | V | f | COP | COP | | | | | | | | | 776 | 2578 | -177 | | | | |
| 3924 | H | 25 | V | f | MAF | | | Estella | Estella | | | | | | 775 | 2562 | -181 | | | | |
| 3925 | G | 25 | V | f | COP | COP | | | | | | | | | 699 | 2506 | -193 | | | | |
| 3926 | G | 25 | V | f | COP | COP | | | | | | | | | 695 | 2514 | -190 | | | | |
| 3927 | G | 25 | V | f | COP | COP | | | | | | | | | 687 | 2515 | -193 | | | | |
| 3928 | G | 25 | V | f | COP | COP | | | | | | | | | 674 | 2517 | -193 | | | | |
| 3929 | G | 25 | V | f | COP | COP | | | | | | | | | 654 | 2507 | -193 | | | | |
| 3930 | G | 24 | V | f | COP | COP | | | | | | | | | 639 | 2492 | -188 | | | | |
| 3931 | G | 24 | V | f | MAF | | | Estella | Estella | | | | | | 639 | 2492 | -188 | | | | |
| 3932 | G | 25 | V | f | MAF | | | Estella | Estella | | | | | | 682 | 2525 | -191 | | | | |
| 3933 | G | 25 | V | f | MAF | | | Estella | Estella | | | | | | 671 | 2540 | -187 | | | | |
| 3934 | G | 25 | V | f | MAF | | | Estella | Estella | | | | | | 660 | 2565 | -187 | | | | |
| 3935 | I | 24 | V | f ₅ | MMM | | Pissarra | | | | | | | | 878 | 2466 | -206 | | | | |
| 3936 | I | 24 | V | f ₅ | HUM | HSS | <i>Homo sapiens</i> | | | | | | | | 877 | 2468 | -206 | | | | |
| 3937 | I | 24 | V | f ₅ | MAF | | | | | | | | | | 877 | 2469 | -206 | | | | |
| 3938 | I | 24 | V | f ₅ | CAR | CAR | | Ext Post | Fèmur | | Fèmur | | Ep prx | | 880 | 2483 | -199 | | | | |
| 3939 | I | 24 | V | f ₅ | MAF | | | Ext Ant | Radi? | | | | | | 885 | 2440 | -199 | | | | |
| 3940 | I | 24 | V | f ₅ | MAF | | | Tronc-2 | Costella | | | Costella | | | 870 | 2482 | -199 | | | | |
| 3941 | I | 24 | V | f ₅ | QUE | TES | <i>Testudo sp.</i> | | | | | | | | 874 | 2484 | -199 | | | | |
| 3942 | I | 24 | V | f ₅ | COP | COP | | | | | | | | | 870 | 2487 | -199 | | | | |
| 3943 | I | 24 | V | f ₅ | MAF | | | Estella | Estella | | | | | | 882 | 2485 | -199 | | | | |
| 3944 | I | 24 | V | f ₅ | MAF | | | Estella | Estella | | | | | | 880 | 2483 | -199 | | | | |
| 3945 | I | 24 | V | f ₅ | MAF | | | Estella | Estella | | | | | | 875 | 2483 | -199 | | | | |
| 3946 | I | 24 | V | f ₅ | MAF | | | Estella | Estella | | | | | | 876 | 2485 | -199 | | | | |
| 3947 | I | 24 | V | f ₅ | MAF | | | Estella | Estella | | | | | | 880 | 2470 | -199 | | | | |
| 3948 | I | 24 | V | f ₅ | MAF | | | Estella | Estella | | | | | | 884 | 2485 | -199 | | | | |
| 3949 | I | 24 | V | f ₅ | HER | EQU | | Dentició | d - | | d - | | | | 899 | 2460 | -199 | | | | |
| 3950 | H | 25 | V | f | MAF | | | Estella | Estella | | | | | | 736 | 2585 | -185 | | | | |
| 3951 | H | 25 | V | f | COP | COP | | | | | | | | | 742 | 2572 | -185 | | | | |
| 3952 | H | 25 | V | f | COP | COP | | | | | | | | | 752 | 2578 | -184 | | | | |
| 3953 | H | 25 | V | f | COP | COP | | | | | | | | | 763 | 2583 | -183 | | | | |
| 3954 | H | 25 | V | f | COP | COP | | | | | | | | | 768 | 2580 | -180 | | | | |
| 3955 | H | 25 | V | f | COP | COP | | | | | | | | | 778 | 2577 | -179 | | | | |
| 3956 | G | 25 | V | f | MAF | | | Estella | Estella | | | | | | 694 | 2506 | -194 | | | | |

| NUM | Q1 | Q2 | NIV1 | NIV2 | COD1 | COD2 | ESP | UAS | part1 | part 2 | Estat | CO | EP | MAR | X | Y | Z | OR | PEN | ORP | ALT |
|------|----|----|------|------|------|------|--------------------|----------|----------|----------|---------|----|----|-----|-----|------|------|----|-----|-----|-----|
| 3957 | G | 25 | V | f | MAF | | | Estella | Estella | | | | | | 682 | 2508 | -193 | | | | |
| 3958 | G | 25 | V | f | MAF | | | Dentició | d- | d- | Frag | | | | 663 | 2553 | -189 | | | | |
| 3959 | G | 25 | V | f | MAF | | | Dentició | d- | d- | Frag | | | | 650 | 2553 | -185 | | | | |
| 3960 | I | 25 | CON | 6 | MAF | | | Tronc-2 | Costella | Costella | | | | | 837 | 2504 | -186 | | | | |
| 3961 | H | 25 | V | f | MAF | | | Estella | Estella | | | | | | 712 | 2560 | -190 | | | | |
| 3962 | H | 25 | V | f | COP | COP | | | | | | | | | 717 | 2566 | -191 | | | | |
| 3963 | H | 25 | V | f | MCV | | | | | | | | | | 731 | 2576 | -187 | | | | |
| 3964 | H | 25 | V | f | HER | EQU | | Dentició | d- | d-Dp | | | | | 736 | 2578 | -186 | | | | |
| 3965 | H | 25 | V | f | COP | COP | | | | | | | | | 738 | 2573 | -187 | | | | |
| 3966 | H | 25 | V | f | MCV | | | | | | | | | | 742 | 2576 | -189 | | | | |
| 3967 | H | 25 | V | f | COP | COP | | | | | | | | | 753 | 2580 | -187 | | | | |
| 3968 | H | 25 | V | f | MAF | | | Estella | Estella | | | | | | 761 | 2583 | -182 | | | | |
| 3969 | H | 25 | V | f | MAF | | | Estella | Estella | | | | | | 766 | 2578 | -182 | | | | |
| 3970 | H | 25 | V | f | MAF | | | Estella | Estella | | | | | | 776 | 2590 | -175 | | | | |
| 3971 | H | 25 | V | f | COP | COP | | | | | | | | | 744 | 2562 | -188 | | | | |
| 3972 | G | 25 | V | f | MCV | | | | | | | | | | 689 | 2510 | -190 | | | | |
| 3973 | G | 25 | V | f | MCV | | | | | | | | | | 668 | 2531 | -188 | | | | |
| 3974 | G | 25 | V | f | MAF | | | Ext Post | Fèmur | | Ep dist | | | | 648 | 2532 | -186 | | | | |
| 3975 | H | 25 | V | f | MCV | | | | | | | | | | 713 | 2578 | -194 | | | | |
| 3976 | H | 25 | V | f | HER | EQU | | Dentició | d- | d-Dp | | | | | 734 | 2580 | -192 | | | | |
| 3977 | H | 25 | V | f | COP | COP | | | | | | | | | 738 | 2583 | -191 | | | | |
| 3978 | H | 25 | V | f | MCV | | | | | | | | | | 741 | 2580 | -192 | | | | |
| 3979 | H | 25 | V | f | COP | COP | | | | | | | | | 743 | 2577 | -192 | | | | |
| 3980 | H | 25 | V | f | MCV | | | | | | | | | | 727 | 2579 | -194 | | | | |
| 3981 | H | 25 | CON | 3 | CAR | CRO | <i>Crocota sp.</i> | Dentició | d- | d-C | | | | | 713 | 2520 | -201 | | | | |
| 3982 | H | 25 | V | g | MAF | | | Estella | Estella | | | | | | 752 | 2553 | -190 | | | | |
| 3983 | H | 25 | V | g | MAF | | | Estella | Estella | | | | | | 748 | 2556 | -192 | | | | |
| 3984 | H | 25 | V | g | MAF | | | Estella | Estella | | | | | | 747 | 2570 | -190 | | | | |
| 3985 | H | 25 | V | f | HER | EQU | | Dentició | d- | d-Dp | | | | | 737 | 2583 | -190 | | | | |
| 3986 | G | 25 | V | f | MMM | | Pissarra | | | | | | | | 656 | 2550 | -189 | | | | |
| 3987 | G | 25 | V | f | COP | COP | | | | | | | | | 639 | 2546 | -185 | | | | |
| 3988 | G | 25 | V | f | MAF | | | Estella | Estella | | | | | | 641 | 2539 | -185 | | | | |
| 3989 | G | 25 | V | f | MCV | | | | | | | | | | 675 | 2537 | -192 | | | | |
| 3990 | H | 25 | V | f | COP | COP | | | | | | | | | 705 | 2544 | -191 | | | | |
| 3991 | H | 25 | V | f | MCV | | | | | | | | | | 728 | 2584 | -200 | | | | |
| 3992 | H | 25 | V | f | AVI | AVI | | | | | | | | | 744 | 2567 | -199 | | | | |
| 3993 | H | 25 | V | f | COP | COP | | | | | | | | | 752 | 2567 | -195 | | | | |
| 3994 | H | 25 | V | f | MCV | | | | | | | | | | 754 | 2564 | -196 | | | | |
| 3995 | H | 25 | V | f | COP | COP | | | | | | | | | 752 | 2582 | -193 | | | | |
| 3996 | G | 25 | CON | 3 | CAR | CAR | | Mà/Peu | F- | F-3 | | | | | 680 | 2543 | -195 | | | | |
| 3997 | G | 25 | V | f | MAF | | | Estella | Estella | | | | | | 655 | 2555 | -194 | | | | |
| 3998 | G | 25 | V | f | MAF | | | Dentició | d- | d- | Frag | | | | 651 | 2550 | -194 | | | | |
| 3999 | G | 25 | V | f | MAF | | | Estella | Estella | | | | | | 648 | 2556 | -193 | | | | |
| 4000 | G | 25 | V | f | MAF | | | Estella | Estella | | | | | | 647 | 2550 | -192 | | | | |
| 4001 | G | 25 | V | f | MMM | | Argila | | | | | | | | 645 | 2551 | -193 | | | | |
| 4002 | G | 25 | V | f | MAF | | | Estella | Estella | | | | | | 654 | 2530 | -197 | | | | |
| 4003 | G | 25 | XXIX | c | COP | COP | | | | | | | | | 675 | 2507 | -177 | | | | |
| 4004 | G | 25 | XXIX | c | COP | COP | | | | | | | | | 655 | 2490 | -181 | | | | |
| 4005 | G | 25 | XXIX | c | COP | COP | | | | | | | | | 660 | 2501 | -183 | | | | |
| 4006 | G | 25 | XXIX | c | COP | COP | | | | | | | | | 647 | 2520 | -183 | | | | |
| 4007 | H | 25 | V | f | COP | COP | | | | | | | | | 710 | 2556 | -199 | | | | |
| 4008 | H | 25 | V | f | COP | COP | | | | | | | | | 734 | 2578 | -200 | | | | |
| 4009 | H | 25 | V | f | COP | COP | | | | | | | | | 743 | 2572 | -199 | | | | |

| NUM | Q1 | Q2 | NIV1 | NIV2 | COD1 | COD2 | ESP | UAS | part1 | part 2 | Estat | CO | EP | MAR | X | Y | Z | OR | PEN | ORP | ALT |
|------|----|----|------|----------------|------|------|-----------------|--------------|-----------|-----------|-------|----|----|-----|-----|------|------|-----|-----|-----|-----|
| 4010 | H | 25 | V | f | COP | COP | | | | | | | | | 748 | 2578 | -196 | | | | |
| 4011 | H | 25 | V | f | COP | COP | | | | | | | | | 752 | 2572 | -197 | | | | |
| 4012 | H | 25 | V | f | MAF | | | Estella | Estella | | | | | | 752 | 2586 | -196 | | | | |
| 4013 | H | 25 | V | f | MAF | | | Estella | Estella | | | | | | 761 | 2568 | -197 | | | | |
| 4014 | H | 25 | V | f | COP | COP | | | | | | | | | 706 | 2543 | -191 | | | | |
| 4015 | H | 25 | V | f | MAF | | | Estella | Estella | | | | | | 757 | 2581 | -197 | | | | |
| 4016 | H | 25 | V | f | COP | COP | | | | | | | | | 757 | 2574 | -197 | | | | |
| 4017 | G | 25 | V | f | MAF | | | Estella | Estella | | | | | | 640 | 2557 | -189 | | | | |
| 4018 | G | 25 | V | f | COP | COP | | | | | | | | | 630 | 2560 | -186 | | | | |
| 4019 | G | 24 | V | f | MAF | | | Estella | Estella | | | | | | 632 | 2493 | -188 | | | | |
| 4020 | G | 24 | V | f | MAF | | | Dentició | d- | d- | Frag | | | | 637 | 2487 | -192 | | | | |
| 4021 | G | 24 | XXIX | c | COP | COP | | | | | | | | | 640 | 2498 | -182 | | | | |
| 4022 | G | 24 | XXIX | c | MAF | | | Estella | Estella | | | | | | 658 | 2413 | -193 | | | | |
| 4023 | H | 25 | V | f | COP | COP | | | | | | | | | 700 | 2546 | -195 | | | | |
| 4024 | G | 25 | V | f | COP | COP | | | | | | | | | 628 | 2540 | -182 | | | | |
| 4025 | G | 25 | V | f | MMM | | | | | | | | | | 630 | 2550 | -183 | | | | |
| 4026 | H | 25 | V | g | QUE | TES | Testudo sp. | | | | | | | | 723 | 2535 | -203 | | | | |
| 4027 | H | 25 | V | g | AVI | AVI | | | | | | | | | 705 | 2556 | -195 | | | | |
| 4028 | G | 25 | V | f | MAF | | | Estella | Estella | | | | | | 693 | 2560 | -191 | | | | |
| 4029 | G | 25 | V | g | HER | EQU | | Dentició | d- | d-Dp | | | | | 698 | 2538 | -201 | | | | |
| 4030 | G | 25 | XXIX | c | COP | COP | | | | | | | | | 645 | 2530 | -189 | | | | |
| 4031 | G | 25 | V | f | COP | COP | | | | | | | | | 633 | 2534 | -186 | | | | |
| 4032 | G | 25 | V | f | HER | BOS | Bos primigenius | Dentició | d- | d- | Frag | | | | 637 | 2520 | -193 | | | | |
| 4033 | G | 24 | CON | 3 | COP | COP | | | | | | | | | 695 | 2492 | -204 | | | | |
| 4034 | I | 24 | V | a ₂ | ULT | ULT | Silex | | Ascla | | | | | | 865 | 2433 | -160 | | | | |
| 4035 | G | 25 | V | f | PCL | | | | | | | | | | 627 | 2492 | -190 | 160 | | | |
| 4036 | G | 25 | V | f | COP | COP | | | | | | | | | 631 | 2536 | -187 | | | | |
| 4037 | G | 25 | V | f | COP | COP | | | | | | | | | 628 | 2534 | -188 | | | | |
| 4038 | G | 25 | V | f | MAF | | | Estella | Estella | | | | | | 629 | 2548 | -194 | | | | |
| 4039 | G | 24 | V | f | HER | EQU | | Dentició | d- | d-Dp sup | | | | | 623 | 2493 | -178 | | | | |
| 4040 | G | 25 | V | f | MAF | | | Determinable | | Os Llarg | | | | | 622 | 2500 | -182 | | | | |
| 4041 | G | 24 | V | f | COP | COP | | | | | | | | | 628 | 2496 | -181 | | | | |
| 4042 | H | 25 | V | g | QUE | TES | Testudo sp. | | | | | | | | 726 | 2530 | -204 | | | | |
| 4043 | H | 25 | V | g | COP | COP | | | | | | | | | 727 | 2538 | -205 | | | | |
| 4044 | H | 25 | V | g | MAF | | | Estella | Estella | | | | | | 722 | 2553 | -204 | | | | |
| 4045 | I | 24 | V | a ₂ | MES | LEP | Lepòrid | Crani | Mandibula | Mandibula | | | | | 860 | 2422 | -165 | | | | |
| 4046 | G | 25 | V | f | MAF | | | Determinable | | Os Llarg | | | | | 631 | 2560 | -192 | | | | |
| 4047 | G | 25 | V | f | MAF | MTM | | Estella | Estella | | | | | | 629 | 2559 | -190 | | | | |
| 4048 | G | 25 | V | f | COP | COP | | | | | | | | | 623 | 2502 | -188 | | | | |
| 4049 | H | 25 | CON | 3 | MAF | | | Mà/Peu | Art- | | | | | | 707 | 2517 | -201 | | | | |
| 4050 | H | 25 | V | g | HER | ART | | Crani | Mandibula | Mandibula | Frag | | | | 760 | 2590 | -194 | | | | |
| 4051 | H | 25 | V | g | COP | COP | | | | | | | | | 726 | 2580 | -197 | | | | |
| 4052 | H | 25 | V | g | MAF | MTM | | Estella | Estella | | | | | | 705 | 2582 | -187 | | | | |
| 4053 | G | 24 | II | | MMM | | Fitòlits | | | | | | | | 600 | 2460 | -100 | | | | |
| 4054 | G | 24 | II | | MMM | | Fitòlits | | | | | | | | 600 | 2460 | -116 | | | | |
| 4055 | G | 24 | II | | MMM | | Fitòlits | | | | | | | | 600 | 2460 | -133 | | | | |
| 4056 | G | 24 | III | a | MMM | | Fitòlits | | | | | | | | 600 | 2460 | -146 | | | | |
| 4057 | H | 25 | XXIV | | MMM | | Fitòlits | | | | | | | | 710 | 2600 | -158 | | | | |
| 4058 | H | 25 | IV | a | MMM | | Fitòlits | | | | | | | | 705 | 2600 | -166 | | | | |
| 4059 | H | 25 | V | a | MMM | | Fitòlits | | | | | | | | 735 | 2600 | -171 | | | | |
| 4060 | H | 25 | V | f | MMM | | Fitòlits | | | | | | | | 730 | 2600 | -179 | | | | |
| 4061 | H | 25 | V | g | MMM | | Fitòlits | | | | | | | | 730 | 2600 | -190 | | | | |
| 4062 | G | 24 | V | a | PCL | | Calcària | | | | | | | | 609 | 2495 | -172 | | | | |

| NUM | Q1 | Q2 | NIV1 | NIV2 | COD1 | COD2 | ESP | UAS | part1 | part 2 | Estat | CO | EP | MAR | X | Y | Z | OR | PEN | ORP | ALT |
|------|----|----|------|------|------|------|-----|-----|-------|--------|-------|----|----|-----|-----|------|------|----|-----|-----|-----|
| 4063 | G | 24 | V | f | COP | COP | | | | | | | | | 600 | 2490 | -178 | | | | |